



2 c  
15

# UNIVERSIDAD NACIONAL AUTONOMA DE MEXICO

---

---

FACULTAD DE INGENIERIA

PROCESAMIENTO EN PARALELO EN LA  
DECODIFICACION DE CODIGOS DE  
REED - SOLOMON

T E S I S

QUE PARA OBTENER EL TITULO DE  
**INGENIERO EN COMPUTACION**  
P R E S E N T A N :  
**OSCAR GARCIA CARDENAS**  
**SAMUEL GUTIERREZ CARDENAS**



Director de Tesis:  
Dr. Francisco J. García Ugalde

MEXICO, D. F.

1989

TESIS CON  
FALLA DE ORIGEN



## **UNAM – Dirección General de Bibliotecas Tesis Digitales Restricciones de uso**

### **DERECHOS RESERVADOS © PROHIBIDA SU REPRODUCCIÓN TOTAL O PARCIAL**

Todo el material contenido en esta tesis está protegido por la Ley Federal del Derecho de Autor (LFDA) de los Estados Unidos Mexicanos (México).

El uso de imágenes, fragmentos de videos, y demás material que sea objeto de protección de los derechos de autor, será exclusivamente para fines educativos e informativos y deberá citar la fuente donde la obtuvo mencionando el autor o autores. Cualquier uso distinto como el lucro, reproducción, edición o modificación, será perseguido y sancionado por el respectivo titular de los Derechos de Autor.

**INDICE**

	Página
<b>Lista de Figuras . . . . .</b>	<b>VI</b>
<b>Lista de Tablas . . . . .</b>	<b>VII</b>
<b>Lista de Gráficas . . . . .</b>	<b>VIII</b>
<b>Lista de Diagramas . . . . .</b>	<b>X</b>
<b>Lista de Circuitos . . . . .</b>	<b>XII</b>
 <b>INTRODUCCION . . . . .</b>	 <b>1</b>
 <b>CAPITULO I. REVISION TEORICA DE LAS TECNICAS DE DETECCION Y</b>	
<b>CORRECCION DE ERRORES . . . . .</b>	<b>6</b>
<b>I.1 Códigos Polinomiales . . . . .</b>	<b>6</b>
<b>I.2 Códigos de Bloque . . . . .</b>	<b>7</b>
<b>I.3 Códigos de Bloque Lineales . . . . .</b>	<b>7</b>
<b>I.4 Códigos de Hamming . . . . .</b>	<b>8</b>
<b>I.5 Códigos B.C.H. . . . .</b>	<b>8</b>
<b>I.6 Códigos de Reed-Solomon (R.S.) . . . . .</b>	<b>9</b>
<b>I.7 Códigos Convolucionales . . . . .</b>	<b>10</b>
 <b>CAPITULO II. METODOS ALTERNATIVOS DE DECODIFICACION DE CODIGOS</b>	
<b>R.S. . . . .</b>	<b>12</b>
<b>Introducción a un Sistema Digital de Transmisión de</b>	
<b>Datos y a la Codificación de Códigos R.S. . . . .</b>	<b>12</b>
<b>II.1 Algoritmo Clásico de Decodificación para Códigos</b>	
<b>R.S. . . . .</b>	<b>16</b>

II.2 Algoritmo Modificado de Decodificación para Códigos R.S. . . . .	27	
II.3 Algoritmo de Decodificación para Códigos R.S. mediante el uso de una Transformada Rápida . . . . .	36	
III.3.1 Técnica rápida para el cálculo de las Magnitudes de Errores y de Borrados . . . . .	38	
 CAPITULO III. RESULTADOS DE LA SIMULACION DE LOS ALGORITMOS DE DECODIFICACION . . . . .		
Introducción . . . . .	45	
III.1 Tablas de los Algoritmos de Decodificación . . . . .	46	
III.2 Gráficas de los Algoritmos de Decodificación . . . . .	71	
III.3 Conclusiones de la Simulación . . . . .	108	
 CAPITULO IV. DISEÑO DE UN DECODIFICADOR PARA CODIGOS REED-SOLOMON CON ARQUITECTURA EN PARALELO . . . . .		
Introducción . . . . .	109	
IV.1 Diagrama de Bloques del Proceso de Decodificación. . . . .	109	
IV.2 Diagramas de Flujo de los Circuitos del Decodificador diseñado . . . . .	112	
IV.3 Circuitos del Decodificador diseñado . . . . .	132	
IV.4 Diagramas de Control de los Circuitos . . . . .	170	
 CONCLUSIONES . . . . .		183
BIBLIOGRAFIA . . . . .	184	
APENDICE     Algoritmos para el cálculo de las Transformadas de 3, 5 y 17 puntos sobre $GF(2^8)$ . . . . .	187	

## LISTA DE FIGURAS

	Página
I.1 Representación de un código cíclico . . . . .	6
I.2 Representación de una palabra de un código R.S. . . . .	10
II.0 Diagrama de bloques de un sistema digital típico de transmisión de datos . . . . .	13
II.1 Representación esquemática de la decodificación . . . . .	17
II.2 Diagrama de flujo del algoritmo clásico de decodificación de có- digos R.S. . . . .	22
II.3 Diagrama a bloques de la simulación del algoritmo clásico de de- codificación de códigos R.S. . . . .	23
II.4 Diagrama de flujo del algoritmo de Berlekamp-Massey . . . . .	31
II.5 Diagrama de flujo del algoritmo modificado de decodificación de códigos R.S. . . . .	32
II.6 Diagrama a bloques de la simulación del algoritmo modificado de decodificación de códigos R.S. . . . .	33
II.7 Diagrama de flujo del algoritmo de decodificación para códigos R.S. en el dominio de la frecuencia . . . . .	40
II.8 Diagrama a bloques de la simulación del algoritmo de decodifica- ción para códigos R.S. en el dominio de la frecuencia . . . . .	41

## LISTA DE TABLAS

	Página
- Número de ciclos de reloj (MC 68000) en la decodificación del algoritmo clásico . . . . .	48
- Número de ciclos de reloj (MC 68000) en la decodificación del algoritmo modificado . . . . .	54
- Número de ciclos de reloj (MC 68000) en la decodificación del algoritmo que opera en el dominio de la frecuencia . . . . .	60
- Tiempos en segundos en la decodificación del algoritmo que opera en el dominio de la frecuencia . . . . .	64
- Número de errores y de borrados para los cuales el algoritmo que opera en el dominio de la frecuencia resulta ser más rápido . . . . .	108

## LISTA DE GRAFICAS

Página

### *Gráficas del algoritmo clásico:*

- Polinomios: localizador de borrados, síndromes de Forney y localizador de errores . . . . .	72
- Cálculo de las raíces del polinomio localizador de errores . . . . .	75
- Cálculo del valor de las erratas . . . . .	77
- Decodificación total . . . . .	81

### *Gráficas del algoritmo modificado:*

- Cálculo del polinomio localizador de borrados y de errores . . . . .	84
- Cálculo de las raíces del polinomio localizador de borrados y de errores . . . . .	87
- Cálculo del valor de las erratas . . . . .	89
- Decodificación total . . . . .	93

### *Gráficas del algoritmo que opera en el dominio de la frecuencia:*

- Decodificación total . . . . .	96
----------------------------------	----

### *Gráficas del algoritmo que opera en el dominio de la frecuencia (tiempo en segundos):*

- Cálculo de los 32 primeros síndromes . . . . .	98
- Cálculo del polinomio localizador de borrados y de errores . . . . .	99
- Cálculo de los síndromes 33 al 255 . . . . .	101
- Cálculo de las transformadas de 3, 5 y 17 puntos . . . . .	103
- Cálculo del valor de las erratas . . . . .	104

- Corrección de la palabra recibida . . . . .	105
- Decodificación total . . . . .	106

## LISTA DE DIAGRAMAS

Página

- Diagrama de bloques del proceso de decodificación . . . . . 111

### *Diagramas de flujo de los circuitos:*

- Cálculo de los primeros 32 sindromes . . . . . 113  
- Cálculo del polinomio localizador de borrados . . . . . 115  
- Cálculo de la discrepancia . . . . . 116  
- Cálculo del polinomio  $T(x)$  . . . . . 117  
- Cálculo del polinomio localizador de borrados y de errores . . . . . 118  
- Cálculo de los sindromes 33 al 255 . . . . . 119  
- Transferencia del vector de sindromes a la matriz de tres dimensiones A . . . . . 120  
- Cálculo de la transformada de 3 puntos . . . . . 121  
- Cálculo de la transformada de 5 puntos . . . . . 122  
- Cálculo de la transformada de 17 puntos . . . . . 124  
- Cálculo de los vectores N1 al N5 que se utilizan en la transformada de 17 puntos . . . . . 127  
- Cálculo de los vectores N6 al N9 que se utilizan en la transformada de 17 puntos . . . . . 129  
- Transferencia de la matriz de tres dimensiones TNS17 al vector de erratas MU . . . . . 130  
- Corrección de la palabra recibida . . . . . 131

### *Diagramas de control de los circuitos:*

- Cálculo de los primeros 32 sindromes . . . . . 171

- Cálculo del polinomio localizador de borrados . . . . .	172
- Cálculo de la discrepancia . . . . .	173
- Cálculo del polinomio $T(x)$ . . . . .	174
- Cálculo del polinomio localizador de borrados y de errores . .	175
- Cálculo de los síndromes 33 al 255 . . . . .	176
- Transferencia del vector de síndromes a la matriz de tres dimensiones A . . . . .	177
- Cálculo de la transformada de 3 puntos . . . . .	178
- Cálculo de la transformada de 5 puntos . . . . .	179
- Cálculo de la transformada de 17 puntos . . . . .	180
- Transferencia de la matriz TNS17 al vector MU . . . . .	181
- Corrección de la palabra recibida . . . . .	182

## LISTA DE CIRCUITOS

	Página
- Memoria RAM de 1kx8 bits . . . . .	133
- Memoria RAM de 32x8 bits . . . . .	134
- Memoria RAM de 256x8 bits . . . . .	135
- Multiplicador en el CG( $2^8$ ) . . . . .	136
- Contadores de 8 bits . . . . .	137
- Comparador de 8 bits . . . . .	138
- Sumador de dos palabras de 8 bits . . . . .	139
- Matriz con la transformada de 3 puntos TNS3 . . . . .	140
- Matriz con la transformada de 5 puntos TNSS . . . . .	141
- Representación de las matrices TNS3 y TNSS en forma de bloque o "chip" . . . . .	142
- Matriz constante que se utiliza en la transformada de 17 puntos . . . . .	143
- Constantes del 1 al 17 que se utilizan en la transformada de 17 puntos . . . . .	144
- Representación en forma de bloque o "chip" del circuito de la matriz constante y de las constantes que se requieren en la transformada de 17 puntos . . . . .	145
- Bloque o "chip" de 8 compuertas XOR . . . . .	146
- Vector de 4 renglones por 1 columna . . . . .	147
- Obtención de los vectores N1 al N5 que se utilizan en la transformada de 17 puntos . . . . .	148
- Obtención de los vectores N6 al N9 de la transformada de 17 puntos . . . . .	149

- "Chips" o bloques que representan a los circuitos que calculan los vectores N1 al N9 . . . . .	150
- Matriz con la transformada de 17 puntos TNS17 . . . . .	151
- Decodificador 5 a 17 usado en la lectura de TNS17 . . . . .	152
- Cálculo de los primeros 32 síndromes . . . . .	153
- Cálculo del polinomio localizador de borrados . . . . .	155
- Cálculo de la discrepancia . . . . .	156
- Cálculo del polinomio $T(x)$ . . . . .	157
- Cálculo del polinomio localizador de borrados y de errores . . . . .	158
- Cálculo de los síndromes 33 al 255 . . . . .	159
- Paso de los síndromes a la matriz A . . . . .	160
- Cálculo de la transformada de 3 puntos . . . . .	161
- Cálculo de la transformada de 5 puntos . . . . .	162
- Cálculo de la transformada de 17 puntos . . . . .	163
- Paso de la matriz TNS17 (la cual contiene el resultado de la transformada de 17 puntos) al vector de erratas MU . . . . .	168
- Corrección de la palabra recibida . . . . .	169

## INTRODUCCION

En la transmisión de datos digitales por un canal con ruido, hay una probabilidad de que los datos recibidos contengan errores. El usuario generalmente establece una tasa de errores arriba de la cual esos datos no se pueden utilizar. Si los datos recibidos no cumplen con la tasa de errores requerida, frecuentemente se puede utilizar una codificación para la corrección de errores, con el propósito de reducir los errores a un nivel tolerable. En los últimos años el uso de la codificación para la corrección de errores, en sistemas de comunicaciones digitales, se ha utilizado ampliamente para resolver este tipo de problema.

La utilidad de la corrección fue demostrada por el trabajo de Shannon [1]. En 1948, estableció que si la tasa de transmisión no sobrepasa una cantidad llamada la capacidad del canal, es posible obtener una comunicación a través de un canal con ruido con una probabilidad de error tan pequeña como se desee, utilizando adecuadamente un esquema de codificación y de decodificación. Esencialmente el trabajo de Shannon establece que la potencia de la señal, el ruido del canal y el ancho de banda disponible establecen un límite solamente sobre la tasa de comunicación y no sobre la precisión.

La codificación para la corrección de errores es esencialmente una técnica de procesamiento de señales que se utiliza para mejorar el desempeño de la comunicación en canales digitales. Aunque los esquemas individuales de codificación cuentan con muchas formas diferentes todos ellos tienen dos ingredientes comunes: la redundancia y el ruido promediado. Los mensajes digitales codificados siempre contienen símbolos redundantes. Esos símbolos

se utilizan para acentuar el carácter único de cada mensaje, siempre se escogen de tal manera que sea muy improbable que la perturbación del canal modifique los símbolos de un mensaje en grado tal que, como resultado se destruya su carácter único. El efecto de tener un ruido promediado se obtiene haciendo que los símbolos redundantes dependan de una secuencia de varios símbolos de información.

Actualmente existen dos tipos de códigos de uso común: los códigos de bloque y los códigos convolucionales. El codificador de un código de bloque binario divide la secuencia de información en bloques del mensaje de  $k$  bits de información cada uno. Un bloque del mensaje está representado por la secuencia binaria de  $k$  símbolos de información  $i = (i_1, i_2, \dots, i_k)$ , llamada  $k$ -tuple. Existe un total de  $2^k$  mensajes posibles diferentes. El codificador transforma cada mensaje independiente  $i$ , en una  $n$ -tuple  $c = (c_1, c_2, \dots, c_n)$  de símbolos discretos, llamada una palabra del código, donde  $k < n$ . Por lo tanto, a cada uno de los  $2^k$  diferentes mensajes posibles, les corresponde una de las  $2^n$  diferentes palabras del código a la salida del codificador. A este conjunto de  $2^n$  palabras del código de longitud  $n$  se le llama un código de bloque  $(n, k)$ . A la proporción  $R = k/n$  se le llama tasa del código y se le puede interpretar como el número de bits de información que entran al codificador por cada símbolo transmitido. Dado que la palabra del código de  $n$  símbolos depende solamente del correspondiente mensaje de entrada de  $k$  bits, al codificador se le llama sin memoria. Considerando que  $k < n$ , se pueden agregar al mensaje  $n-k$  bits de redundancia para formar una palabra del código. Estos bits de redundancia proporcionan al código la capacidad de combatir el ruido del canal. La manera de escoger los bits de redundancia para alcanzar una transmisión confiable sobre un canal con ruido, es el principal problema en el diseño del codificador.

El codificador de un código convolucional también acepta bloques de  $k$  bits de la secuencia de información  $i$  y produce una secuencia codificada  $C$  de bloques de  $n$  símbolos cada uno, donde  $k < n$ . Sin embargo, cada bloque codificado depende no solamente del correspondiente bloque de  $k$  bits del mensaje en la misma unidad de tiempo, sino también de los  $m$  bloques previos del mensaje. Es decir que el codificador tiene una memoria de orden  $m$ . El conjunto de secuencias codificadas producido por un codificador de  $k$  bits de entrada,  $n$  símbolos de salida y memoria de orden  $m$ , es llamado código convolucional  $(n, k, m)$ . A la proporción  $R = k/n$ , se le llama tasa del código. Dado que el codificador contiene memoria, se debe realizar con un circuito lógico secuencial. Tipicamente en estos códigos,  $k$  y  $n$  son enteros pequeños y se puede mejorar el desempeño del código con respecto al ruido del canal aumentando el orden  $m$  de la memoria del código, mientras se mantienen fijos los valores de  $k$  y  $n$ . El principal problema en el diseño del codificador convolucional consiste en saber cómo utilizar la memoria para alcanzar una transmisión confiable sobre un canal con ruido.

Dentro de los códigos de bloque existen varias familias como son: los códigos de Hamming, los códigos BCH, los códigos de Reed-Solomon, etc. En particular los códigos de Reed-Solomon cuentan con una gran habilidad para corregir errores, debido a esta característica fueron seleccionados para este trabajo.

Uno de los objetivos principales del trabajo que se presenta está orientado a la simulación de tres algoritmos de decodificación de códigos de Reed-Solomon y su evaluación, con el fin de encontrar el algoritmo más rápido de los tres.

Los tres algoritmos a estudiar son: el Algoritmo Clásico, una modificación de este algoritmo, llamado Algoritmo Modificado y el tercero que es un

algoritmo que opera en el dominio de la frecuencia.

La simulación mencionada de estos algoritmos se llevó a cabo mediante programas realizados en lenguaje FORTRAN. Tal simulación permitió hacer la evaluación de los tres algoritmos en cuanto a su velocidad de decodificación para así poder seleccionar el más rápido de ellos y posteriormente realizar su diseño en hardware con elementos discretos y una arquitectura en paralelo.

A continuación se hace un pequeño resumen del contenido de cada capítulo de esta tesis:

En el primer capítulo se describen de manera muy breve varios tipos de códigos correctores de errores con sus principales características. En el capítulo dos se muestra en detalle cada uno de los tres algoritmos de decodificación a estudiar, se describen paso a paso las etapas de que consta cada uno de ellos y se incluye además un diagrama de flujo de cada algoritmo y un diagrama de flujo de su simulación en el cual se pueden observar cada una de sus etapas con sus respectivas variables de entrada y salida. En el capítulo tres se presentan tablas y gráficas correspondientes a los tres algoritmos las cuales permitieron hacer una comparación entre ellos para así seleccionar el más rápido. Y en el cuarto y último capítulo se encuentra el diseño del decodificador correspondiente al algoritmo seleccionado, con arquitectura en paralelo con el propósito de disminuir su tiempo de ejecución.

Este último puede ser considerado como la aportación más importante de este trabajo ya que el ahorro de tiempo en la decodificación de información es de gran importancia en sistemas digitales.

Existen trabajos ya realizados en cuanto al diseño de codificadores y decodificadores Reed-Solomon con tecnología VLSI y arquitectura pipeline [6,7,10,11]. Las ventajas de este tipo de tecnología consisten en la

reducción del tamaño, el peso y el consumo de potencia a la vez que proveen una alta velocidad de operación por encima de codificadores y decodificadores Reed-Solomon implementados con circuitos lógicos discretos.

## CAPITULO I. REVISION TEORICA DE LAS TECNICAS DE DETECCION Y CORRECCION DE ERRORES.

En este capítulo se describen brevemente las principales técnicas de detección y corrección de errores así como sus principales características.

### I.1 CODIGOS POLINOMIALES.

En principio, una cadena de  $n$  bits se puede representar como un polinomio de grado  $n-1$ . Mediante el uso de esta notación, un código  $(n,k)$  puede ser definido como el conjunto de todos los polinomios de grado  $n-1$  o menor, el cual contiene a  $g(x)$ , que es un polinomio de grado  $n-k$ , como un factor del código y es llamado polinomio generador del código.

Para ciertos valores de  $n$ , los códigos polinomiales son cíclicos ya que si rotamos cíclicamente una palabra del código obtenemos otra palabra del código [3,4]. Esto se muestra en la siguiente figura:

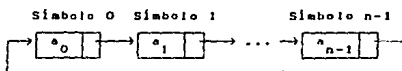


fig I.1 Códigos Cíclicos

Para este tipo de códigos se puede definir un polinomio de chequeo de paridad  $h(x)$ , que sirve para la detección y corrección de errores en algunos algoritmos de decodificación [4].

### I.2 CODIGOS DE BLOQUE.

El principio fundamental de los códigos de bloque es el agrupamiento de  $k$  bits de información dentro de bloques codificados de largo  $n$ . En el caso de los sistemas binarios, se añaden  $t$  bits de chequeo de paridad al bloque y se tienen  $n=k+t$  bits del código hacia el sistema digital [4].

### I.3 CODIGOS DE BLOQUE LINEALES.

Un código de bloque de longitud  $n$  y  $2^k$  palabras del código es llamado código de bloque lineal  $(n,k)$  si y sólo si sus  $2^k$  palabras del código forman un subespacio  $k$ -dimensional del espacio vectorial de todas las  $n$ -tuples sobre el campo  $\text{CG}(2)$  [4].

Un código de bloque binario es lineal si y sólo si la suma módulo-2 de dos palabras del código es también una palabra del código [4].

Para estos códigos cada palabra del código  $C$  es una combinación lineal de  $k$  vectores independientes, donde  $k$  es el número de bits de información. El código se denota por  $(n,k,t)$  donde  $n$  es el largo del bloque codificado y  $n-k$  es el número de bits de redundancia que se utilizan para la detección y corrección de errores. El parámetro  $t$  es el número de bits erróneos que se pueden corregir dentro del bloque de largo  $n$  y es frecuentemente omitido cuando su valor es 1 [4].

La distancia mínima de un código de bloque lineal es igual al peso mínimo de sus palabras diferentes de cero. El peso mínimo de un código  $C$  es el número más pequeño de componentes diferentes de cero de cualquier palabra

diferente de cero del código [3,4].

Dado un código de bloque lineal de distancia mínima d, es posible corregir t errores [3,4] donde:

$$2t+1 \leq d$$

#### I.4 CODIGOS DE HAMMING.

Una clase importante de códigos de bloque lineales son los llamados códigos de Hamming, fueron unos de los primeros grupos de códigos descritos sistemáticamente. El código de Hamming puede corregir sólo un error y su distancia mínima es  $d=3$  [4].

A partir de un código de Hamming  $(n,k)$  se puede obtener un código  $(n-i, k-i)$ , donde i es un entero, tal que  $0 \leq i < k$ , llamado código de Hamming acortado [4].

Ahora bien, para poder corregir los errores simples y al mismo tiempo detectar los errores dobles, se ideó un código llamado código de Hamming extendido cuya distancia mínima es  $d=4$  [3].

#### I.5 CODIGOS B.C.H.

Los códigos B.C.H. (llamados así por Bose, Chaudhuri y Hocquenghem) son códigos correctores de errores múltiples y de distancia mínima variable. Debe cumplirse la siguiente desigualdad para su distancia mínima:

$$d \geq 2t + 1$$

donde t es el número de errores que se pueden corregir en un bloque de largo

n. A medida que t aumenta, la redundancia aumenta.

Estos códigos se definen sobre un campo finito de Galois  $CG(2^m)$ . Son códigos cíclicos, tienen un polinomio generador  $g(x)$  de grado  $n-k$ , donde n es el largo del bloque codificado y k es el largo del bloque de información. La diferencia  $n-k$  es la redundancia [3,4].

#### I.6 CODIGOS DE REED - SOLOMON (R.S.)

Los códigos de Reed-Solomon fueron definidos por I.S. Reed y G. Solomon en 1960. Estos son una subclase especial de los códigos B.C.H. y tienen especial habilidad para la corrección de borrados y errores múltiples en una palabra del código.

Para un valor específico de t y m podemos construir un código de Reed-Solomon  $(2^m-1, 2^m-1-2t)$ , el cual es capaz de corregir t errores. Sus símbolos son elementos del campo  $CG(2^m)$  y su polinomio generador  $g(x)$  está dado por:

$$g(x) = (x+\alpha)(x+\alpha^2)\dots(x+\alpha^{2t})$$

donde  $\alpha$  es un elemento primitivo en  $CG(2^m)$  [2, 4, 16].

Todos los múltiplos de  $g(x)$  de grado  $(2^m-2)$  o menor son palabras del código. Cada palabra del código tiene  $n=2^m-1$  símbolos, de los cuales  $k=n-2t$  son símbolos de información y  $2t$  es el número de símbolos de redundancia (figura I.2). Un código Reed-Solomon  $(n, k)$  tiene una distancia mínima  $d=2t+1$  [3,4].

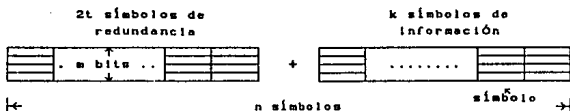


fig 1.2 Palabra del Código

Un código Reed-Solomon es capaz de corregir tanto errores como borrados siempre que se cumpla la siguiente desigualdad  $d \geq 2e+f+1$ , siendo e el número de símbolos con error y f el número de símbolos borrados en un bloque de largo n. Para el decodificador un símbolo borrado es un error cuya posición se conoce antes de empezar la decodificación y su magnitud puede ser o no ser cero. La diferencia entre un error y un borrado es que, un error es un símbolo que sufrió una alteración en el canal durante la transmisión y se detecta hasta que se inicia la decodificación, mientras que un borrado es un símbolo marcado por el demodulador como desconfiable por no tener un nivel de voltaje bien definido.

### I.7 CODIGOS CONVOLUCIONALES.

El segundo grupo más grande de códigos es el de los códigos llamados convolucionales o de árbol.

Estos esquemas son muy efectivos cuando el requerimiento mayor de un sistema está en el aprovechamiento óptimo de la energía (tal como en el caso de la potencia limitada en los canales de comunicaciones de un satélite).

La entrada y la salida de un codificador convolucional (cuando k=1) es una secuencia semi-infinita de símbolos [3,4].

Para este trabajo se seleccionó un código de bloque de tipo Reed-Solomon debido en parte a su habilidad para corregir errores y borrados y a que actualmente existen muchas aplicaciones [17-22] en donde la información viene ya en forma de bloques lo cual facilita su manipulación , aparte de que el ancho de banda que requieren estos códigos para transmitir la redundancia, es menor al que requiere un código convolucional.

## CAPITULO II. METODOS ALTERNATIVOS DE DECODIFICACION DE CODIGOS R.S.

En este capítulo se estudiarán tres diferentes algoritmos de decodificación para códigos de Reed-Solomon (R.S.). Dos de ellos son algoritmos que trabajan en el dominio del "tiempo", mientras que el tercero es un algoritmo que trabaja en el dominio de la "frecuencia" y emplea un método basado en una transformada rápida.

Antes de entrar a los algoritmos de decodificación se describirán en forma breve las partes de un sistema digital típico de transmisión de datos y también el proceso de codificación para un código de Reed-Solomon.

En años recientes, se ha incrementado la demanda por sistemas digitales eficientes y confiables de transmisión de datos. Esta demanda se ha acelerado debido a la necesidad de redes de datos a gran escala y de alta velocidad para el intercambio, procesamiento y almacenamiento de información digital. Recientes desarrollos han contribuido para lograr la confiabilidad que los sistemas digitales de alta velocidad requieren hoy en día y el uso de la codificación para el control de errores se ha convertido en parte integral en el diseño de sistemas modernos de comunicaciones y de computadoras digitales.

La transmisión y almacenamiento de información digital tienen mucho en común. Ambas transfieren datos de una fuente de información a un destino (o usuario). Un sistema típico de transmisión (o de almacenamiento) puede representarse como se muestra en la figura II.0. La fuente de información puede ser una persona o una máquina (computadora digital). La salida de la fuente, puede ser una onda continua o una secuencia de símbolos discretos. El codificador de la fuente transforma la salida de la fuente en una secuencia de dígitos binarios (bits) llamada secuencia de información i. En el caso de

una fuente continua, este involucra una conversión analógica a digital (A/D).

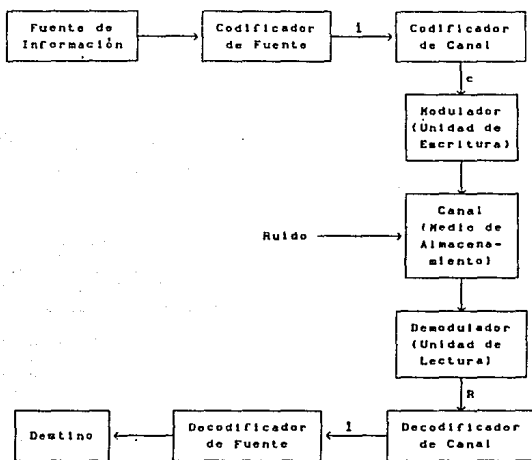


Fig. II.0 Diagrama de bloques de un sistema digital  
típico de transmisión de datos.

El codificador de canal transforma la secuencia de información  $i$  en una secuencia codificada discreta  $c$  llamada *palabra del código*. Los símbolos discretos no son los apropiados para la transmisión a través de un canal físico o grabación en un medio de almacenamiento digital, en consecuencia, el modulador (o unidad de escritura) transforma cada símbolo de salida del codificador de canal en una forma de onda de  $T$  segundos de duración, la cual si es adecuada para la transmisión (o grabación). Esta forma de onda entra al canal (o medio de almacenamiento) y frecuentemente es contaminada por el

ruido. El demodulador (o unidad de lectura) procesa cada forma de onda de duración T recibida y produce una salida que puede ser discreta (cuantizada) o continua (no cuantizada). La secuencia de salida del demodulador correspondiente a la secuencia codificada c es llamada secuencia recibida R.

El decodificador de canal transforma la secuencia recibida R en una secuencia binaria i llamada secuencia estimada. El decodificador de la fuente transforma la secuencia estimada i en una estimación de la salida de la fuente y la envía al destino. Cuando la fuente es continua, este involucra una conversión digital a analógica (D/A). En un sistema bien diseñado, la estimación será una réplica de la salida de la fuente excepto cuando el canal (o medio de almacenamiento) sea muy ruidoso.

Ahora bien, pasando a la descripción del proceso de codificación, en un codificador R.S., la información se agrupa en bloques de k símbolos. A cada uno de estos bloques se le agregan n-k símbolos de redundancia, obteniéndose una palabra del código de n símbolos donde n>k. Los n-k símbolos de redundancia se utilizan para la corrección de errores y se obtienen de los coeficientes del residuo de:

$$x^{n-k} i(x)/g(x)$$

donde  $i(x)$  es el polinomio de información, cuyos coeficientes son los k símbolos de información, esto es:

$$i(x) = \sum_{i=0}^{k-1} i_i x^i = i_0 + i_1 x + i_2 x^2 + \dots + i_{k-1} x^{k-1}$$

donde  $i_i \in CG(2^m)$ .  $g(x)$  es el polinomio generador del código definido por:

$$g(x) = \prod_{i=j}^{j+2t-1} (x-\alpha^i) = \sum_{i=0}^{2t} g_i x^i$$

donde j es un entero no negativo, frecuentemente su valor es 1;  $\alpha$  es un

elemento primitivo en el  $\text{CG}(2^m)$  y los coeficientes  $g_i$ 's  $\in \text{CG}(2^m)$  donde  $g_{2t} = 1$ . El polinomio generador  $g(x)$  definido no tiene coeficientes simétricos, es decir:

$$g_j \neq g_{2t-j} \quad \text{para } 0 \leq j \leq 2t$$

excepto cuando  $j = 2^{m-1} - t$ , en este caso:

$$g_j = g_{2t-j} \quad \text{para } 0 \leq j \leq 2t$$

y

$$g_0 = g_{2t} = 1$$

Nótese que en este caso, sólo  $t$  multiplicadores son necesarios en un codificador. Usando este polinomio generador se reducirá el número de multiplicadores requeridos para implementar el codificador R.S.

La palabra del código  $c(x)$  obtenida de la codificación, está formada por una primera parte que es igual a los símbolos de información:

$$c_i = i_{1-n+k} \quad \text{para } n-1 \geq i \geq n-k$$

y una segunda parte que es igual a los símbolos de redundancia:

$$c_i = r_i \quad \text{para } n-k-1 \geq i \geq 0$$

donde los coeficientes  $c_i$ 's de  $c(x)$  son los símbolos de la palabra del código y los  $r_i$ 's son los coeficientes del polinomio de redundancia  $r(x)$ . Entonces la palabra del código a transmitir está dada por:

$$c(x) = x^{n-k} l(x) + r(x) = \sum_{i=0}^{n-1} c_i x^i = c_0 + c_1 x + c_2 x^2 + \dots + c_{n-1} x^{n-1}$$

El siguiente paso, después de la transmisión de la palabra codificada  $c(x)$  por un canal con ruido, es su decodificación, lo cual se puede realizar mediante alguno de los métodos mencionados y que se describen a continuación.

## II.1 ALGORITMO CLASICO DE DECODIFICACION PARA CODIGOS R.S.

Después de la transmisión sobre un canal con ruido, la palabra recibida es:

$$R(x) = \sum_{i=0}^{n-1} R_i x^i = R_0 + R_1 x + \dots + R_{n-1} x^{n-1}; \text{ donde } R_i \in CG(2^n) \dots (1)$$

El patrón de error sumado por el canal es:

$$E(x) = R(x) - c(x) = \sum_{i=0}^{n-1} E_i x^i = E_0 + E_1 x + \dots + E_{n-1} x^{n-1} \dots (2)$$

donde

$$E_i = R_i - c_i; \quad E_i \in CG(2^n) \quad 0 \leq i \leq n-1 \dots (3)$$

y  $c(x)$  es la palabra del código transmitida.

La función del decodificador es encontrar la palabra del código que tenga la distancia más pequeña con respecto a la palabra recibida. Si el patrón de error es mayor a  $d$ , la decodificación falla y se pueden presentar cualquiera de las dos condiciones siguientes: se detecta una decodificación imposible, o bien el decodificador decodificará incorrectamente y resultará un error de pos-decodificación no detectable. Este último caso se presenta cuando el patrón de error está localizado dentro de una esfera de radio  $t$  (en un espacio de  $n$  dimensiones) que rodea a una palabra del código diferente de la palabra del código transmitida, el patrón de error se decodifica como la palabra del código del centro de la esfera. La figura II.1 ilustra estos casos.

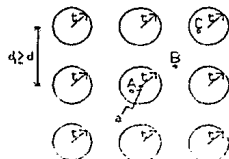


Fig. 11.1 Representación esquemática de la decodificación.

- a. Palabra de código transmitida.
- A. Palabra recibida que producirá una decodificación correcta.
- B. Palabra recibida que ocasionará la detección de una decodificación imposible.
- C. Palabra recibida que ocasionará una decodificación incorrecta, no detectable.

Para el decodificador, un borrado es un símbolo en una palabra recibida que ha sido etiquetado como "desconfiable" por el demodulador, es un error cuya ubicación se conoce antes que la decodificación comience y su magnitud puede ser o no ser cero. El algoritmo que se presenta a continuación permite corregir con éxito patrones de  $e$  errores y  $f$  borrados en una palabra de longitud  $n$ , tal que  $2e+f < d$ . De aquí en adelante, la relación entre la palabra del código transmitida  $c(x)$  y la palabra recibida  $R(x)$  estará dada por:

$$R(x) = c(x) + E(x) + F(x) \dots (4)$$

donde

$$E(x) = \sum_{i=0}^{n-1} E_i x^i \quad y \quad F(x) = \sum_{i=0}^{n-1} F_i x^i \dots (5)$$

$E(x)$  es el polinomio de errores y  $F(x)$  es el polinomio de borrados, donde  $E_i$

y  $F_i \in CG(2^m)$ .

El primer paso del procedimiento de decodificación es almacenar la palabra recibida  $R(x)$  y luego calcular los componentes  $S_i$  del síndrome, usando la ecuación:

$$S_i = R(\alpha^i) = \sum_{j=0}^{n-1} R_j \alpha^{ij} ; 1 \leq i \leq 2t \dots (6)$$

Mediante la ecuación (4),  $S_i$  se puede escribir como:

$$S_i = c(\alpha^i) + E(\alpha^i) + F(\alpha^i) \dots (7)$$

Dado que  $c(x)$  es un múltiplo de  $g(x)$ , cuyas raíces son  $\alpha^i$ , para  $1 \leq i \leq 2t$ , la ecuación (7) se puede expresar como:

$$S_i = E(\alpha^i) + F(\alpha^i) = \sum_{j=0}^{n-1} E_j \alpha^{ij} + \sum_{k=0}^{n-1} F_k \alpha^{ik} ; 1 \leq i \leq 2t \dots (8)$$

dado que  $c(\alpha^i) = 0$  para  $1 \leq i \leq 2t$ .

Sea,  $Y_j$  la magnitud del  $j$ -ésimo error y  $X_j = \alpha^j$  su posición. Y sea,  $Z_k$  la magnitud del  $k$ -ésimo borrado y  $W_k = \alpha^k$  su posición, donde  $X_j \neq W_k$ . Entonces:

$$E_i = \sum_{j=0}^{n-1} E_j \alpha^{ij} = \sum_{j=1}^t Y_j X_j^i ; 1 \leq i \leq 2t \dots (9)$$

y

$$F_i = \sum_{k=0}^{n-1} F_k \alpha^{ik} = \sum_{k=1}^t Z_k W_k^i ; 1 \leq i \leq 2t \dots (10)$$

De aquí, a partir de (8), (9) y (10),  $S_i$  se puede escribir como:

$$S_i = E_i + F_i = \sum_{j=1}^t Y_j X_j^i + \sum_{k=1}^t Z_k W_k^i ; 1 \leq i \leq 2t \dots (11)$$

El polinomio localizador de borrados  $\tau(x)$ , está definido como:

$$\tau(x) = \prod_{k=1}^t (1 - W_k x) = \sum_{i=0}^t \tau_i x^i = 1 + \sum_{i=1}^t \tau_i x^i \dots (12)$$

Los coeficientes  $\tau_i$ 's son funciones simétricas elementales de  $W_k$ . Dado que,

$$\tau(W_k^{-1}) = 0 = 1 + \sum_{i=1}^r \tau_i W_k^{-1} ; 1 \leq i \leq r \dots (13)$$

las raíces de  $\tau(x)$  son el inverso de las posiciones de los borrados. Una de las características principales de este algoritmo es el cálculo de los sindromes de Forney. El polinomio de Forney,  $T(x)$ , se calcula a partir del polinomio  $\tau(x)$  y del polinomio de sindromes

$$S(x) = \sum_{i=1}^{2t} S_i x^i \dots (14)$$

de la siguiente manera:

$$T(x) = (1+S(x))\tau(x)-1 \text{ módulo } x^{2t+1} = \sum_{i=1}^{2t} T_i x^i \dots (15)$$

Los coeficientes  $T_i$ 's son llamados sindromes de Forney. En consecuencia, el segundo y tercer paso del procedimiento de decodificación son respectivamente, el cálculo de  $\tau_i$  para  $1 \leq i \leq r$  y los sindromes de Forney.

El polinomio localizador de errores  $\sigma(x)$ , está definido como:

$$\sigma(x) = \prod_{j=1}^e (1-X_j x) = \sum_{i=0}^e \sigma_i x^i = 1 + \sum_{i=1}^e \sigma_i x^i \dots (16)$$

Similarmente, los  $\sigma_i$ 's son funciones simétricas elementales de  $X_j$ . Dado que,

$$\sigma(X_j^{-1}) = 0 = 1 + \sum_{i=1}^e \sigma_i X_j^{-1} ; 1 \leq i \leq e \dots (17)$$

las raíces de  $\sigma(x)$ , son el inverso de las posiciones de los errores. Mediante (11), (13), (15) y (17), se puede demostrar que los coeficientes  $\sigma_i$ 's satisfacen:

$$T_{1+f+e} + \sum_{i=1}^e T_{1+f+e-i} \sigma_i = 0 ; 1 \leq i \leq 2t-f-e \dots (18)$$

De aquí, el cuarto paso del procedimiento de decodificación es calcular  $\sigma_i$ .

para  $1 \leq e \leq e$ , a partir de los síndromes de Forney, ec. (18). Esto se puede realizar mediante el algoritmo iterativo de Berlekamp [15], o el algoritmo de síntesis de registro de corrimiento con realimentación lineal (LFSR) de Massey [3].

Además de obtener los  $\sigma_i$ 's, el quinto paso del procedimiento de decodificación consiste en calcular las raíces del polinomio localizador de errores mediante la búsqueda de Chien. Esta consiste simplemente en sustituir en el polinomio  $\sigma(x)$ , las  $n$  posibles posiciones de errores diferentes de cero. Es decir, para  $x = X_j^{-1} = \alpha^{-j}$  para  $0 \leq j \leq n-1$ . Si  $\sigma(\alpha^{-j}) = 0$ , entonces  $j$  representa la posición del error.

Conociendo las posiciones de los errores, el sexto paso es calcular las magnitudes de errores y de borrados, lo cual se hace calculando primero el polinomio evaluador de borrados y de errores,  $\Omega(x)$ .

$$\Omega(x) = (1+T(x))\sigma(x) \text{ módulo } x^{2t+1} \dots (19)$$

Enseguida, las magnitudes de errores y de borrados pueden ser calculadas a partir de la fórmula:

$$B_j = \frac{A_j^{(e+f-1)} \Omega(A_j^{-1})}{\prod_{i \neq j} (A_j - A_i)} ; \quad 1 \leq j \leq e+f \dots (20)$$

donde las  $A_j$ 's son las posiciones de borrados y de errores. Si  $A_j$  es igual a una posición de un error,  $A_j = X_j$ , entonces  $B_j$  es la correspondiente magnitud del error,  $B_j = Y_j$ . Por otro lado, si  $A_j$  es igual a una posición de un borrado,  $A_j = W_k$ , entonces  $B_j$  es la correspondiente magnitud del borrado,  $B_j = Z_k$ .

La palabra del código corregida se obtiene sustrayendo el polinomio de errores  $E(x)$  y el polinomio de borrados  $F(x)$  de la palabra recibida  $R(x)$ .

Se hace notar que si  $f=0$ , de (12),  $T(x)=1$ . Entonces a partir de (15),  $T_i = S_i$ . Y los  $\sigma_i$ 's pueden ser calculados por el algoritmo de Berlekamp o el de

Massey a partir de los componentes  $S_i$ 's del síndrome, en lugar de los síndromes de Forney  $T_i$ 's. En este caso los coeficientes  $\sigma_i$ 's satisfacen el sistema de ecuaciones siguiente:

$$S_{i+e} + \sum_{i=1}^e S_{i+e-i} \sigma_i = 0 \quad ; \quad 1 \leq i \leq 2t-e \dots (21)$$

Por otro lado si  $e=0$ , de (16),  $\sigma(x)=1$ . Entonces, la ecuación (19) se reduce a:

$$\Omega(x) = (1+T(x)) \text{ módulo } x^{2t}+1 \dots (22)$$

En las figuras II.2 y II.3 se presentan respectivamente, el diagrama de flujo del algoritmo clásico de la decodificación de códigos R.S. que se acaba de describir y el diagrama de bloques de la simulación correspondiente.

FIG. II.2 ALGORITMO CLASICO DE DECODIFICACION DE CODIGOS R.S.

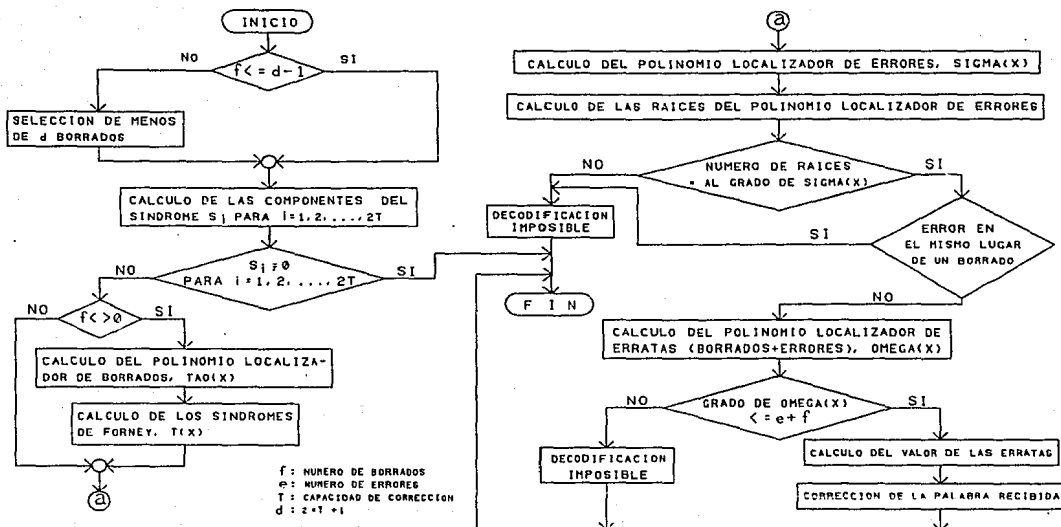
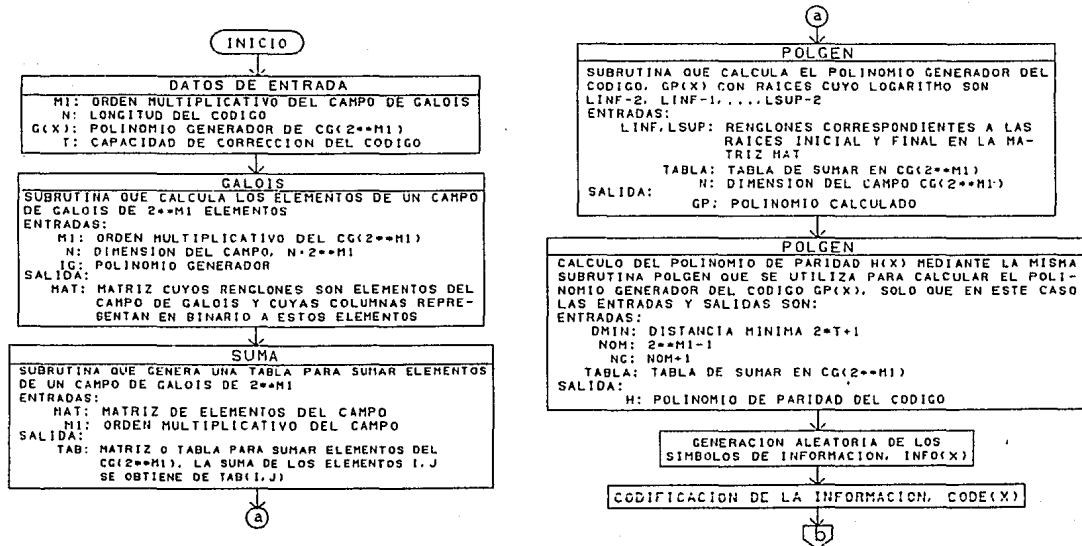
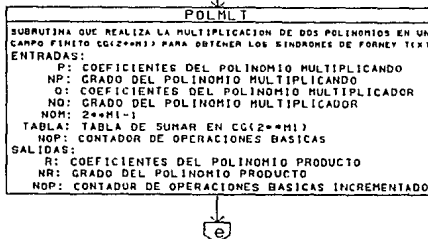
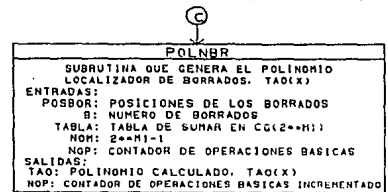
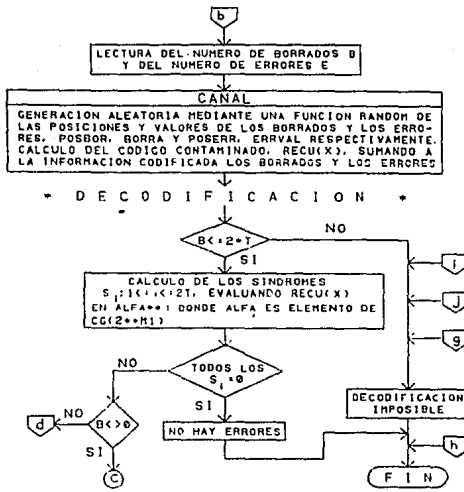
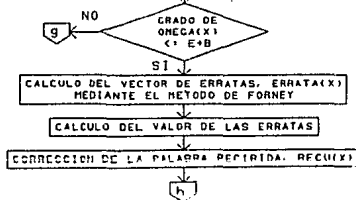
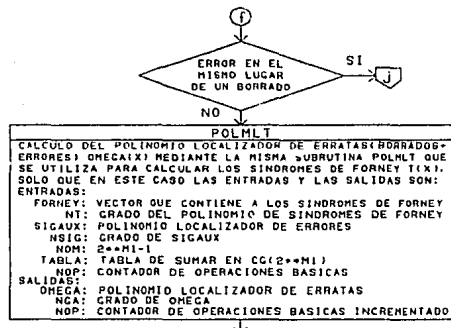
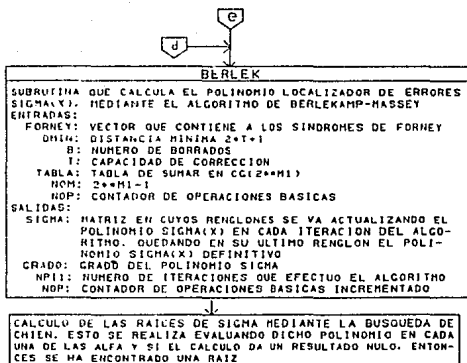


FIG. II.3 DIAGRAMA A BLOQUES DE LA SIMULACION DEL ALGORITMO CLASICO DE DECODIFICACION DE CODIGOS R.S.







## FUNCIONES UTILIZADAS EN LA SIMULACION

### MULT

FUNCION ENTERA QUE REALIZA LA MULTIPLICACION  
ENTRE DOS ELEMENTOS DE UN CAMPO DE GALOIS  
ENTRADAS:

I, J: ELEMENTOS A MULTIPLICAR  
N1:  $2^{**M1}-1$

SALIDA:

MULT: RESULTADO DE LA MULTIPLICACION

### IEXP

FUNCION ENTERA QUE EFECTUA LA OPERACION DE ELEVAR  
A UNA POTENCIA ENTERA J, UN ELEMENTO DEL CAMPO DE  
GALOIS CUYO LOGARITMO ES I-2  
ENTRADAS:

I: ELEMENTO A EXPONENCIAR  
J: POTENCIA DESEADA  
N1:  $2^{**M1}-1$

SALIDA:

IEXP: ELEMENTO EXPONENCIADO

II.2 ALGORITMO MODIFICADO DE DECODIFICACION  
PARA CODIGOS R.S.

La diferencia más importante de este algoritmo con respecto al anterior, consiste en la alimentación directa del polinomio localizador de borrados  $\tau(x)$  en el algoritmo de Berlekamp-Massey [3]. Esto nos permite obtener el polinomio combinado localizador de borrados y de errores  $P(x)$ , por medio del cual se evita el cálculo de los sindromes de Forney, necesarios en el caso anterior para poder obtener el polinomio localizador de errores  $\sigma(x)$ .

Este algoritmo empieza una vez que se tiene almacenada la palabra recibida  $R(x)$ , enseguida se procede a calcular los coeficientes  $S_i$  del polinomio de sindromes  $S(x)$  y también a calcular el polinomio localizador de borrados  $\tau(x)$ , por medio de las ecuaciones (6) y (12) (punto II.1) respectivamente. Luego se procede a calcular el polinomio localizador de borrados y de errores  $P(x)$ , el cual es inicializado con el polinomio localizador de borrados  $\tau(x)$ , esto es  $P(x)=\tau(x)$ . Posteriormente  $P(x)$  se obtiene por medio del algoritmo de Berlekamp-Massey [3], con las ecuaciones recursivas:

$$D_r = \sum_{j=0}^{n-1} P_j^{(r-1)} S_{r-j}$$

$$\tau^{(r)}(x) = (1 - \delta_r) x \tau^{(r-1)}(x) + \delta_r D_r^{-1} P^{(r-1)}(x) \dots (23)$$

$$P^{(r)}(x) = P^{(r-1)}(x) - D_r x \tau^{(r-1)}(x)$$

$D_r$  se conoce como la  $r$ -ésima discrepancia,  $P_j$  es el  $j$ -ésimo coeficiente de  $P(x)$  y  $S_{r-j}$  representa los coeficientes de  $S(x)$ . El valor de  $\delta_r$ , definido como  $\delta_r = 2L-r+f-1$ , depende del número de borrados  $f$ , del grado del polinomio  $P(x)$  y de la  $r$ -ésima iteración del algoritmo. El valor de  $L$  se incrementa en uno por cada borrado y posteriormente se incrementa de acuerdo al procedimiento del algoritmo. El índice  $r$  es un contador, que cuando excede a

2t, termina el algoritmo y en este punto se obtiene el polinomio localizador de borrados y de errores  $P(x)$ .

A continuación, se procede a calcular las raíces de  $P(x)$  por medio de la búsqueda de Chien, descrita en el punto II.1. Conocidas las posiciones de los borrados y de los errores, se calculan las magnitudes de los mismos. Para esto se obtiene primero el polinomio evaluador de borrados y de errores  $\Omega(x)$ .

$$\Omega(x) = (1+S(x))P(x) \text{ módulo } x^d \dots (24)$$

Enseguida, las magnitudes de los borrados y de los errores pueden ser calculadas con la fórmula:

$$B_j = \frac{A_j^{e+f-1} \Omega(A_j^{-1})}{P'(A_j)} ; 1 \leq j \leq e+f \dots (25)$$

Donde como en el caso anterior, las  $A_j$ 's son las posiciones de los borrados y de los errores. Si  $A_j$  corresponde a la posición de un error,  $B_j$  es la correspondiente magnitud. De la misma manera, si  $A_j$  corresponde a la posición de un borrado,  $B_j$  es su magnitud.

Otra diferencia entre este algoritmo "modificado" y el algoritmo "clásico", está en el cálculo de las magnitudes de los borrados y de los errores. A partir de las ecuaciones (20) y (25), se puede observar que el divisor de la ecuación (20) se sustituye por la derivada del polinomio  $P(x)$  evaluada en  $A_j$ , para formar la ecuación (25). La derivada del polinomio  $P(x)$  se calcula de la siguiente manera:

Haciendo

$$P(x) = \sum_{j=0}^{e+f} P_j x^j \quad y \quad P(x) = \sum_{j=0}^{e+f} P_{e+f-j} x^j$$

donde  $P(x)$  y  $P(x)$  son idénticos, excepto que este último tiene sus coeficientes con orden invertido con respecto a  $P(x)$ .

La derivada de  $P(x)$  se obtiene por:

$$P'(x) = \frac{d P(x)}{dx}$$

Sin embargo, los divisores de las ecuaciones (20) y (25) resultan ser equivalentes, esto se demuestra a continuación:

Para llegar a la igualdad de estos divisores es necesario redefinir el polinomio localizador de borrados  $\tau(x)$  y el polinomio localizador de errores  $\sigma(x)$  como:

$$\tau(x) = \prod_{i=1}^r (X_i + x) \quad y \quad \sigma(x) = \prod_{i=1}^e (X_i + x)$$

así el polinomio localizador de borrados y de errores  $P(x)$  quedará definido como:

$$P(x) = \tau(x)\sigma(x) = \prod_{i=1}^{e+f} (X_i + x)$$

ahora, si se desarrolla  $P(x)$  y se deriva, se observa que la derivada de  $P(x)$  se puede expresar como:

$$P'(x) = \sum_{j=1}^{e+f} \prod_{i \neq j} (X_i + x)$$

evaluando  $P'(x)$  en un punto  $X_k$ , tenemos:

$$P'(X_k) = \sum_{j=1}^{e+f} \prod_{i \neq j} (X_i + X_k) \quad \text{para } 1 \leq k \leq e+f$$

desarrollando y considerando las operaciones módulo dos, quedará:

$$P'(X_k) = \prod_{i \neq k} (X_i + X_k) \quad \text{para } 1 \leq k \leq e+f$$

que es equivalente al denominador de (20).

Por último, la palabra del código corregida se obtiene restando el polinomio de errores  $E(x)$  y el polinomio de borrados  $F(x)$  (ver punto II.1) de la palabra recibida  $R(x)$ .

En las figuras II.4, II.5 y II.6 siguientes se presentan respectivamente, el diagrama de flujo del algoritmo de Berlekamp-Massey, el diagrama de flujo

**del algoritmo modificado de decodificación de códigos R.S. y el diagrama de bloques de la simulación correspondiente.**

FIG. II.4 DIAGRAMA DE FLUJO DEL ALGORITMO DE BERLEKAMP-MASSEY

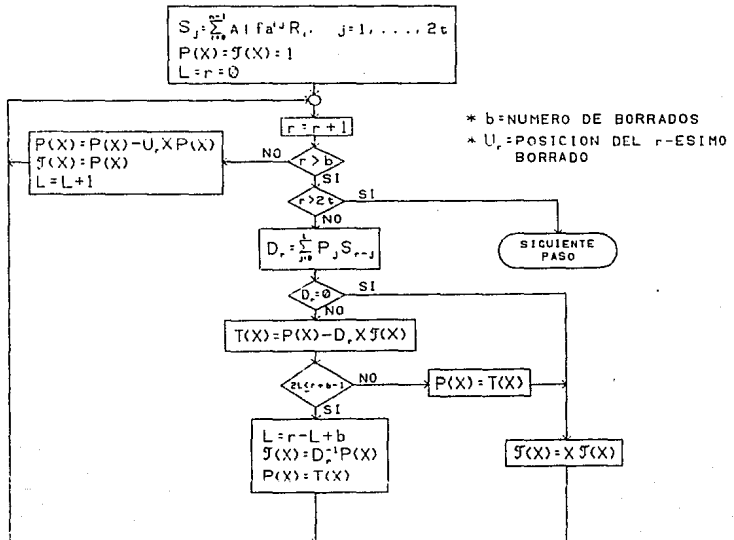


FIG. II.5 DIAGRAMA DE FLUJO DEL ALGORITMO MODIFICADO  
DE DECODIFICACION PARA CODIGOS R.S.

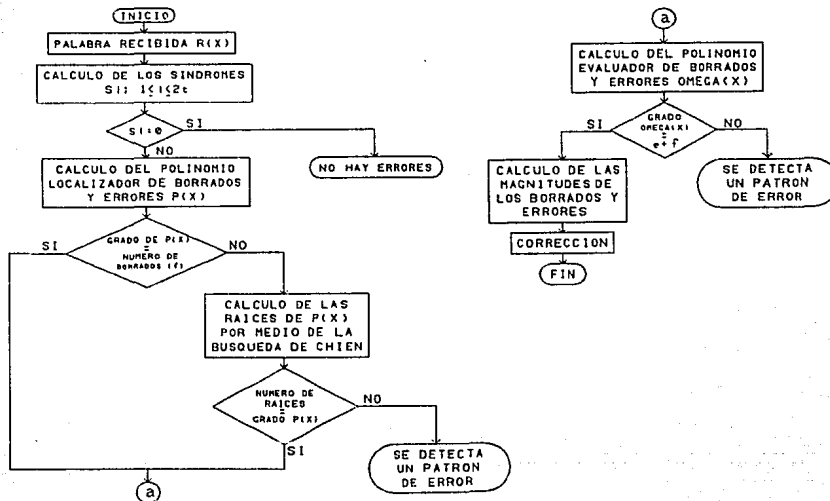
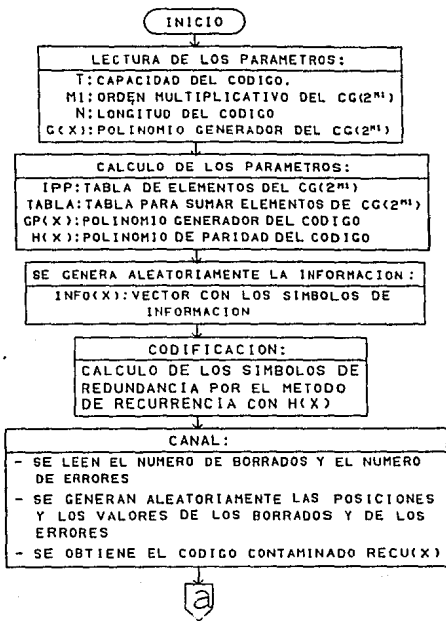
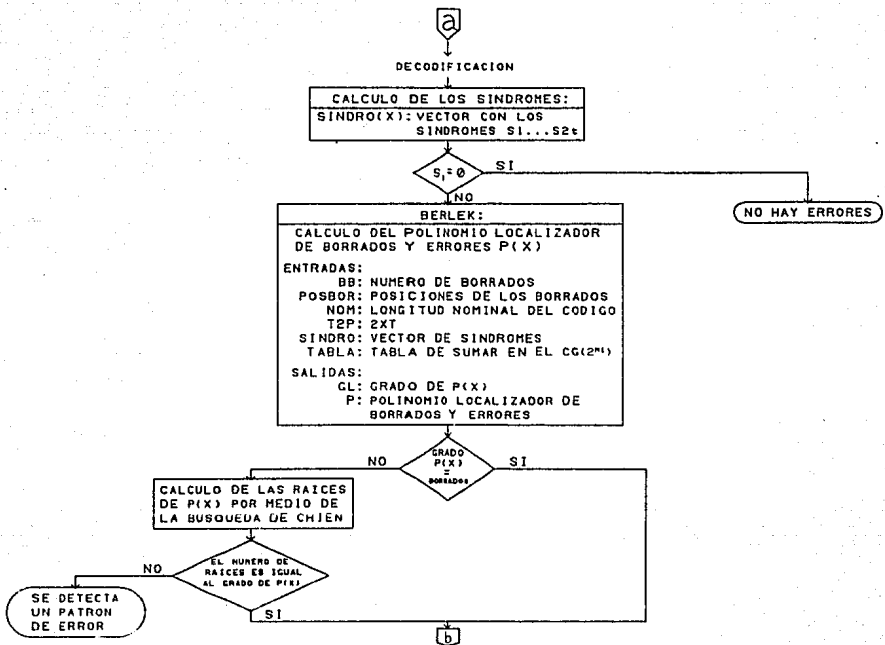
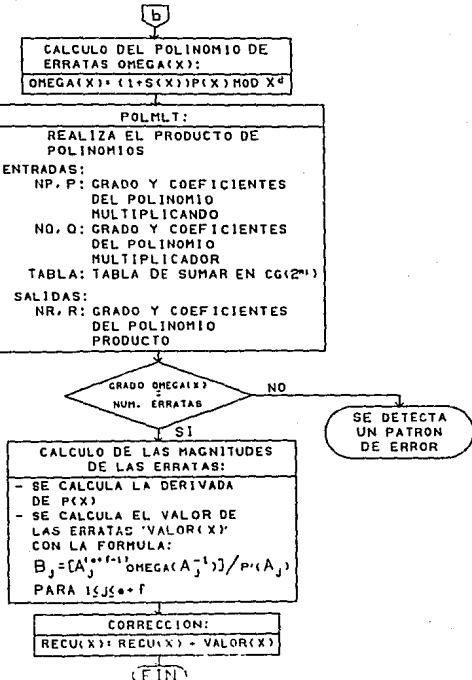


FIG. II.6 SIMULACION DEL ALGORITMO MODIFICADO DE DECODIFICACION  
PARA CODIGOS R.S.







### II.3 ALGORITMO DE DECODIFICACION PARA CODIGOS R.S.

#### MEDIANTE EL USO DE UNA TRANSFORMADA RAPIDA.

Se ha desarrollado un algoritmo de decodificación simplificado, para corregir borrados y errores con códigos R.S. sobre el campo finito  $\text{GF}(p^m)$ , donde  $p$  es un número primo y  $m$  es un número entero.

Hay que señalar que este algoritmo se usa aquí para corregir patrones de  $e$  errores y  $f$  borrados de palabras del código RS(255,223), donde  $2e+f<33$  y donde los símbolos pertenecen al campo finito  $\text{GF}(2^8)$ . Se utiliza este código en particular ya que es un estándar recomendado por el CCSDS (Consultative Committee for Space Data Systems) para la codificación en canales de telemetría [23]. Para su decodificación, se ha desarrollado una transformada rápida que nos permite calcular los vectores de errores y de borrados de las palabras del código transmitidas.

Se definen los siguientes cinco vectores:

$$(c_0, c_1, \dots, c_{254}) = c, \text{ vector del código.}$$

$$(r_0, r_1, \dots, r_{254}) = r, \text{ vector recibido.}$$

$$(\mu_0, \mu_1, \dots, \mu_{254}) = \mu, \text{ vector de borrados.}$$

$$(\epsilon_0, \epsilon_1, \dots, \epsilon_{254}) = \epsilon, \text{ vector de errores.}$$

$$(\delta_0, \delta_1, \dots, \delta_{254}) = \delta, \text{ vector de erratas.}$$

Estos vectores se relacionan como sigue:  $r = c + \mu + \epsilon$  y  $\delta = \epsilon + \mu$ .

Supóngase que en el vector recibido  $r$  de 255 símbolos, hay  $e$  errores y  $f$  borrados y asúmase que  $2e+f<33$ . Entonces, el procedimiento de decodificación consiste en los siguientes cinco pasos:

- (1) Cálculo de los sindromes  $S_k$  ( $1 \leq k \leq 32$ ) del vector recibido  $(r_0, r_1, \dots, r_{254})$ .

$$S_k = \sum_{i=0}^{254} r_i \alpha^{ik} \quad \text{para } k = 1, 2, \dots, 32 \dots (26)$$

donde  $\alpha$  es un elemento del campo finito  $\text{GF}(2^8)$ . Si  $S_k = 0$  para  $1 \leq k \leq 32$ , entonces  $r$  es una palabra del código y se puede terminar la decodificación. Si esto no se cumple, entonces:

(ii) Cálculo de los coeficientes del polinomio localizador de borrados,  $\tau_j$  para  $j=0, 1, 2, \dots, f$ , a partir de:

$$\tau(x) = \prod_{j=1}^f (x - Z_j) = \sum_{j=0}^f (-1)^j \tau_j x^{f-j} \dots (27)$$

donde  $f$  es el número de borrados en el vector recibido y  $Z_j$  ( $1 \leq j \leq f$ ) son las posiciones conocidas de los borrados.

(iii) En seguida, se calcula el polinomio combinado localizador de borrados y de errores.

$$P(x) = \sigma(x)\tau(x) = \sum_{k=0}^{f+e} (-1)^k P_k x^{f+e-k} \dots (28)$$

donde  $\sigma(x)$  es el polinomio localizador de errores. El polinomio  $P(x)$  se obtiene con el algoritmo de Berlekamp-Massey [3], descrito en el punto II.2 de este capítulo.

(iv) Despues de esto, se calcula el resto de los sindromes con la ecuación:

$$S_l = -\sum_{k=1}^{f+e} (-1)^k P_k S_{l-k} \quad \text{para } l > 32 \dots (29)$$

se hace notar que  $S_{255} = S_0$ .

(v) Cálculo de la transformada inversa del vector de sindromes  $(S_0, \dots, S_{254})$ , para obtener el vector de errores y de borrados  $Q$ :

$$Q_i = \delta_i + \mu_i = \sum_{k=0}^{254} S_k \alpha^{-ik} \quad \text{para } i = 0, 1, 2, \dots, 254 \dots (30)$$

Finalmente, se sustrae el vector de errores y de borrados  $\alpha$  del vector recibido  $r$  para corregirlo.

En este algoritmo la búsqueda de Chien se elimina. Esta búsqueda es reemplazada por el cálculo de una transformada de 255 puntos usando una técnica similar a la de la transformada rápida de Fourier (FFT). El resultado es un decodificador más simple y más rápido.

### II.3.1 TECNICA RAPIDA PARA EL CALCULO DE LAS MAGNITUDES DE ERRORES Y DE BORRADOS.

La idea es usar una técnica con transformada rápida sobre el campo finito  $CG(2^8)$ . Esos conceptos son usados para calcular eficientemente la expresión:

$$A_j = \sum_{i=0}^{254} a_i \alpha^{ij} \quad \text{para } 0 \leq j \leq 254 \quad \dots (31)$$

donde  $\alpha$  es un elemento del campo  $CG(2^8)$ . Para comenzar, si  $n = n_1 n_2 \dots n_r$  donde  $n_k$  para ( $1 \leq k \leq r$ ) es un número primo, entonces un entero  $j$  puede representarse por una  $r$ -tuple  $(j_1, j_2, \dots, j_r)$ , donde  $j_k \equiv j$  módulo  $n_k$  con  $1 \leq k \leq r$ . Ahora, para nuestro caso  $n = 255 = 3 \times 5 \times 17$ , por lo que  $n_1 = 3$ ,  $n_2 = 5$  y  $n_3 = 17$ . Entonces los términos  $a_i$  de la ecuación (31) pueden representarse por la matriz  $a(i_1, i_2, i_3)$ , donde  $i_1 \equiv i$  módulo 3,  $i_2 \equiv i$  módulo 5,  $i_3 \equiv i$  módulo 17.

La ecuación (31) puede ser descompuesta en las siguientes tres etapas:

Etapa 1.

$$A_{(11, 12, 13)}^1 = \sum_{i=0}^{3-1} a_{(11, 12, 13)} i^{13} \quad \text{para } \begin{array}{l} 0 \leq i \leq 16 \\ 0 \leq i \leq 4 \\ 0 \leq i \leq 2 \end{array}$$

Etapa 2.

$$A_{(i_1, j_2, j_3)}^2 = \sum_{i_2=0}^{S-1} A_{(i_1, i_2, j_3)}^1 \alpha_2^{i_2 j_2} \quad \text{para } \begin{array}{l} 0 \leq i_1 \leq 16 \\ 0 \leq j_2 \leq 4 \\ 0 \leq j_3 \leq 2 \end{array} \dots (32)$$

Etapa 3.

$$S_{(j_1, j_2, j_3)} = \sum_{i_1=0}^{17-1} A_{(i_1, j_2, j_3)}^2 \alpha_1^{i_1 j_1} \quad \text{para } \begin{array}{l} 0 \leq j_1 \leq 16 \\ 0 \leq j_2 \leq 4 \\ 0 \leq j_3 \leq 2 \end{array}$$

donde  $\alpha_3 = \alpha^{85}$ ,  $\alpha_2 = \alpha^{51}$  y  $\alpha_1 = \alpha^{120}$ . En las ecuaciones (32), la etapa 1, la etapa 2 y la etapa 3 son transformadas de 3, 5 y 17 puntos respectivamente. Los algoritmos detallados para el cálculo de las transformadas de 3, 5 y 17 puntos sobre el campo finito  $CG(2^8)$  se encuentran en el apéndice. De esos algoritmos se tiene que el número de multiplicaciones necesarias para calcular una transformada de 3, 5 y 17 puntos es 1, 5 y 53 respectivamente. En forma similar, el número de sumas que se necesitan para calcular una transformada de 3, 5 y 17 puntos es 5, 17 y 176 respectivamente. Entonces, el número total de multiplicaciones y sumas que se necesitan para calcular  $A_j$  para  $0 \leq j \leq 254$  es  $17 \times 5 \times 1 + 17 \times 5 \times 3 + 53 \times 5 \times 3 = 1135$  y  $17 \times 5 \times 5 + 17 \times 3 \times 17 + 176 \times 5 \times 3 = 3932$ , respectivamente.

En las figuras II.7 y II.8 se presentan, el algoritmo de decodificación para códigos R.S. en el dominio de la frecuencia y el diagrama de bloques de la simulación del algoritmo de decodificación anterior.

FIG. 11.7 ALGORITMO DE DECODIFICACION PARA CODIGOS R.S. EN EL DOMINIO DE LA FRECUENCIA

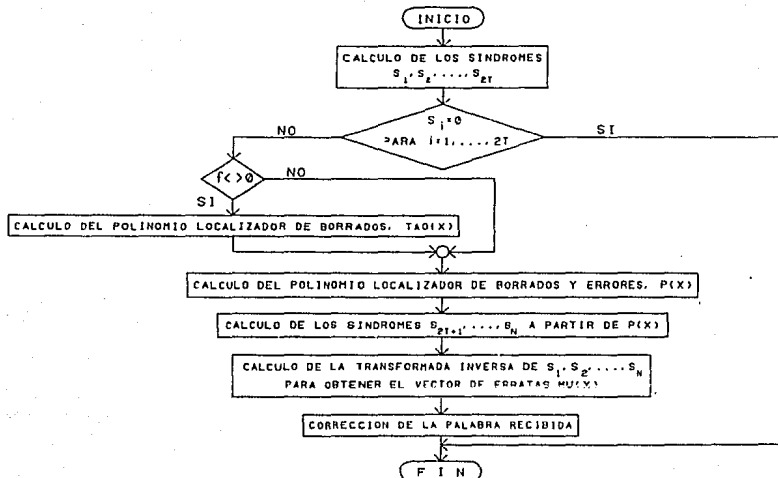
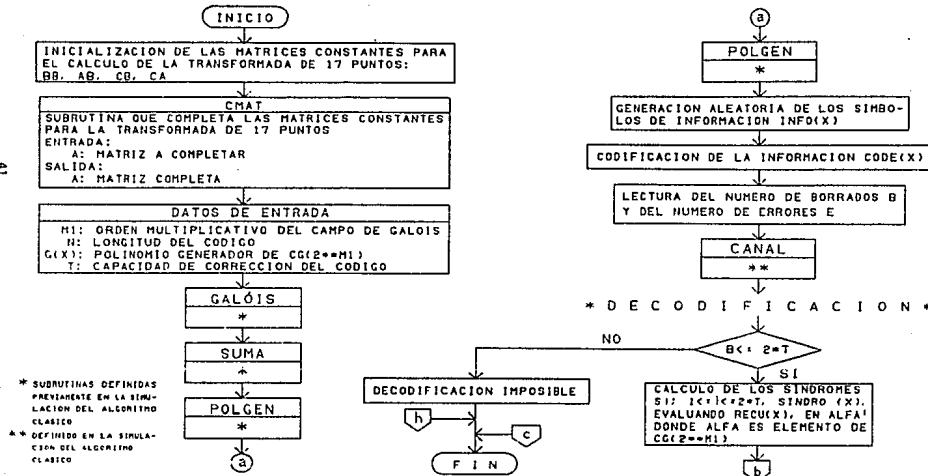
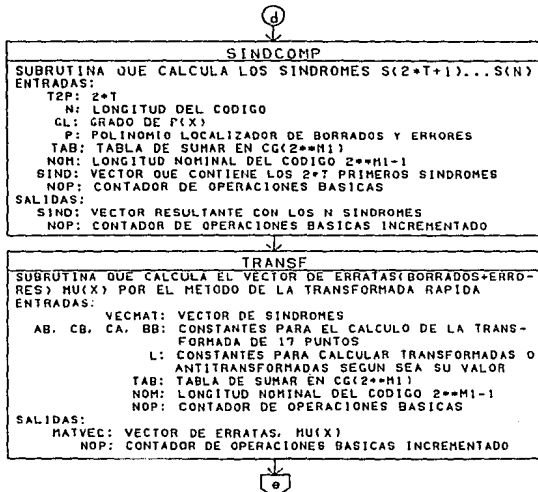
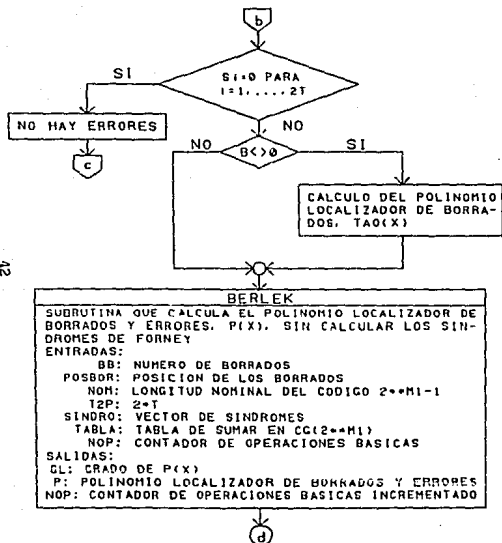
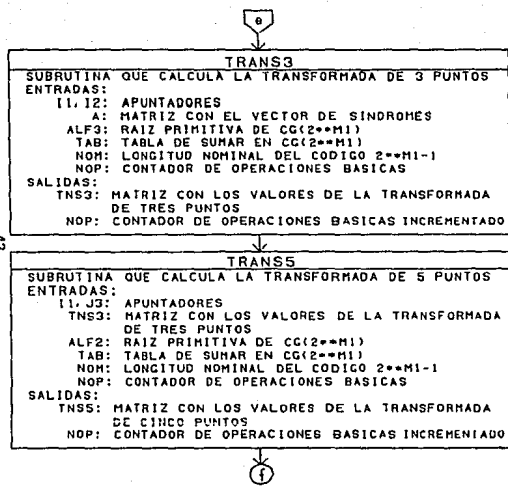


FIG. [1.8] DIAGRAMA A BLOQUES DE LA SIMULACION DEL ALGORITMO DE DECODIFICACION EN EL DOMINIO DE LA FRECUENCIA DE CODIGOS R.S.









VECN12345  
SUBRUTINA QUE GENERA LOS VECTORES NI PARA I=1, 2, 3, 4, 5,  
DE LA TRANSFORMADA DE 17 PUNTOS

ENTRADAS:

A: B: MATRIZ Y VECTOR A MULTIPLICAR  
TAB: TABLA DE SUMAR EN CG(2\*\*M1)  
NOM: LONGITUD NOMINAL DEL CODIGO 2\*\*M1-1  
NOP: CONTADOR DE OPERACIONES BASICAS

SALIDAS:

C: VECTOR NI RESULTANTE  
NOP: CONTADOR DE OPERACIONES BASICAS INCREMENTADO



VECN6789  
SUBRUTINA QUE OBTIENE LOS VECTORES NI PARA I=6, 7, 8, 9,  
DE LA TRANSFORMADA DE 17 PUNTOS

ENTRADAS:

A: VECTOR A MULTIPLICAR  
TAB: TABLA DE SUMAR EN CG(2\*\*M1)  
NOM: LONGITUD NOMINAL DEL CODIGO 2\*\*M1-1  
NOP: CONTADOR DE OPERACIONES BASICAS

SALIDAS:

B: VECTOR NI RESULTANTE  
NOP: CONTADOR DE OPERACIONES BASICAS INCREMENTADO



CORRECCION DE LA PALABRA RECIBIDA, QUE SE  
REALIZA SUSTRAYENDO EL VECTOR DE ERRATAS  
MU(X) DE LA PALABRA RECIBIDA RECU(X)



\* NOTA: PARA ESTA SIMULACION TAMBIEN  
SE UTILIZARON LAS FUNCIONES MULT  
E TIEF DEFINIDAS EN EL ALGO-  
RITMO CLASICO

### CAPITULO III. RESULTADOS DE LA SIMULACION DE LOS ALGORITMOS DE DECODIFICACION

En el presente capítulo hablaremos acerca de la simulación realizada para los tres algoritmos de decodificación y el objetivo de ésta.

Para los tres algoritmos descritos en el capítulo anterior, se hizo el conteo de los ciclos de reloj (operaciones) que lleva ejecutar cada una de las instrucciones de las etapas de decodificación en un microprocesador 68000 de Motorola.

El conteo de operaciones mencionado se hizo con el fin de comparar la rapidez de decodificación entre los tres algoritmos lo cual permitirá seleccionar el método de decodificación óptimo para su posterior microprogramación y diseño con una arquitectura en base a su paralelización. La decodificación óptima implica que el algoritmo más rápido es el mejor.

A continuación se mencionan las etapas de decodificación que se contabilizaron para cada uno de los tres algoritmos.

En el algoritmo "Clásico" se contabilizaron las siguientes cuatro etapas:

- a) Cálculo del Polinomio Localizador de Borrados, Síndromes de Forney y Polinomio Localizador de Errores.
- b) Cálculo de las raíces del Polinomio Localizador de Errores mediante la búsqueda de Chien.
- c) Cálculo del valor de las Erratas.
- d) Decodificación Total.

Para el algoritmo "Modificado" se contabilizaron las cuatro etapas siguientes:

- a) Cálculo del Polinomio Localizador de Borrados y Errores.
- b) Cálculo de las raíces del Polinomio Localizador de Borrados y Errores

- mediante la búsqueda de Chien.
- c) Cálculo del valor de las Erratas.
  - d) Decodificación Total.

La comparación entre estos dos algoritmos se hizo etapa por etapa.

Habiendo observado que el cálculo de las raíces es la etapa más lenta, se recurrió a un algoritmo que trabaja en el dominio de la frecuencia el cual no requiere de esta etapa y se aprovecharon las partes más rápidas de los otros dos algoritmos para tener un algoritmo de decodificación más rápido.

Para este algoritmo se contabilizó sólo el número de operaciones en la decodificación total y se comparó con la contabilización respectiva hecha para los otros dos algoritmos.

### III.1 TABLAS DE LOS ALGORITMOS DE DECODIFICACION.

Con la simulación de los tres algoritmos se generaron tres tablas (una por cada uno), las cuales contienen el número de operaciones para cada una de las etapas contabilizadas.

Una vez que se comprobó su rapidez, el algoritmo que trabaja en el dominio de la frecuencia se tradujo a lenguaje ensamblador de la VAX 11-730 debido a que la memoria de la computadora VME/10 de Motorola (que cuenta con un microprocesador 68000) no era suficiente. Luego, se obtuvo el tiempo en segundos que tarda cada subrutina en ejecutarse, con el fin de tener una idea de la rapidez de cada etapa y poder compararlas entre sí. Con estos tiempos se elaboró una cuarta tabla.

El significado de los valores contenidos en cada celda de cada una de las tablas es el siguiente:

Para el algoritmo clásico consideremos como ejemplo la lectura de la celda de la tabla correspondiente al error 8 y borrado 10.

$f=10$	
$e=8$	390 084
	1 968 430
	455 256
	10 287 291

← T(X), T(x), σ(x)  
 ← Raíces de σ(x)  
 ← Valor de las Erratas  
 ← Decodificación Total

De igual manera, para el algoritmo modificado considerando el mismo ejemplo, se tiene:

$f=10$	
$e=8$	406 716
	4 141 410
	575 228
	12 629 093

← P(x)  
 ← Raíces de P(x)  
 ← Valor de las Erratas  
 ← Decodificación Total

Para el algoritmo en el dominio de la frecuencia el único valor contenido en cada celda de la tabla corresponde a la decodificación total.

Y finalmente, para la tabla de tiempos en segundos de este último algoritmo, considerando el mismo ejemplo de error 8 y borrado 10, tenemos:

$f=10$	
$e=8$	4.27
	0.17
	0.83
	0.06
	0.14
	0.49
	0.69
	0.02
	5.97

← 32 primeros síndromes  
 ← P(x)  
 ← Síndromes 33 al 255  
 ← Transformada de 3 puntos  
 ← Transformada de 5 puntos  
 ← Transformada de 17 puntos  
 ← Valor de las Erratas  
 ← Corrección de la palabra  
 ← Decodificación Total

A continuación se muestran las tablas de los tres algoritmos mencionados y la correspondiente al algoritmo en el dominio de la frecuencia pero en segundos.

TABLA DEL ALGORITMO CLASICO DE DECODIFICACION PARA CODIGOS R.S.

1	2	3	4	5	6	7	8
0	65 412	81 046	100 420	118 310	139 710	159 742	183 180
0	230 030	230 030	230 030	230 030	230 030	230 030	230 030
0	2 002	6 744	14 226	24 448	37 410	53 112	71 554
7 159 164	7 488 976	7 539 852	7 558 312	7 614 924	7 657 072	7 691 492	7 745 694
47 716	82 872	97 874	117 248	134 506	155 912	175 308	198 744
447 330	447 330	447 330	447 330	447 330	447 330	447 330	447 330
2 602	6 744	14 226	24 448	37 410	53 112	71 554	92 736
7 718 356	7 752 432	7 773 639	7 858 368	7 867 251	7 890 342	7 915 991	7 987 524
65 638	105 794	115 164	134 538	151 164	172 570	191 332	214 770
664 630	664 630	664 630	664 630	664 630	664 630	664 630	664 630
6 744	14 226	24 448	37 410	53 112	71 554	92 736	116 658
7 991 332	8 041 811	8 045 155	B 114 419	B 127 323	B 206 819	E 222 735	E 291 627
84 280	117 556	135 274	152 648	168 642	190 048	209 178	231 616
881 930	881 930	881 930	881 930	881 930	881 930	881 930	881 930
14 226	24 448	37 410	53 112	71 554	92 736	114 658	143 320
8 236 090	8 298 396	8 323 849	8 394 068	8 409 131	B 441 412	E 504 967	E 549 304
103 942	139 538	152 204	171 978	186 940	206 708	225 844	249 282
1 099 230	1 099 230	1 099 230	1 099 230	1 099 230	1 099 230	1 099 230	1 099 230
24 448	37 410	53 112	71 554	92 736	116 658	143 320	172 722
8 525 244	8 547 260	8 596 103	8 650 158	8 717 099	8 752 651	8 795 183	8 868 964
124 324	159 880	171 954	191 688	206 058	227 784	244 350	268 048
1 316 530	1 316 530	1 316 530	1 316 530	1 316 530	1 316 530	1 316 530	1 316 530
37 410	53 112	71 554	92 736	116 658	143 320	172 722	204 864
8 804 356	8 863 544	8 898 120	E 955 321	8 973 807	9 057 920	F 167 225	9 170 725
145 526	180 682	192 524	211 898	225 996	247 402	264 196	287 074
1 533 830	1 533 830	1 533 830	1 533 830	1 533 830	1 533 830	1 533 830	1 533 830
53 112	71 554	92 736	116 658	143 320	172 722	204 864	239 746
1 9 068 092	1 9 121 323	1 9 180 483	1 9 236 293	1 9 280 459	1 9 286 284	1 9 360 225	1 9 466 387
148 148	202 704	214 424	232 288	247 194	258 160	264 122	287 200
1 751 130	1 751 130	1 751 130	1 751 130	1 751 130	1 751 130	1 751 130	1 751 130
71 554	92 736	116 658	143 320	172 722	204 864	229 746	277 368
1 9 360 228	1 9 433 044	1 9 476 587	1 9 511 007	1 9 522 419	1 9 623 441	1 9 682 417	1 9 761 024
1 99 792	225 546	226 724	255 498	263 772	289 758	305 028	328 146
1 968 430	1 968 430	1 968 430	1 968 430	1 968 430	1 968 430	1 968 430	1 968 430
92 736	115 658	143 320	172 722	204 864	239 746	277 368	317 350
9 602 675	9 720 943	9 748 687	9 814 031	9 871 891	9 913 079	9 987 723	10 008 799
							10 127 531

1	2	3	4	5	6	7	8	9	10	11	12	13	14	15	16	17
	210 812	255 110	282 612	309 046	338 580	367 150	398 716	429 422	465 020							
	230 030	230 030	230 030	230 030	230 030	230 030	230 030	230 030	230 030							
1	116 658	143 320	172 722	204 864	239 746	277 368	317 750	356 832	406 676							
	7 840 360	7 903 644	7 972 872	8 025 596	8 097 792	8 176 368	8 269 448	8 323 972	8 433 912							
	245 744	269 410	296 912	322 714	352 248	380 166	411 732	441 826	475 424							
	447 330	447 330	447 330	447 330	447 330	447 330	447 330	447 330	447 330							
1	143 320	172 722	204 864	239 746	277 368	317 750	360 832	406 674	455 256							
	8 118 704	8 184 327	8 242 692	8 315 731	8 399 784	8 494 983	8 560 644	8 642 091	8 745 720							
	261 138	284 172	311 674	336 846	366 378	393 484	425 250	454 692	489 290							
	664 630	664 630	664 630	664 630	664 630	664 630	664 630	664 630	664 630							
2	172 722	204 864	239 746	277 368	317 750	360 832	406 674	455 256	506 578							
	8 423 371	8 486 387	8 538 425	8 627 243	8 664 083	8 742 331	8 852 429	8 963 427	9 024 438							
	277 952	299 754	327 776	351 794	381 768	406 002	439 928	468 378	502 256							
	881 930	881 930	881 930	881 930	881 930	881 930	881 930	881 930	881 930							
3	204 664	239 746	277 368	317 750	360 822	406 674	455 256	506 578	560 640							
	8 771 492	8 782 919	8 856 472	8 919 595	8 986 908	9 071 399	9 168 864	9 265 595	9 370 492							
	294 028	316 156	343 658	367 564	397 458	423 140	454 968	482 884	516 682							
	1 099 230	1 099 230	1 099 230	1 099 230	1 099 230	1 099 230	1 099 230	1 099 230	1 099 230							
4	239 746	277 368	317 750	360 832	406 674	455 256	506 578	560 640	617 442							
	9 006 571	9 055 687	9 167 863	9 204 299	9 345 570	9 390 395	9 463 207	9 542 175	9 669 823							
	312 240	333 378	360 680	384 154	413 681	439 298	470 664	498 330	531 808							
	1 316 530	1 316 530	1 316 530	1 316 530	1 316 530	1 316 530	1 316 530	1 316 530	1 316 530							
5	277 368	317 750	360 832	406 674	455 256	506 578	560 640	617 442	676 784							
	9 307 434	9 309 587	9 442 478	9 524 067	9 610 112	9 738 031	9 783 783	9 880 731	9 949 673							
	330 198	351 024	378 922	401 764	431 098	455 976	487 442	514 396	552 590							
	1 533 830	1 533 830	1 533 830	1 533 830	1 533 830	1 533 830	1 533 830	1 533 830	1 533 830							
6	317 750	360 832	406 674	455 256	506 578	560 640	617 442	676 784	759 219							
	9 590 379	9 666 811	9 747 915	9 827 179	9 936 117	10 002 633	10 099 043	10 187 499	10 240 219							
	350 408	370 282	397 784	419 794	449 326	473 474	505 041	531 322	564 204							
	1 751 130	1 751 130	1 751 130	1 751 130	1 751 130	1 751 130	1 751 130	1 751 130	1 751 130							
7	360 832	406 674	455 256	506 578	560 640	617 442	676 784	737 266	804 289							
	9 903 676	9 926 345	10 018 527	10 133 691	10 224 447	10 309 671	10 426 944	10 578 043	10 616 137							
	370 722	390 084	417 468	433 190	465 022	491 892	523 458	549 108								
	1 948 430	1 948 430	1 948 430	1 948 430	1 948 430	1 948 430	1 948 430	1 948 430	1 948 430							
8	406 674	455 256	506 578	560 640	617 442	676 784	739 261	804 289								
	10 160 079	10 287 291	10 317 398	10 429 301	10 606 359	10 833 819	10 725 427	10 829 596								

		18	19	20	21	22	23	24	25	26
		495 862	531 492	566 470	604 132	641 246	680 946	720 190	761 916	803 302
		230 020	230 030	230 030	230 030	230 030	230 030	230 030	230 030	230 030
0	455 256	506 578	530 540	617 442	676 984	739 266	804 288	872 050	942 552	
	8 523 116	8 622 292	8 723 756	8 785 104	8 934 980	9 022 016	9 134 068	9 255 880	9 380 092	
		507 634	543 264	577 610	615 272	651 754	691 442	730 066	771 792	812 546
		447 330	447 330	447 330	447 330	447 330	447 330	447 330	447 330	447 330
1	506 578	560 640	617 442	676 984	739 266	804 288	872 050	942 552	1 015 774	
	8 899 799	8 916 388	9 028 470	9 115 816	9 245 111	9 334 916	9 455 551	9 576 232	9 686 407	
		519 868	555 498	577 770	626 374	662 724	702 418	740 404	782 130	822 252
		664 630	664 630	664 630	664 630	664 630	664 630	664 630	664 630	664 630
2	560 640	617 442	676 984	739 266	804 288	872 050	942 552	1 015 794	1 091 775	
	9 113 315	9 235 185	9 285 268	9 436 099	9 540 267	9 660 107	9 790 067	9 954 085	10 014 099	
		532 922	568 752	601 631	639 416	674 514	714 248	751 562	793 288	832 778
		881 930	881 930	881 930	881 930	881 930	881 930	881 930	881 930	881 930
3	617 442	676 784	739 266	804 288	872 050	942 552	1 015 774	1 091 776	1 170 498	
	9 456 683	9 487 423	9 635 755	9 752 108	9 879 228	9 984 352	10 120 953	10 228 358	10 363 527	
		246 796	582 546	614 876	652 572	697 124	726 818	763 540		
		1 099 230	1 099 230	1 099 230	1 099 230	1 099 230	1 099 230	1 099 230		
4	676 984	739 266	804 288	872 050	942 552	1 015 794	1 091 776			
	9 479 203	5 659 267	9 960 387	10 082 839	10 200 331	10 298 447	110 382 243			
		581 490	597 120	628 938	666 600	700 554				
		1 316 530	1 316 530	1 316 530	1 316 530	1 316 530				
5	739 266	804 288	872 050	942 552	1 015 794					
	110 072 487	110 184 702	110 293 123	110 368 452	110 519 799					
		589 732								
		1 175 120								
7	872 050									
		110 720 055								

		27	28	29	30	31	32	
1	1	847 060	890 582	936 372	982 030	1 029 852	1 078 618	
1	1	230 030	230 030	230 030	230 030	230 030	230 030	
0	1	1 015 794	1 091 776	1 170 498	1 251 960	1 336 162	1 423 104	
1	9	486 696	9 641 244	9 759 904	9 899 348	10 025 520	10 178 127	
1	1	856 304	899 196	944 984	990 010			
1	1	447 330	447 330	447 330	447 330			
1	1	1 091 776	1 170 498	1 251 960	1 336 162			
1	9	823 044	9 732 467	10 105 704	10 224 567			
1	1	866 010	908 268					
1	1	664 630	664 630					
2	1	1 170 498	1 251 960					
10	171 683	10 293 564						



IV	51	9	10	11	12	13	14
1	391 976	410 506	438 008	457 998	487 890	511 113	
2	2 185 730	2 185 730	2 185 730	2 185 730	2 185 730	2 185 730	
9	455 256	506 578	560 640	617 442	676 984	739 266	
10	513 568	110 586 807	110 637 373	110 757 316	110 859 045	110 975 159	
1	413 850	431 072	459 290	479 404			
2	2 403 030	2 403 030	2 403 030	2 403 030			
10	506 578	560 640	617 442	676 984			
11	823 715	110 917 307	110 973 339	111 048 097			
1	436 584	453 930					
2	2 620 330	2 620 330					
11	560 640	617 442					
11	151 092	111 179 820					

TABLA DEL ALGORITMO MODIFICADO DE DECODIFICACION PARA CODIGOS R.S.

	0	1	2	3	4	5	6	7	8
0	0	46 270	62 058	77 886	93 724	109 582	125 460	141 358	157 276
0	0	0	0	0	0	0	0	0	0
0	0	3 112	9 404	19 312	32 420	49 144	69 068	92 608	119 348
7 154 620	7 252 474	7 299 488	7 348 138	7 401 008	7 457 515	7 517 240	7 580 603	7 647 184	
1	47 826	63 526	80 250	96 994	113 758	130 542	147 346	164 170	181 014
1	447 310	664 610	891 910	1 099 210	1 316 510	1 533 810	1 751 110	1 968 410	2 185 710
1	3 112	9 404	19 312	32 420	49 144	69 068	92 608	119 348	149 704
7 701 371	7 964 587	8 232 413	8 503 519	8 778 231	9 056 163	9 337 731	9 622 519	9 910 943	
1	88 614	81 240	98 890	116 560	134 250	151 960	169 690	187 440	205 210
1	664 610	881 910	1 057 210	1 316 510	1 533 810	1 751 110	1 968 410	2 185 710	2 403 010
2	9 404	19 312	32 420	49 144	69 068	92 608	119 348	149 704	183 260
7 985 674	8 233 432	8 505 415	8 781 032	9 059 871	9 342 344	9 628 039	9 917 368	10 208 499	
1	88 614	81 240	98 890	116 560	134 250	151 960	169 690	187 440	205 210
1	881 910	1 099 210	1 316 510	1 533 810	1 751 110	1 968 410	2 185 710	2 403 010	2 620 310
3	19 312	32 420	49 144	69 068	92 608	119 348	149 704	183 260	220 452
8 234 052	8 505 936	8 782 460	9 062 204	9 345 584	9 617 313	9 922 420	10 423 567	10 512 968	
1	99 584	115 202	137 544	157 066	176 608	196 170	215 752	235 354	254 976
1	1 099 210	1 316 510	1 533 810	1 751 110	1 968 410	2 185 710	2 403 010	2 620 310	2 837 610
4	32 420	49 144	69 068	92 608	119 348	149 704	183 260	220 432	260 804
8 505 703	8 782 041	9 222 403	9 347 451	9 634 956	9 926 099	10 219 040	10 518 459	10 819 676	
1	137 726	137 130	157 558	178 006	198 474	218 982	239 470	259 998	280 546
1	1 316 510	1 533 810	1 751 110	1 968 410	2 185 710	2 403 010	2 620 310	2 837 610	3 054 910
5	49 144	69 068	92 608	119 348	149 704	183 260	220 432	260 804	304 792
8 736 181	9 016 045	9 300 480	9 588 204	9 879 495	10 172 655	10 712 247	10 772 589	11 078 662	
1	136 346	156 676	178 010	199 404	220 798	242 212	263 646	285 100	306 574
1	1 533 810	1 751 110	1 968 410	2 185 710	2 403 010	2 620 310	2 837 610	3 054 910	3 272 210
6	69 068	92 608	119 348	149 704	183 260	220 432	260 804	304 792	351 980
9 015 339	9 299 675	9 538 306	9 880 503	10 174 569	10 475 042	10 964 739	11 085 293	11 392 492	
1	155 426	176 680	198 960	221 240	243 580	265 920	288 280	310 660	349 710
1	1 751 110	1 968 410	2 185 710	2 403 010	2 620 310	2 837 610	3 054 910	3 272 210	3 487 510
7	92 608	119 348	149 704	183 260	220 432	260 804	304 792	351 980	402 784
1 9 298 501	9 587 033	9 880 137	10 175 106	10 476 488	10 779 736	11 066 551	11 316 656	11 783 029	
1	174 960	197 142	220 349	243 574	266 820	290 086	313 372	334 678	360 004
1	1 968 410	2 185 710	2 403 010	2 620 310	2 837 610	3 054 910	3 272 210	3 487 510	3 766 810
8	119 348	149 704	183 260	220 432	260 804	304 792	351 980	402 784	456 788
1 9 584 742	9 878 397	10 174 275	10 476 561	10 988 152	11 089 436	11 398 796	11 714 023	12 031 889	

1	2	3	4	5	6	7	8	9	10	11	12	13	14	15	16	17	
									173 214	189 172	205 150	221 148	237 166	253 204	269 242	285 340	301 438
									0	0	0	0	0	0	0	0	0
0	149 704	163 260	220 432	260 804	304 792	351 980	402 784	456 788	514 408								
	7 717 403	7 789 420	7 867 915	7 948 208	8 032 139	8 119 288	8 210 075	8 304 080	8 401 725								
	197 978	214 762	231 646	248 590	265 534	282 498	299 492	316 486	333 510								
	2 403 010	2 620 310	2 837 610	3 054 910	3 272 210	3 489 510	3 706 810	3 924 110	4 141 410								
1	183 210	220 432	260 804	304 792	351 980	402 784	456 788	514 408	575 228								
	10 201 187	10 497 887	10 796 367	11 098 503	11 403 659	11 712 851	12 025 083	12 340 911	12 659 979								
	223 000	240 810	258 640	276 496	294 360	312 250	330 180	348 090	366 040								
	2 620 310	2 837 610	3 054 910	3 272 210	3 489 510	3 706 810	3 924 110	4 141 410	4 358 710								
2	220 432	260 804	304 792	351 980	402 784	456 788	514 408	575 228	639 664								
	10 500 104	10 805 511	11 108 552	11 414 815	11 724 712	12 057 831	12 334 584	12 674 559	12 998 168								
	248 580	267 316	286 072	304 84	323 644	342 460	361 296	380 152	399 028								
	2 837 610	3 054 910	3 272 210	3 489 510	3 706 810	3 924 110	4 141 410	4 358 710	4 576 010								
3	260 804	304 792	351 980	402 784	456 788	514 408	575 228	639 664	707 300								
	10 815 290	11 117 228	11 424 396	11 735 200	12 049 224	12 366 824	12 687 784	13 031 251	13 340 016								
	274 618	294 286	313 962	333 664	353 386	373 128	392 870	412 672	432 474								
	3 054 910	3 272 210	3 489 510	3 706 810	3 924 110	4 141 410	4 358 710	4 576 010	4 793 310								
4	304 792	351 980	402 784	456 788	514 408	575 228	639 664	707 300	776 552								
	11 124 531	11 432 604	11 744 315	12 054 244	12 377 811	12 699 596	13 025 019	13 353 660	13 685 939								
	301 114	321 702	342 310	362 938	383 586	404 254	424 942	445 650	466 378								
	3 272 210	3 489 510	3 706 810	3 924 110	4 141 410	4 358 710	4 576 010	4 793 310	5 010 610								
5	351 980	402 784	456 788	514 408	575 228	639 664	707 300	776 552	853 004								
	11 386 155	11 496 813	12 015 961	12 331 323	12 454 681	12 980 252	13 309 112	13 641 539	13 775 287								
	329 088	349 582	371 116	392 670	414 244	435 838	457 452	479 084	500 740								
	3 489 510	3 706 810	3 924 110	4 141 410	4 358 710	4 576 010	4 793 310	5 010 610	5 227 910								
6	402 784	456 788	514 408	575 228	639 664	707 300	776 552	853 004	931 072								
	11 705 257	12 080 412	12 340 932	12 711 355	12 990 320	13 316 381	13 651 091	13 990 041	14 350 231								
	355 480	377 920	400 360	422 860	445 560	467 880	470 620	492 995	515 510								
	3 706 810	3 924 110	4 141 410	4 358 710	4 576 010	4 793 310	5 010 610	5 227 910	5 445 210								
7	456 788	514 408	575 228	639 664	707 300	776 552	853 004	931 072	1 012 340								
	12 027 267	12 347 815	12 671 831	12 999 613	13 249 460	13 465 925	14 001 423	14 342 549	14 688 933								
	383 350	406 716	430 102	453 508	476 924	500 380	523 845	547 232									
	3 924 110	4 141 410	4 358 710	4 576 010	4 793 310	5 010 610	5 227 910	5 445 210									
8	514 408	575 228	639 664	707 300	776 552	853 004	931 072	1 012 340									
	12 357 243	12 629 093	13 066 753	13 337 912	13 554 683	14 011 491	14 351 613	14 425 513									

15	16	17	18	19	20	21	22	23	24	25	26
			317 556	333 694	349 852	366 034	382 228	396 446	414 684	430 942	447 220
0			0	0	0	0	0	0	0	0	0
			575 228	659 664	707 300	778 552	853 004	931 072	1 012 340	1 097 224	1 185 308
			8 502 384	8 687 083	8 714 800	8 826 155	8 940 728	9 058 339	9 180 346	9 305 435	9 433 720
			350 554	367 618	384 702	401 806	418 930	436 074	453 238	470 422	487 626
1			4 576 010	4 793 310	5 010 610	5 227 910	5 445 210	5 662 510	5 879 810	6 097 110	6 314 410
			659 664	707 300	778 552	853 004	931 072	1 012 340	1 097 224	1 185 308	1 277 008
			12 982 383	13 305 407	13 638 167	15 970 947	14 307 365	14 646 999	14 990 271	15 336 763	15 682 347
			384 010	402 000	420 010	438 040	456 090	474 160	492 230	510 360	528 490
2			4 576 010	4 793 310	5 010 610	5 227 910	5 445 210	5 662 510	5 879 810	6 097 110	6 314 410
			707 300	778 552	853 004	931 072	1 012 340	1 097 224	1 185 308	1 277 008	1 371 908
			13 324 999	13 655 464	13 989 151	14 326 472	14 687 015	15 011 192	15 358 591	15 705 080	16 059 335
			417 924	436 840	453 776	474 732	493 708	512 704	531 720	550 756	569 812
3			4 793 310	5 010 610	5 227 910	5 445 210	5 662 510	5 879 810	6 097 110	6 314 410	6 531 710
			778 552	853 004	931 072	1 012 340	1 097 224	1 185 308	1 277 008	1 371 908	1 470 424
			13 671 387	14 005 981	14 344 208	14 685 656	15 030 741	15 153 292	15 726 440	16 081 600	16 440 397
			452 296	472 138	492 000	511 882	531 784	551 706	571 648		
4			5 010 610	5 227 910	5 445 210	5 662 510	5 879 810	6 097 110	6 314 410		
			853 004	931 072	1 012 340	1 097 224	1 185 308	1 277 008	1 371 908		
			14 021 437	14 360 571	14 702 925	14 841 617	15 398 125	15 746 427	16 102 493		
			497 124	507 894	528 682	549 490	570 318				
5			5 227 910	5 445 210	5 662 510	5 879 810	6 097 110				
			931 072	1 012 340	1 097 224	1 185 308	1 277 008				
			14 316 539	14 657 141	15 065 249	15 354 679	15 703 129				
			522 414	544 108	565 822						
			5 445 210	5 662 510	5 879 810						
6			1 012 340	1 097 224	1 185 308						
			14 673 708	15 020 755	15 371 098						
			538 150								
			5 662 510								
7			1 097 224								
			15 034 884								

IV	27	28	29	30	31	32
1	463 518	479 836	496 174	512 532	528 910	545 308
	0	0	0	0	0	0
0	1 277 008	1 371 908	1 470 424	1 572 140	1 677 472	1 786 004
	9 561 099	9 696 240	9 835 019	9 977 016	10 122 681	10 271 535
	504 850	522 094	539 358	556 642		
	6 314 410	6 531 710	6 749 010	6 966 310		
1	1 371 908	1 470 424	1 572 140	1 677 472		
	16 035 695	16 392 679	16 732 883	17 116 722		
	546 640	564 810				
	6 531 710	6 749 010				
2	1 470 424	1 572 140				
	16 417 224	16 778 334				

	0	1	2	3	4	5	6	7	8
	194 954	216 806	282 194	266 346	290 518	314 710	338 922	363 154	387 406
1	2 185 710	2 403 010	2 420 310	2 837 610	3 054 910	3 272 210	3 489 510	3 706 810	3 924 110
9	189 704	185 260	220 432	260 804	304 792	351 980	402 764	456 788	514 408
	10 010 650	10 122 575	10 425 218	10 729 591	11 037 461	11 348 689	11 663 416	11 981 500	12 303 093
	215 406	239 440	284 498	289 576	314 674	339 792	384 930	390 068	415 266
1	2 403 010	2 420 310	2 837 610	3 054 910	3 272 210	3 489 510	3 706 810	3 924 110	4 141 410
10	185 260	220 432	260 804	304 792	351 980	402 784	456 788	514 408	575 228
	10 120 294	10 422 619	10 727 899	11 035 849	11 348 809	11 663 236	12 003 432	12 305 920	12 631 787
	236 316	261 276	287 260	313 264	339 268	365 332	382 748	417 480	438 104
1	2 620 310	2 837 610	3 054 910	3 272 210	3 489 510	3 706 810	3 924 110	4 141 410	4 358 710
11	220 432	260 804	304 792	351 980	402 784	456 788	514 408	575 228	639 664
	10 419 178	10 724 623	11 033 337	11 347 555	11 664 073	11 983 076	12 305 029	12 634 136	12 982 120
	257 684	283 570	310 480	331 402	344 360	391 330	418 320	445 350	472 360
1	2 837 610	3 054 910	3 272 210	3 489 510	3 706 810	3 924 110	4 141 410	4 358 710	4 576 010
12	260 804	304 792	351 980	402 784	456 788	514 408	575 228	639 664	707 300
	10 721 394	11 032 981	11 347 683	11 661 371	11 981 173	12 307 473	12 633 122	12 872 949	13 300 803
	279 510	306 322	341 580	342 014	389 890	417 786	445 702		
1	3 054 910	3 272 210	3 489 510	3 706 810	3 924 110	4 141 410	4 358 710		
13	304 792	351 980	402 784	456 788	514 408	575 228	639 664		
	11 027 077	11 340 925	11 659 276	11 979 983	12 306 191	12 634 755	12 986 817		
	301 794	329 532	358 294	387 076	415 878				
1	3 272 210	3 489 510	3 706 810	3 924 110	4 141 410				
14	351 980	402 784	456 788	514 408	575 228				
	11 336 344	11 654 805	11 977 420	12 195 521	12 633 003				
	324 536	358 060	382 868						
1	3 489 510	3 706 810	3 924 110						
15	402 784	456 788	514 408						
	11 649 756	11 865 395	12 299 500						
	347 736								
1	3 706 810								
16	456 788								
	11 913 629								

JN	41		10	11	12	13	14
16	1	9					
1	411 678	1	435 970		460 282	484 614	508 966
1	4 141 410	1	4 358 710	4 576 010	4 793 310	5 010 610	5 227 910
1	9	575 228	1	639 664	707 300	778 552	852 004
1	12 577 819	1	12 956 461	13 288 257	13 623 352	13 962 204	14 111 065
1							
1	480 484	1	485 682	490 920	518 178		
1	4 358 710	1	4 576 010	4 793 310	5 010 610		
10	639 664	1	707 300	778 552	852 004		
1	12 961 111	1	13 273 813	13 630 013	13 989 572		
1							
1	469 708	1	495 852				
1	4 576 010	1	4 793 310				
11	707 300	1	778 552				
1	13 135 700	1	13 635 101				
1							

TABLA DEL ALGORITMO DE DECODIFICACION QUE OPERA EN EL DOMINIO DE  
LA FRECUENCIA PARA CODIGOS R.S.

	0	1	2	3	4	5	6	7
16								
0	7 159 164	8 348 626	8 473 159	8 597 892	8 727 099	8 851 780	8 976 463	9 101 204
1	8 350 184	8 474 708	8 600 250	8 730 368	8 855 956	8 981 564	9 107 192	9 232 840
2	8 475 796	8 601 247	8 732 264	8 858 759	8 985 272	9 111 807	9 238 360	9 364 935
3	8 601 867	8 732 787	8 860 187	8 987 607	9 115 047	9 242 507	9 369 987	9 506 574
4	8 732 939	8 860 240	8 988 005	9 116 912	9 244 629	9 372 927	9 502 071	9 630 496
5	8 859 924	8 988 152	9 117 404	9 246 676	9 375 493	9 505 280	9 633 875	9 763 964
6	8 987 368	9 116 523	9 256 700	9 376 699	9 507 116	9 634 615	9 767 612	9 897 891
7	9 115 271	9 245 351	9 376 455	9 507 579	9 637 309	9 769 325	9 910 158	10 031 185
8	9 243 245	9 374 636	9 506 667	9 638 716	9 770 787	9 902 876	10 034 987	10 167 116
9	9 372 448	9 504 380	9 637 336	9 770 312	9 903 308	10 036 324	10 169 360	10 302 416
10	9 501 427	9 634 583	9 768 464	9 902 367	10 036 288	10 170 231	10 304 192	10 438 173
11	9 631 857	9 765 243	9 899 401	10 034 879	10 190 928	10 305 329	10 439 463	10 574 391
12	9 761 651	9 900 663	10 032 095	10 235 400	10 303 623	10 439 415	10 575 231	10 711 064
13	9 892 300	10 027 936	10 200 340	10 301 276	10 437 976	10 565 187	10 711 436	
14	10 240 325	10 192 650	10 301 110	10 425 165	10 572 788			
15	10 154 975	10 291 657	10 430 975					
16	10 286 999							

1	2	3	4	5	6	7	8	9	10	11	12	13	14	15
1	9 223 947	9 350 708	9 475 491	9 600 292	9 725 115	9 849 956	9 974 819	10 099 700						
2	9 356 508	9 484 196	9 609 904	9 735 632	9 861 380	9 987 148	10 112 936	10 238 744						
3	9 491 528	9 610 143	9 744 776	9 870 349	9 999 104	10 124 799	10 251 512	10 378 247						
4	9 625 607	9 752 547	9 880 107	10 007 687	10 135 287	10 262 907	10 390 547	10 518 207						
5	9 758 943	9 887 408	10 015 895	10 144 400	10 272 927	10 401 472	10 548 126	10 692 125						
6	9 893 336	10 022 728	10 152 140	10 281 572	10 411 024	10 537 349	10 669 988	10 799 500						
7	10 026 923	10 158 507	10 287 491	10 419 203	10 635 527	10 679 979	10 846 746	10 940 835						
8	10 163 499	10 331 094	10 426 007	10 557 291	10 688 595	10 818 177	10 951 263	11 082 627						
9	10 299 267	10 431 436	10 563 627	10 695 836	10 828 067	10 960 316	11 092 587	11 224 876						
10	10 435 492	10 568 588	10 700 615	10 833 311	10 964 847	11 101 172	11 234 348							
11	10 708 141	10 844 267	10 979 235											
12	10 815 120													

	16	17	18	19	20	21	22	23
0	10 224 603	10 349 524	10 476 467	10 599 428	10 724 411	10 849 412	10 974 435	11 099 476
1	10 364 572	10 450 420	10 616 288	10 740 383	10 868 024	10 994 012	11 119 960	11 245 928
2	10 505 000	10 631 775	10 758 568	10 885 383	11 012 216	11 139 071	11 265 944	11 392 839
3	10 645 887	10 773 587	10 901 307	11 029 047	11 156 807	11 284 587	11 412 387	11 540 207
4	10 787 231	10 918 869	11 046 503	11 173 168	11 320 401	11 430 560	11 559 287	11 688 032
5	10 927 151	11 058 584	11 189 156	11 317 748	11 447 380	11 576 992	11 706 644	
6	11 071 292	11 201 771	11 332 268	11 462 787	11 591 091			
7	11 229 764	11 343 415	11 476 839					
8	11 357 187							

N	F	24	25	26	27	28	29	30	31
0		11 224 539	11 349 620	11 474 723	11 599 844	11 724 987	11 850 148	11 973 331	12 105 076
1		11 371 916	11 497 924	11 623 952	11 756 000	11 876 068	12 002 156	12 132 808	
2		11 519 752	11 646 687	11 773 640	11 900 615	12 027 608			
3		11 668 047	11 795 907	11 923 797					
4		11 816 799							

N	F	32
0		
0		12 230 326

**TABLA DEL ALGORITMO DE DECODIFICACION QUE OPERA EN EL DOMINIO DE LA FRECUENCIA PARA CODIGOS R.S. (Tiempo en segundos).**

<b>N.</b>	<b>F1</b>	<b>0</b>	<b>1</b>	<b>2</b>	<b>3</b>	<b>4</b>	<b>5</b>	<b>6</b>	<b>7</b>	<b>8</b>	<b>9</b>	<b>10</b>	<b>11</b>
		4.28	4.28	4.25	4.25	4.25	4.24	4.25	4.25	4.24	4.28	4.25	4.24
		0.00	0.03	0.04	0.04	0.05	0.05	0.06	0.05	0.05	0.08	0.05	0.09
		0.00	0.05	0.10	0.14	0.15	0.21	0.28	0.32	0.34	0.42	0.45	0.49
		0.00	0.16	0.27	0.45	0.24	0.17	0.27	0.65	0.25	0.24	0.04	0.01
1	0	0.00	0.17	0.18	0.19	0.17	0.16	0.16	0.17	0.18	0.14	0.19	0.14
		0.00	0.13	0.44	0.49	0.46	0.45	0.45	0.47	0.45	0.45	0.45	0.46
		0.00	0.66	0.59	0.72	0.67	0.68	0.65	0.72	0.65	0.64	0.69	0.61
		0.00	0.21	0.01	0.01	0.22	0.02	0.02	0.02	0.02	0.02	0.01	0.02
		4.28	5.63	5.08	5.15	5.17	5.21	5.27	5.27	5.74	5.35	5.59	5.45
		4.28	4.28	4.25	4.25	4.25	4.26	4.26	4.25	4.25	4.29	4.28	4.20
		0.03	0.02	0.04	0.04	0.05	0.06	0.07	0.05	0.05	0.19	0.10	0.11
		0.05	0.10	0.14	0.19	0.23	0.28	0.31	0.27	0.42	0.46	0.51	0.55
		0.04	0.15	0.79	0.05	0.05	0.68	0.04	0.04	0.04	0.04	0.06	0.04
		0.17	0.16	0.17	0.17	0.15	0.16	0.17	0.18	0.14	0.14	0.14	0.15
		3.49	6.46	0.42	0.49	0.49	0.47	0.45	0.49	0.42	0.22	0.46	0.48
		0.70	0.27	0.72	0.59	0.35	0.71	0.57	0.58	0.64	0.70	0.39	0.58
		0.01	0.22	0.32	0.01	0.01	0.02	0.01	0.02	0.02	0.01	0.02	0.01
		5.07	5.69	5.12	5.17	5.21	5.33	5.31	5.41	5.44	5.54	5.39	5.64
		4.28	4.17	4.28	4.26	4.25	4.25	4.25	4.25	4.25	4.25	4.25	4.25
		0.04	0.34	0.55	0.35	0.35	0.07	0.08	0.07	0.10	0.10	0.12	0.11
		0.11	0.14	0.19	0.24	0.27	0.22	0.37	0.42	0.45	0.50	0.51	0.59
		0.05	0.38	0.08	0.04	0.07	0.06	0.05	0.16	0.05	0.33	0.26	0.07
2	1	0.15	0.16	0.15	0.17	0.17	0.16	0.15	0.15	0.15	0.14	0.15	0.15
		0.44	0.47	0.47	0.45	0.45	0.47	0.47	0.47	0.49	0.47	0.48	0.47
		0.64	0.69	0.62	0.65	0.69	0.69	0.67	0.70	0.66	0.65	0.70	0.69
		0.01	0.22	0.03	0.01	0.01	0.01	0.02	0.02	0.02	0.01	0.02	0.02
		5.07	5.16	5.21	5.22	5.29	5.35	5.36	5.47	5.45	5.31	5.70	5.65
		4.25	4.25	4.22	4.25	4.25	4.30	4.30	4.75	4.34	4.34	4.36	4.37
		0.04	0.35	0.09	0.09	0.07	0.08	0.09	0.10	0.10	0.11	0.12	0.13
		0.14	0.19	0.23	0.27	0.36	0.37	0.43	0.40	0.50	0.56	0.60	0.65
		0.07	0.34	0.05	0.55	0.99	0.04	0.07	0.05	0.55	0.68	0.66	0.06
3	1	0.16	0.17	0.16	0.17	0.17	0.16	0.15	0.15	0.15	0.14	0.15	0.15
		0.47	0.48	0.47	0.46	0.48	0.50	0.46	0.47	0.45	0.48	0.49	0.47
		0.70	0.47	0.46	0.45	0.45	0.45	0.42	0.43	0.41	0.45	0.46	0.50
		0.02	0.01	0.02	0.02	0.02	0.02	0.02	0.02	0.02	0.02	0.02	0.02
		5.14	5.17	5.27	5.25	5.43	5.41	5.45	5.50	5.30	5.64	5.73	5.92
		4.29	4.29	4.29	4.29	4.29	4.29	4.29	4.29	4.31	4.29	4.20	
		0.05	0.19	0.07	0.27	0.28	0.06	0.10	0.17	0.11	0.13	0.14	0.15
		0.19	0.22	0.27	0.22	0.37	0.42	0.45	0.50	0.54	0.60	0.55	0.70
		0.04	0.38	0.58	0.35	0.05	0.65	0.55	0.55	0.58	0.05	0.15	0.07
4	1	0.17	0.14	0.15	0.13	0.14	0.17	0.13	0.12	0.21	0.12	0.12	0.12
		0.47	0.47	0.46	0.46	0.46	0.46	0.47	0.47	0.45	0.47	0.53	0.47
		0.67	0.65	0.67	0.64	0.65	0.67	0.65	0.66	0.62	0.65	0.65	0.65
		0.01	0.21	0.02	0.02	0.01	0.1	0.02	0.02	0.02	0.02	0.02	0.02
		5.22	5.27	5.32	5.15	5.49	5.43	5.55	5.60	5.71	5.75	5.82	



IV	V	24	25	26	27	28	29	30	31	32
		4.25	4.25	4.25	4.27	4.27	4.27	4.27	4.27	4.28
		0.17	0.18	0.18	0.19	0.20	0.20	0.21	0.21	0.22
		1.10	1.14	1.18	1.39	1.28	1.50	1.37	1.61	1.48
		0.04	0.05	0.10	0.06	0.05	0.05	0.05	0.05	0.05
0		0.15	0.14	0.15	0.14	0.13	0.13	0.14	0.13	0.13
		0.46	0.49	0.47	0.51	0.51	0.48	0.50	0.49	0.50
		0.05	0.67	0.73	0.71	0.68	0.66	0.65	0.66	0.68
		0.02	0.02	0.02	0.02	0.02	0.02	0.02	0.02	0.02
		6.18	6.25	6.35	6.57	6.45	6.84	6.55	6.77	6.67
		4.27	4.26	4.25	4.27	4.28	4.27	4.28		
		0.19	0.20	0.20	0.21	0.21	0.22	0.22		
		1.28	1.18	1.22	1.29	1.34	1.38	1.44		
		0.04	0.02	0.07	0.06	0.05	0.05	0.05		
		0.15	0.15	0.14	0.14	0.15	0.13	0.13		
		0.47	0.59	0.48	0.53	0.47	0.51	0.47		
		0.66	0.68	0.69	0.72	0.67	0.69	0.65		
		0.01	0.02	0.02	0.02	0.01	0.01	0.02		
		6.40	6.33	6.37	6.51	6.31	6.37	6.52		
		4.25	4.25	4.25	4.24	4.25				
		0.22	0.21	0.22	0.22	0.21	0.24			
		1.18	1.23	1.43	1.33	1.37				
		0.05	0.04	0.06	0.05	0.05				
2		0.15	0.14	0.13	0.15	0.16				
		0.50	0.47	0.50	0.50	0.50				
		0.69	0.65	0.69	0.70	0.72				
		0.02	0.02	0.01	0.02	0.01				
		6.37	6.37	6.61	6.50	6.58				
		4.31	4.31	4.31						
		0.22	0.26	0.26						
		1.24	1.30	1.35						
		0.66	0.65	0.67						
3		0.11	0.11	0.12						
		0.48	0.55	0.51						
		0.65	0.71	0.70						
		0.02	0.02	0.03						
		6.44	6.55	6.64						
		4.26								
		6.21								
		1.28								
		0.05								
4		0.15								
		0.49								
		0.67								
		0.02								
		6.47								

IV. II		0	1	2	3	4	5	6	7	8	9	10	11
		4.31	4.30	4.30	4.30	4.31	4.34	4.31	4.31	4.31	4.30	4.31	4.31
	0.05	0.07	0.08	0.08	0.09	0.10	0.11	0.12	0.13	0.13	0.14	0.15	0.15
	0.26	0.28	0.33	0.37	0.48	0.48	0.51	0.56	0.60	0.74	0.79	0.74	
	0.05	0.06	0.06	0.05	0.05	0.05	0.05	0.04	0.05	0.06	0.05	0.05	0.06
5	0.14	0.14	0.13	0.11	0.12	0.10	0.14	0.12	0.12	0.13	0.12	0.12	0.12
	0.47	0.46	0.46	0.48	0.47	0.47	0.46	0.47	0.55	0.50	0.49	0.54	
	0.66	0.66	0.65	0.64	0.64	0.62	0.65	0.63	0.73	0.68	0.66	0.72	
	0.02	0.02	0.02	0.02	0.02	0.02	0.02	0.02	0.02	0.02	0.02	0.02	0.02
	5.30	5.32	5.37	5.42	5.53	5.55	5.59	5.63	5.79	5.86	5.90	5.93	
		4.28	4.29	4.28	4.28	4.28	4.28	4.27	4.28	4.28	4.28	4.28	4.29
	0.05	0.08	0.07	0.09	0.10	0.11	0.12	0.13	0.15	0.14	0.15	0.15	0.16
	0.26	0.36	0.41	0.42	0.47	0.50	0.56	0.59	0.65	0.69	0.74	0.79	
	0.07	0.08	0.07	0.07	0.05	0.05	0.05	0.05	0.06	0.05	0.07	0.05	
6	0.15	0.14	0.15	0.14	0.14	0.13	0.14	0.12	0.14	0.14	0.14	0.14	0.12
	0.48	0.53	0.46	0.45	0.50	0.48	0.47	0.46	0.49	0.47	0.50	0.48	
	0.69	0.74	0.68	0.66	0.68	0.65	0.65	0.63	0.69	0.65	0.70	0.66	
	0.02	0.02	0.01	0.02	0.02	0.02	0.02	0.02	0.02	0.02	0.02	0.01	0.02
	5.33	5.49	5.45	5.47	5.54	5.56	5.62	5.64	5.78	5.78	5.88	5.91	
		4.27	4.27	4.28	4.28	4.28	4.28	4.28	4.29	4.27	4.27	4.27	4.27
	0.07	0.08	0.09	0.10	0.11	0.12	0.13	0.14	0.15	0.16	0.19	0.19	
	0.32	0.37	0.42	0.47	0.50	0.56	0.59	0.65	0.69	0.74	0.78	0.93	
	0.05	0.04	0.05	0.05	0.06	0.07	0.05	0.05	0.05	0.07	0.06	0.07	
7	0.14	0.12	0.13	0.14	0.13	0.14	0.14	0.13	0.12	0.13	0.15	0.12	
	0.47	0.48	0.49	0.45	0.48	0.46	0.47	0.48	0.47	0.50	0.47	0.47	
	0.67	0.65	0.66	0.64	0.66	0.66	0.66	0.66	0.65	0.69	0.68	0.66	
	0.02	0.01	0.02	0.01	0.02	0.02	0.02	0.01	0.02	0.02	0.02	0.02	0.02
	5.36	5.37	5.46	5.50	5.57	5.63	5.67	5.73	5.79	5.88	5.94	6.08	
		4.25	4.25	4.25	4.25	4.25	4.25	4.25	4.25	4.25	4.27	4.25	4.25
	0.06	0.09	0.10	0.11	0.12	0.13	0.14	0.15	0.16	0.17	0.17	0.19	
	0.41	0.42	0.47	0.50	0.61	0.59	0.44	0.69	0.73	0.79	0.83	0.87	
	0.05	0.04	0.06	0.04	0.07	0.06	0.05	0.04	0.04	0.08	0.04	0.06	
8	0.15	0.16	0.15	0.15	0.16	0.15	0.15	0.15	0.15	0.15	0.14	0.15	
	0.49	0.48	0.45	0.54	0.46	0.47	0.49	0.49	0.48	0.48	0.49	0.47	
	0.69	0.67	0.66	0.73	0.68	0.68	0.69	0.68	0.65	0.71	0.69	0.68	
	0.01	0.02	0.02	0.01	0.02	0.02	0.01	0.01	0.02	0.01	0.02	0.02	0.02
	5.43	5.44	5.49	5.60	5.69	5.66	5.73	5.78	5.85	5.93	5.97	6.00	
		4.25	4.26	4.25	4.26	4.26	4.27	4.28	4.29	4.27	4.27	4.27	4.27
	0.10	0.11	0.16	0.12	0.13	0.14	0.15	0.14	0.17	0.18	0.19	0.20	
	0.42	0.46	0.50	0.55	0.59	0.65	0.69	0.74	0.73	0.84	0.87	0.92	
	0.09	0.07	0.04	0.03	0.06	0.03	0.05	0.04	0.03	0.02	0.06	0.05	
9	0.16	0.15	0.16	0.15	0.16	0.15	0.15	0.14	0.15	0.14	0.15	0.15	
	0.47	0.47	0.46	0.47	0.46	0.47	0.46	0.48	0.50	0.49	0.48	0.50	
	0.70	0.68	0.66	0.65	0.67	0.65	0.66	0.66	0.67	0.65	0.69	0.70	
	0.02	0.02	0.01	0.02	0.02	0.02	0.02	0.01	0.02	0.02	0.01	0.02	
	5.46	5.53	5.53	5.55	5.56	5.73	5.80	5.85	5.91	5.95	6.03	6.10	

IV	12	13	14	15	16	17	18	19	20	21	22
IV	12	13	14	15	16	17	18	19	20	21	22
	4.30	4.38	4.31	4.31	4.30	4.30	4.31	4.31	4.31	4.31	4.31
	0.18	0.17	0.18	0.19	0.18	0.22	0.21	0.21	0.22	0.23	0.27
	0.19	0.84	0.88	0.93	0.97	1.02	1.06	1.11	1.15	1.20	1.24
	0.05	0.05	0.05	0.06	0.05	0.05	0.05	0.05	0.05	0.05	0.06
5	0.12	0.11	0.11	0.10	0.11	0.12	0.12	0.12	0.14	0.15	0.13
	0.48	0.49	0.48	0.47	0.51	0.57	0.49	0.49	0.42	0.49	0.50
	0.65	0.65	0.64	0.63	0.67	0.75	0.66	0.67	0.67	0.67	0.69
	0.01	0.02	0.03	0.02	0.02	0.02	0.02	0.02	0.02	0.02	0.02
	5.94	5.97	6.02	6.06	6.15	6.21	6.26	6.32	6.37	6.42	6.57
	4.29	4.71	4.25	4.28	4.23	4.28	4.28	4.28	4.28	4.28	4.28
	0.19	0.20	0.22	0.20	0.21	0.22	0.23	0.23	0.23	0.24	0.24
	0.98	0.97	0.96	0.97	1.01	1.06	1.10	1.15	1.19	1.19	1.19
	0.04	0.05	0.05	0.04	0.05	0.03	0.06	0.07	0.04	0.04	0.04
6	0.13	0.15	0.14	0.15	0.14	0.14	0.14	0.14	0.14	0.14	0.15
	0.47	0.51	0.48	0.47	0.55	0.46	0.56	0.49	0.56	0.56	0.56
	0.64	0.70	0.67	0.66	0.74	0.62	0.76	0.71	0.70	0.70	0.70
	0.01	0.01	0.02	0.02	0.02	0.02	0.02	0.02	0.02	0.02	0.02
	6.00	6.08	6.15	6.12	6.25	6.22	6.38	6.37	6.41	6.41	6.41
	4.27	4.27	4.27	4.28	4.27	4.25	4.25	4.25	4.25	4.25	4.25
	0.18	0.19	0.12	0.12	0.22	0.22	0.25	0.25	0.24	0.24	0.24
	0.87	0.93	0.98	1.01	1.06	1.10	1.14	1.14	1.14	1.14	1.14
	0.07	0.08	0.03	0.05	0.08	0.08	0.04	0.05	0.05	0.05	0.05
7	0.13	0.13	0.12	0.14	0.13	0.16	0.16	0.15	0.15	0.15	0.15
	0.56	0.49	0.49	0.49	0.49	0.48	0.47	0.55	0.55	0.55	0.55
	0.76	0.47	0.45	0.67	0.49	0.67	0.67	0.75	0.75	0.75	0.75
	0.02	0.02	0.02	0.01	0.01	0.01	0.02	0.01	0.01	0.01	0.01
	6.10	6.08	6.11	6.19	6.24	6.29	6.39	6.39	6.39	6.39	6.39
	4.25	4.25	4.25	4.24	4.25						
	0.20	0.20	0.22	0.22	0.22						
	0.91	0.96	1.00	1.04	1.10						
	0.04	0.05	0.07	0.05	0.04						
8	0.15	0.14	0.15	0.15	0.15						
	0.49	0.47	0.47	0.52	0.50						
	0.69	0.66	0.72	0.72	0.67						
	0.02	0.02	0.01	0.02	0.02						
	6.06	6.09	6.20	6.23	6.27						
	4.27	4.27	4.26								
	0.20	0.22	0.23								
	0.95	1.01	1.05								
	0.07	0.34	0.34								
9	0.15	0.13	0.15								
	0.48	0.51	0.47								
	0.71	0.65	0.68								
	0.01	0.01	0.01								
	6.16	6.20	6.23								

IV	N	0	1	2	3	4	5	6	7	8	9	10	11
	N												
		4.28	4.27	4.27	4.27	4.28	4.27	4.28	4.27	4.28	4.28	4.28	4.28
	0.09	0.12	0.12	0.13	0.14	0.15	0.15	0.15	0.17	0.18	0.19	0.20	0.22
	0.47	0.50	0.43	0.39	0.45	0.49	0.74	0.87	0.84	0.87	0.93	0.97	
	0.64	0.62	0.66	0.65	0.65	0.66	0.65	0.61	0.61	0.63	0.66	0.64	0.64
10	0.15	0.16	0.15	0.15	0.15	0.16	0.15	0.15	0.14	0.14	0.13	0.15	
	0.48	0.48	0.47	0.48	0.52	0.49	0.43	0.45	0.49	0.46	0.49	0.49	0.50
	0.67	0.63	0.69	0.62	0.72	0.71	0.66	0.62	0.61	0.65	0.68	0.69	
	0.02	0.02	0.02	0.02	0.02	0.01	0.02	0.01	0.01	0.02	0.02	0.02	0.01
	5.52	5.55	5.72	5.65	5.61	5.83	5.65	5.94	5.87	6.01	6.10	6.16	
		4.27	4.27	4.27	4.27	4.27	4.27	4.27	4.25	4.28	4.27	4.25	
	0.11	0.13	0.17	0.14	0.15	0.18	0.15	0.17	0.18	0.19	0.20	0.21	
	0.20	0.33	0.55	0.45	0.45	0.74	0.73	0.72	0.77	0.92	0.93	0.97	
	0.37	0.45	0.52	0.54	0.35	0.34	0.34	0.35	0.35	0.39	0.46	0.35	
11	0.14	0.15	0.12	0.12	0.14	0.14	0.14	0.13	0.13	0.15	0.13	0.14	
	0.47	0.49	0.44	0.47	0.51	0.49	0.47	0.49	0.49	0.49	0.57	0.50	
	0.69	0.66	0.66	0.54	0.72	0.67	0.66	0.68	0.68	0.65	0.75	0.69	
	0.02	0.01	0.01	0.02	0.02	0.01	0.01	0.01	0.02	0.02	0.02	0.02	
	5.50	5.93	5.55	5.71	5.35	5.84	5.70	5.77	5.72	5.17	6.17	6.15	
		4.25	4.15	4.25	4.25	4.25	4.24	4.25	4.25	4.25	4.25	4.25	
	0.11	0.13	0.16	0.16	0.16	0.16	0.16	0.17	0.20	0.20	0.20	0.20	
	0.35	0.53	0.64	0.70	0.74	0.78	0.83	0.86	0.86	0.92			
	0.66	0.64	0.65	0.65	0.65	0.65	0.65	0.65	0.65	0.65	0.65	0.65	
12	0.15	0.15	0.14	0.13	0.15	0.15	0.18	0.15	0.15	0.15	0.16		
	0.46	0.49	0.52	0.51	0.46	0.46	0.47	0.50	0.45	0.45	0.45		
	0.67	0.68	0.72	0.72	0.38	0.65	0.74	0.63	0.63	0.63	0.63		
	0.02	0.01	0.01	0.01	0.02	0.02	0.01	0.01	0.01	0.01	0.12		
	5.50	5.71	5.78	5.81	5.62	5.37	5.60	5.99	5.17				
		4.25	4.25	4.25	4.25	4.25	4.25	4.25	4.25	4.25	4.25	4.25	
	0.12	0.13	0.15	0.18	0.17	0.17	0.18	0.19					
	0.48	0.65	0.70	0.74	0.73	0.84	0.87						
	0.65	0.63	0.66	0.64	0.66	0.66	0.65						
13	0.14	0.15	0.15	0.15	0.15	0.15	0.15	0.14					
	0.49	0.50	0.48	0.47	0.47	0.47	0.46	0.49					
	0.69	0.68	0.67	0.67	0.69	0.69	0.68	0.69					
	0.01	0.02	0.02	0.01	0.02	0.02	0.01	0.01					
	5.73	5.72	5.81	5.82	5.85	5.83	5.72						
		4.25	4.25	4.24	4.25	4.25	4.25	4.25	4.25	4.25	4.25	4.25	
	0.13	0.14	0.16	0.17	0.18	0.18	0.18	0.19					
	0.66	0.69	0.72	0.78	0.83								
	0.04	0.07	0.07	0.05	0.05								
14	0.16	0.15	0.14	0.14	0.15	0.15	0.15						
	0.47	0.46	0.47	0.46	0.46	0.46	0.46						
	0.67	0.67	0.67	0.72	0.70								
	0.01	0.02	0.02	0.02	0.02	0.01							
	5.72	5.73	5.84	5.87	5.87	5.87	5.72						

A-42			
#	0	1	2
1	4.25		
2	0.15		
3	0.77		
4	3.06		
5	0.14		
6	0.47		
7	0.67		
8	0.01		
9	5.31		

A-42			
#	0	1	2
1	4.25	4.25	4.25
2	0.14	0.15	0.17
3	0.72	0.74	0.87
4	0.64	0.63	0.76
5	0.15	0.15	0.14
6	0.47	0.45	0.47
7	1.67	1.73	1.67
8	0.02	0.01	0.02
9	5.24	5.65	5.93

A-42			
#	0	1	2
1	4.25		
2	0.15		
3	0.77		
4	3.06		
5	0.14		
6	0.47		
7	0.67		
8	0.01		
9	5.31		

### III.2 GRAFICAS DE LOS ALGORITMOS DE DECODIFICACION.

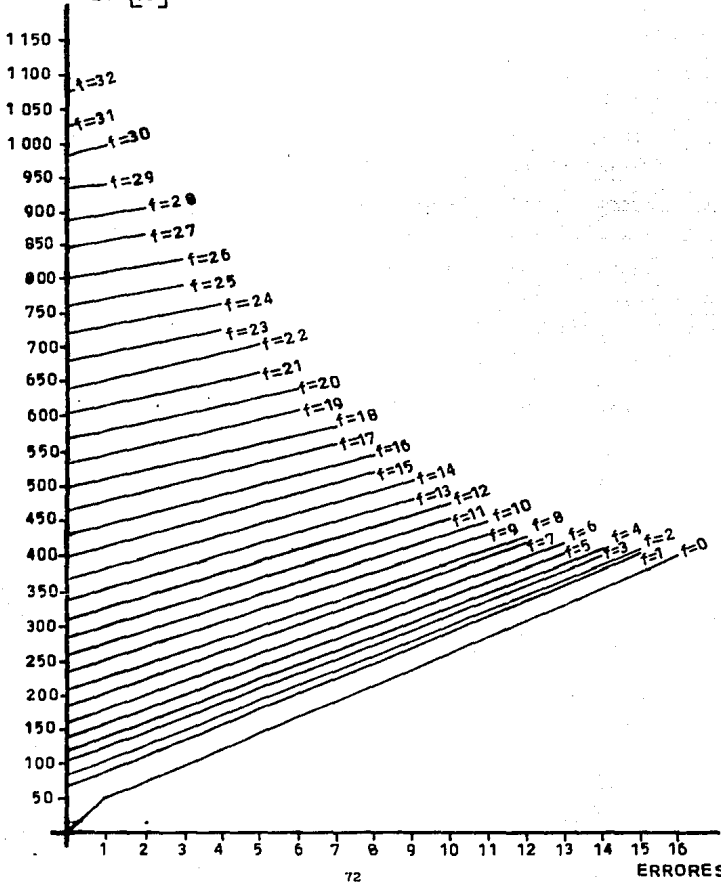
Para facilitar la comparación de las tablas anteriores, estas se vaciaron en gráficas obteniéndose así las curvas del comportamiento de los tres algoritmos y para diferenciar las que corresponden a un algoritmo u otro, enseguida del título de la gráfica se encuentra entre paréntesis la inicial del nombre del algoritmo al cual pertenece dicha gráfica, es decir:

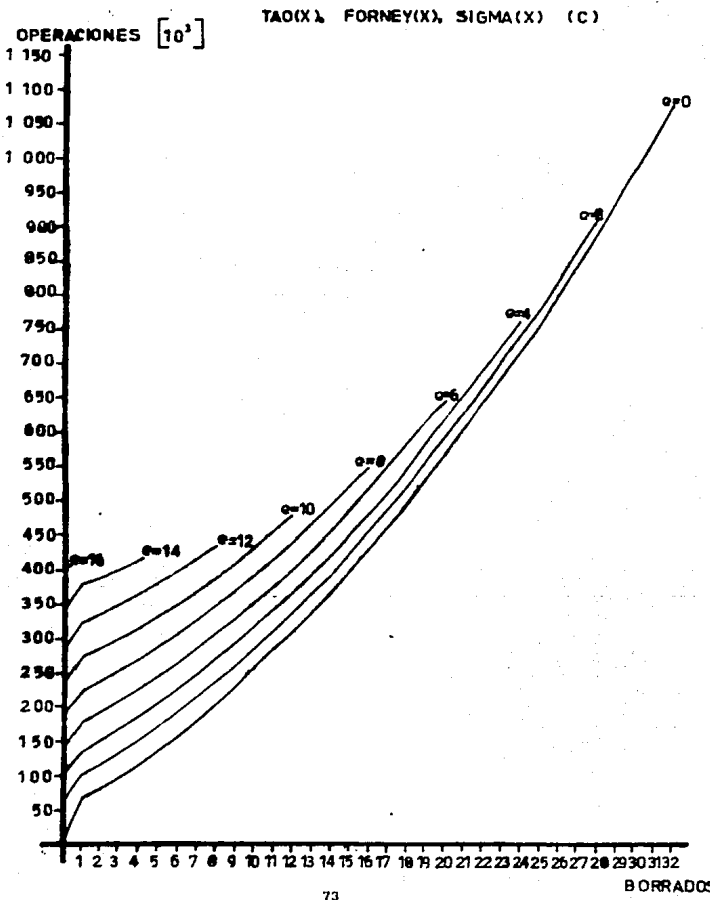
- (C) Algoritmo Clásico.
- (M) Algoritmo Modificado.
- (F) Algoritmo en el dominio de la Frecuencia.

Cabe señalar que algunos puntos de las gráficas no coinciden con los valores que se encuentran en las tablas, esto se debe a que las curvas fueron suavizadas para evitar los quiebres que se presentaron. Tales quiebres se deben a que en la simulación se utilizaron funciones random, lo que provocó en algunos casos una variación en el número de operaciones, haciendo que ciertos puntos salieran del comportamiento observado en la curva.

Enseguida se presentan las gráficas de los tres algoritmos y también las correspondientes al algoritmo en el dominio de la frecuencia en segundos.

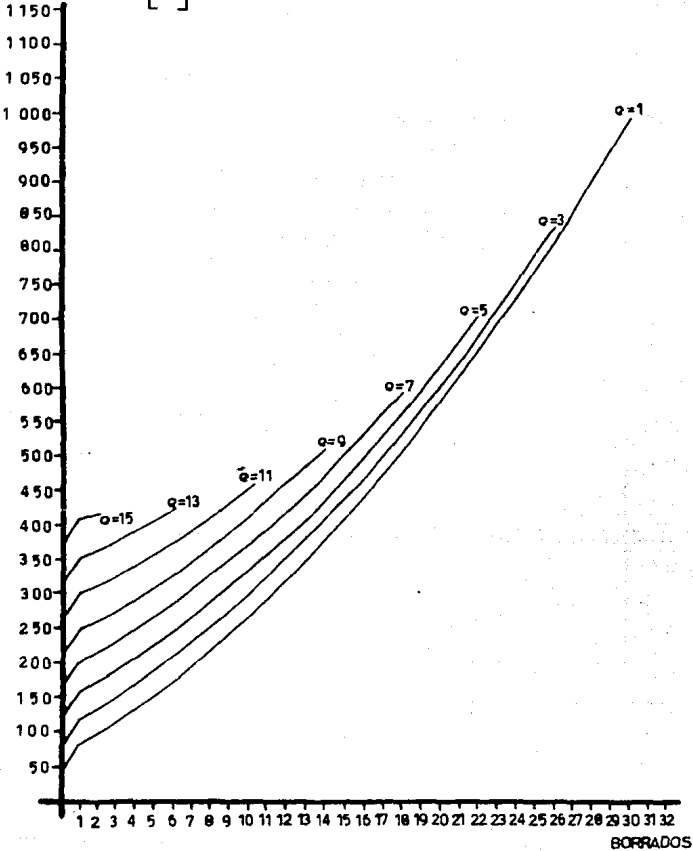
OPERACIONES  $[10^3]$  TAO(X), FORNEY(X), SIGMA(X) (C)





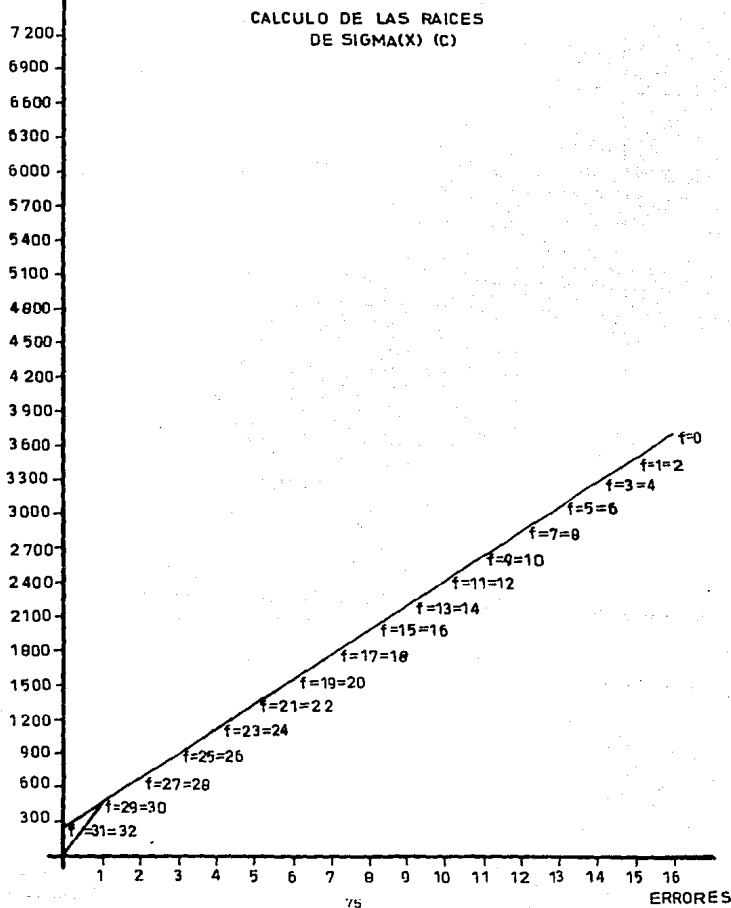
TAO(X), FORNEY(X), SIGMA(X) (C)

OPERACIONES  $[10^3]$

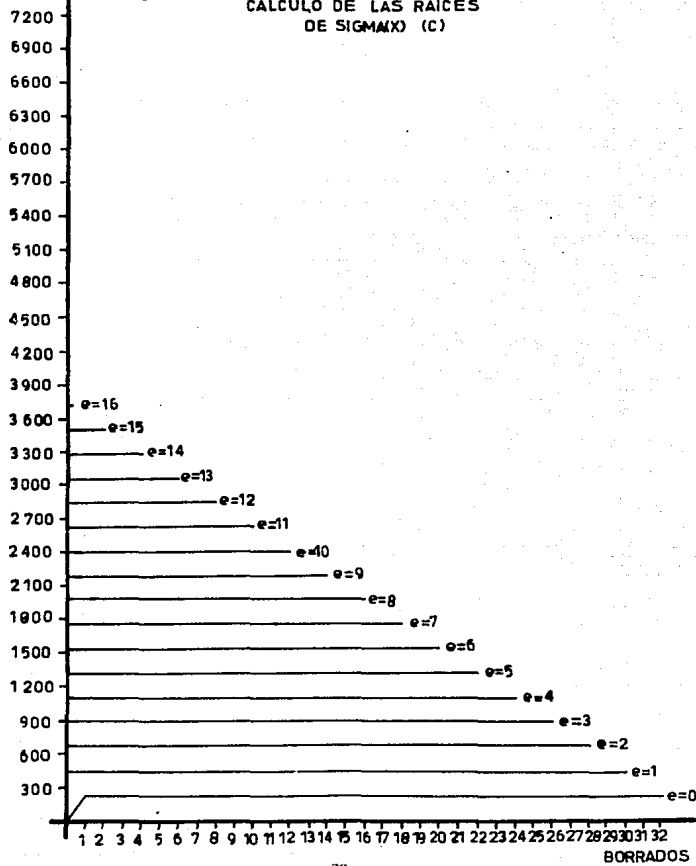


OPERACIONES  $[10^3]$

CALCULO DE LAS RAICES  
DE SIGMA(X) (C)



OPERACIONES  $[10^3]$



OPERACIONES  $[10^3]$

VALOR DE LAS ERRATAS (C)

1 800  
1 710  
1 620  
1 530  
1 440  
1 350  
1 260  
1 170  
1 080  
990  
900  
810  
720  
630  
540  
450  
360  
270  
180  
90

1 2 3 4 5 6 7 8 9 10 11 12 13 14 15 16

ERRORES

f=32  
f=30  
f=28  
f=26  
f=24  
f=22  
f=20  
f=18  
f=16  
f=14  
f=12  
f=10  
f=8  
f=6  
f=4  
f=2  
f=0

OPERACIONES [ $10^3$ ]

VALOR DE LAS ERRATAS(C)

1800  
1710  
1620  
1530  
1440  
1350  
1260  
1170  
1080  
990  
900  
810  
720  
630  
540  
450  
360  
270  
180  
90

1 2 3 4 5 6 7 8 9 10 11 12 13 14 15 16

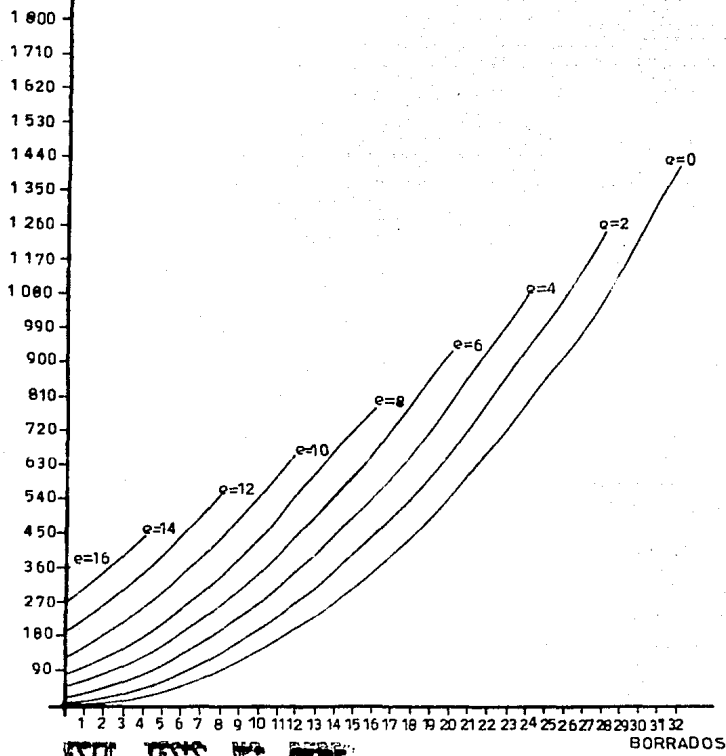
78

ERRORES

$f=31$   
 $f=29$   
 $f=27$   
 $f=25$   
 $f=23$   
 $f=21$   
 $f=19$   
 $f=17$   
 $f=15$   
 $f=13$   
 $f=11$   
 $f=9$   
 $f=7$   
 $f=5$   
 $f=3$   
 $f=1$

OPERACIONES [ $10^3$ ]

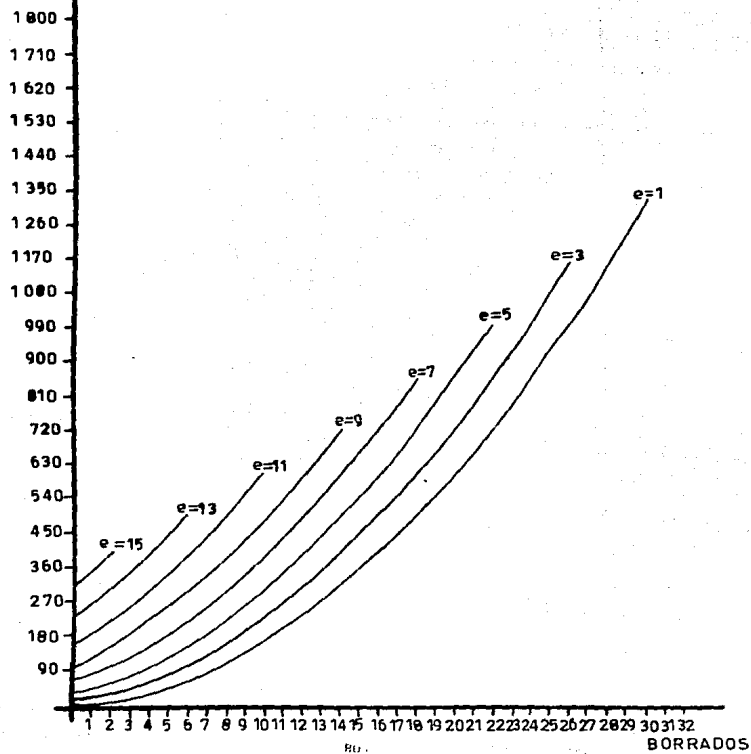
VALOR DE LAS ERRATAS (C)



ESTA TESIS NO SE PUEDE  
SALIR DE LA BIBLIOTECA

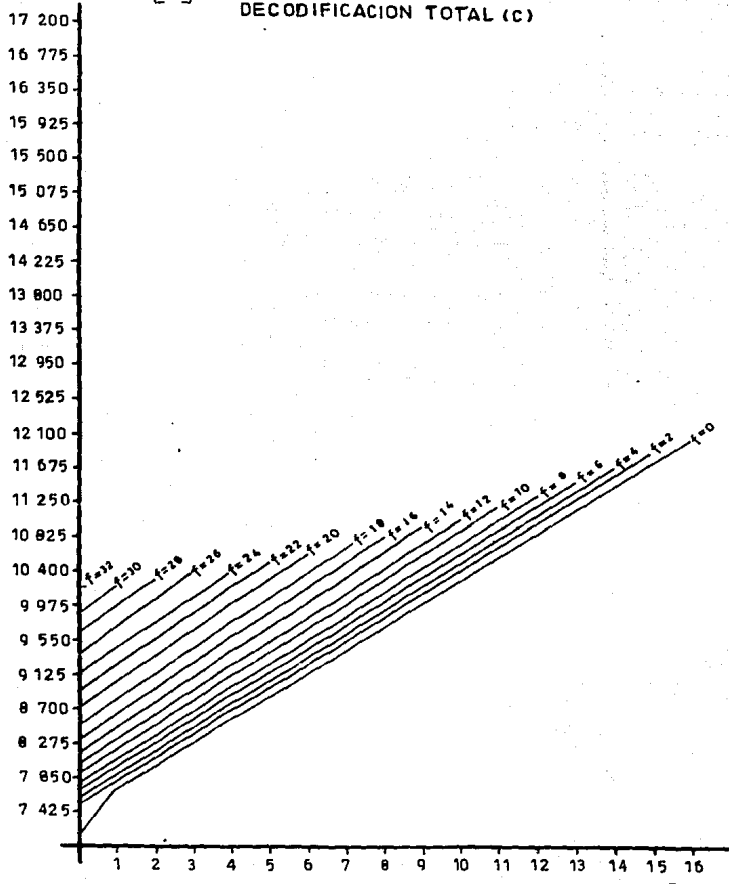
OPERACIONES [10<sup>3</sup>]

VALOR DE LAS ERRATAS (C)



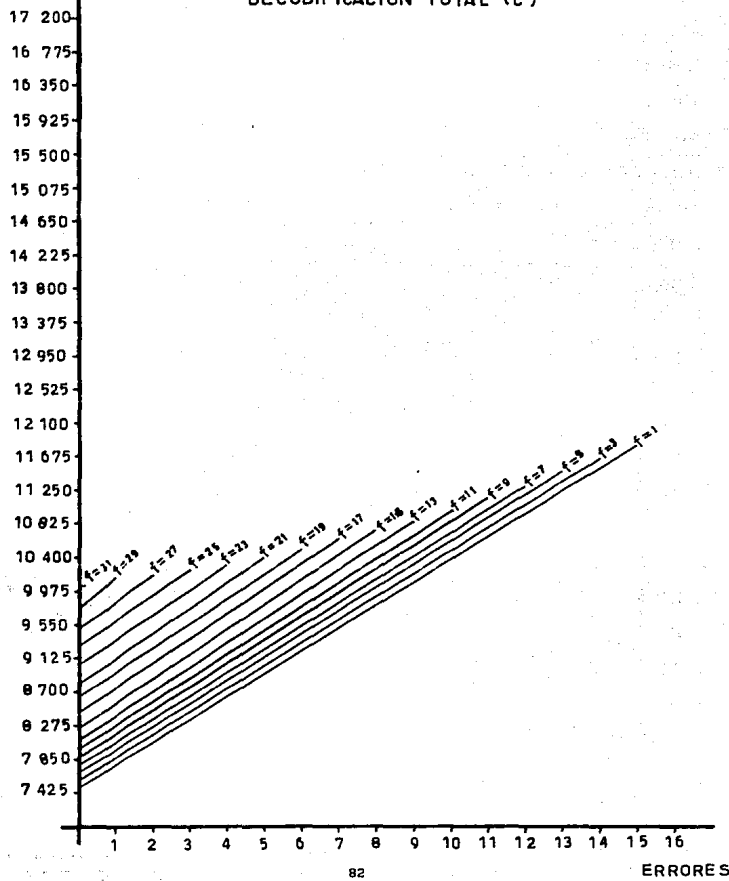
OPERACIONES  $[10^3]$

DECODIFICACION TOTAL (C)



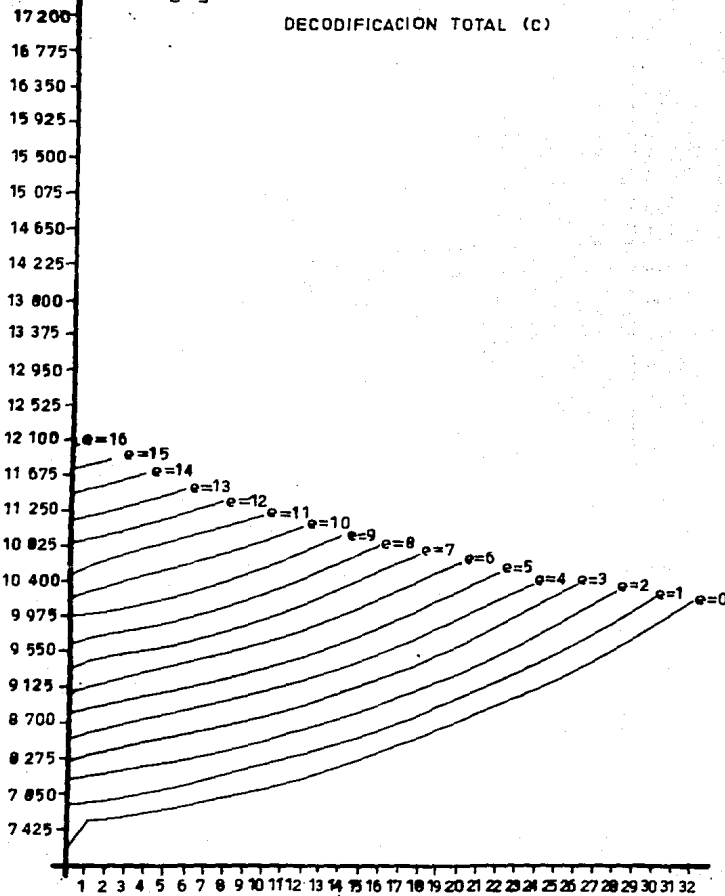
OPERACIONES [10]

DECODIFICACION TOTAL (C)



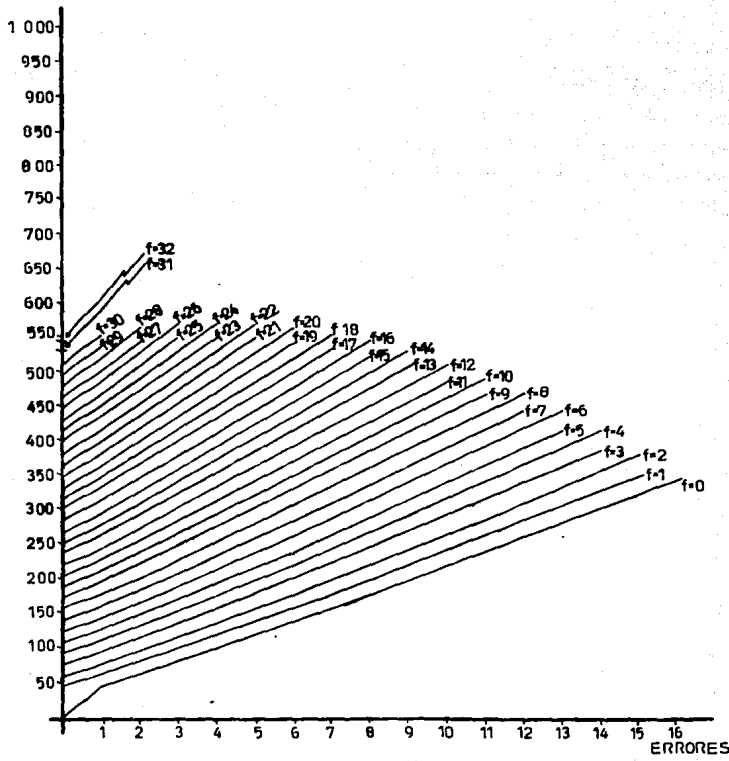
OPERACIONES [10<sup>3</sup>]

DECODIFICACION TOTAL (C)



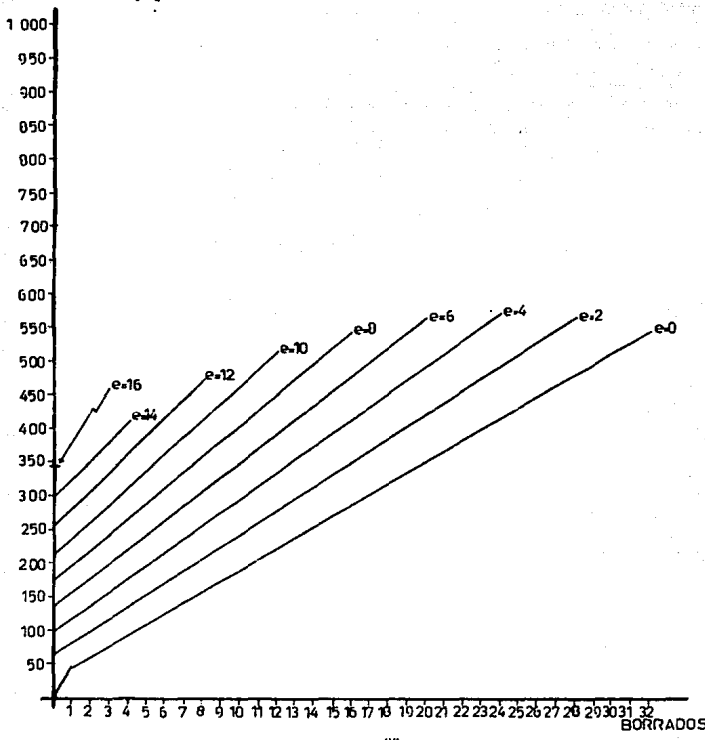
CALCULO DE P(X) (M)

OPERACIONES [10<sup>3</sup>]

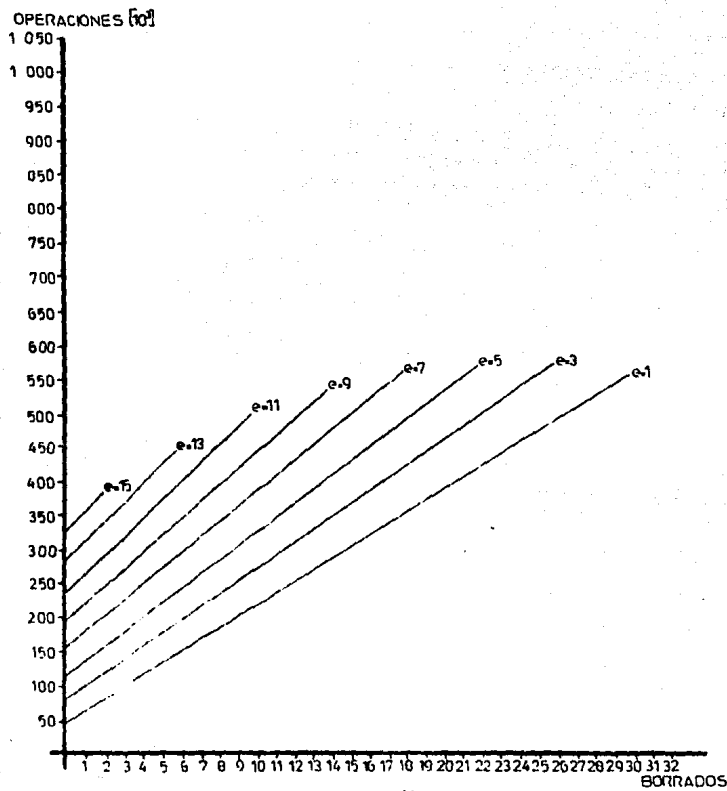


CALCULO DE P(X) (M)

OPERACIONES [10<sup>3</sup>]

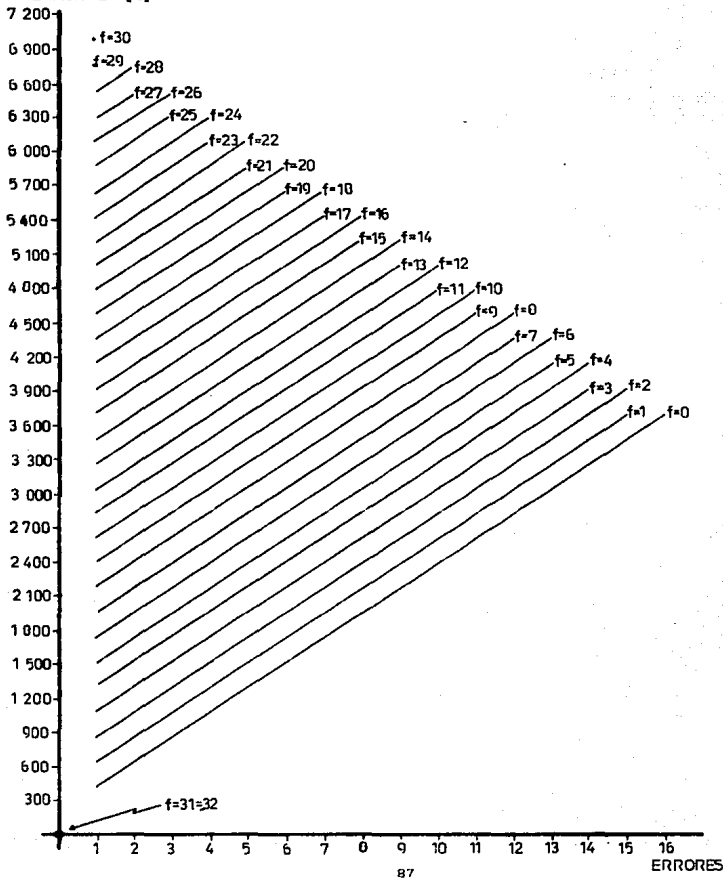


CALCULO DE P(X) (M)

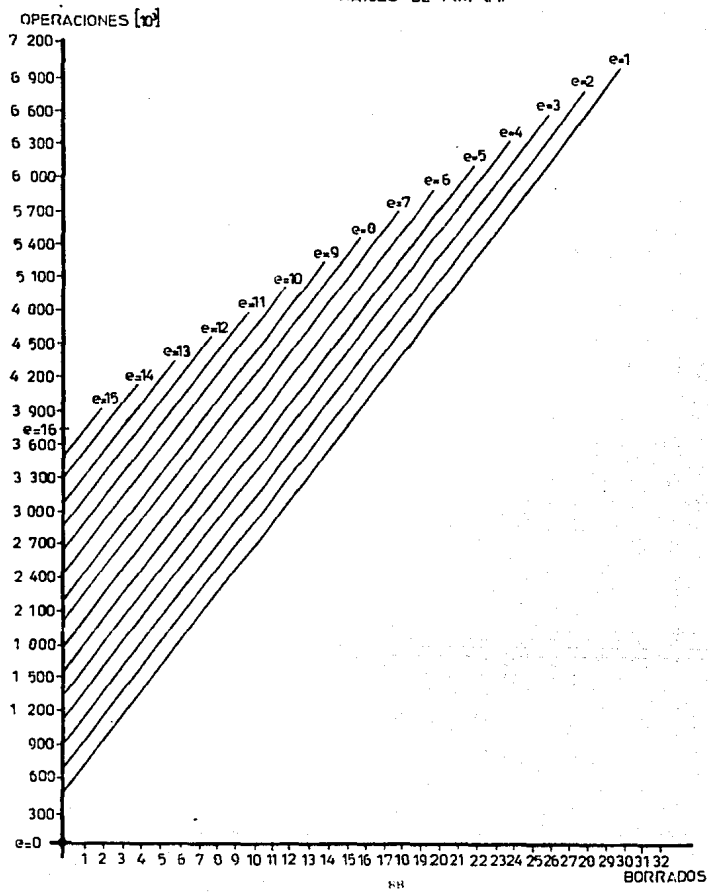


RAICES DE P(X) (M)

OPERACIONES [10]

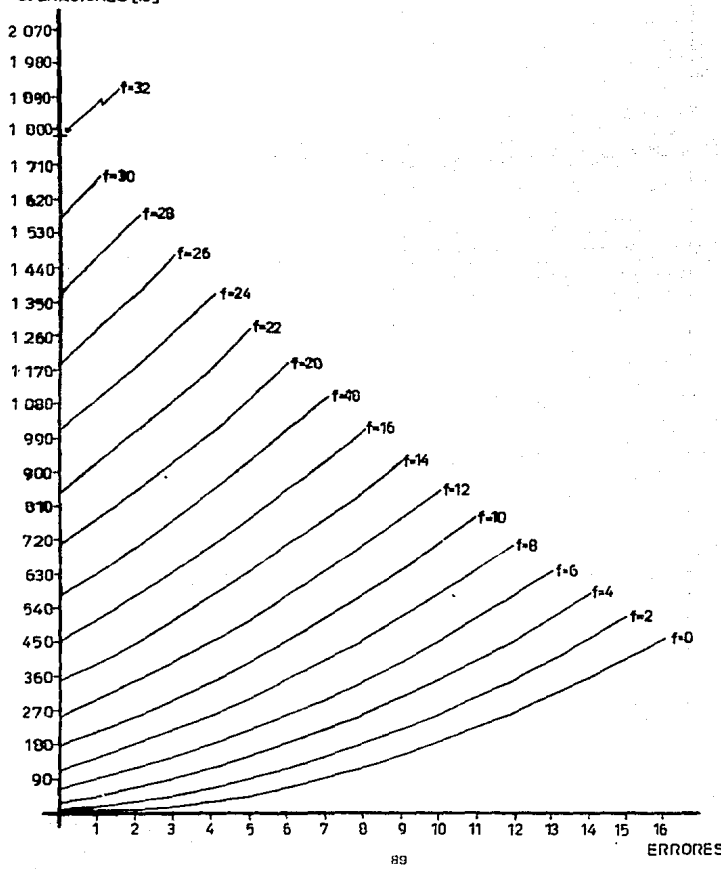


### RAICES DE P(X) (M)



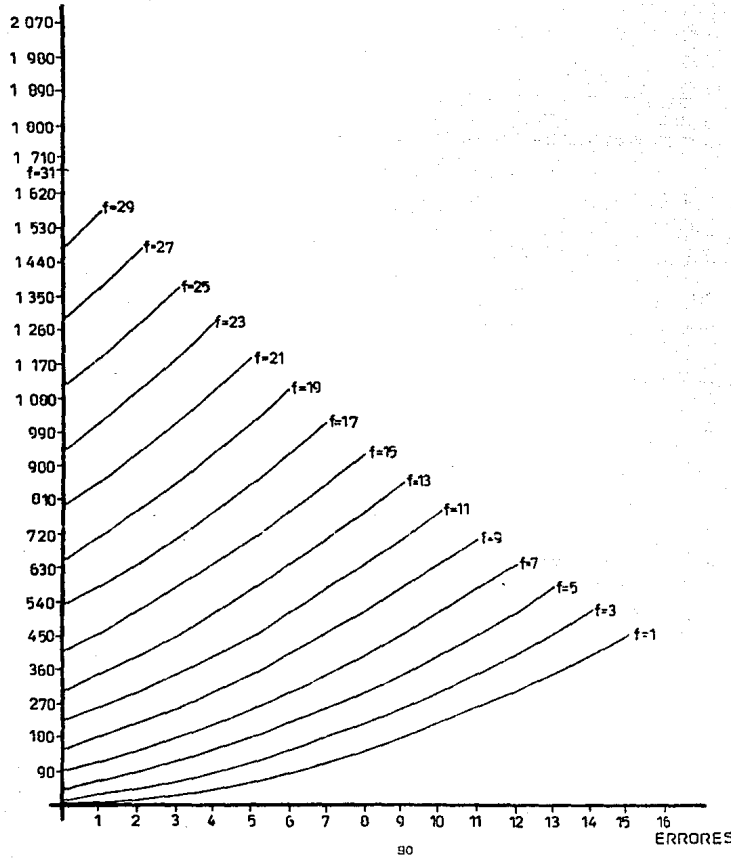
### VALOR DE LAS ERRATAS (M)

OPERACIONES [10<sup>5</sup>]



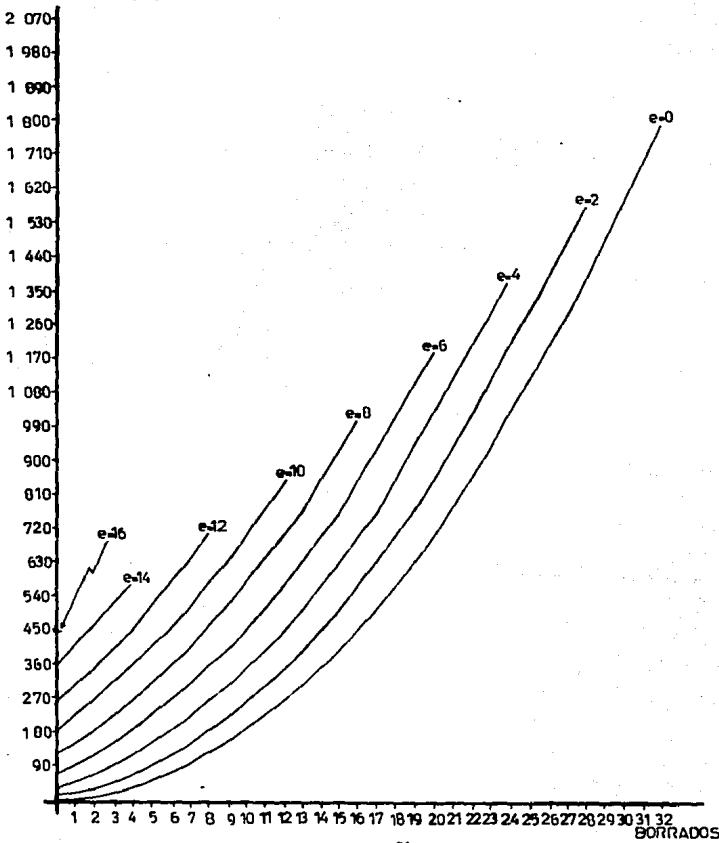
### VALOR DE LAS ERRATAS (M)

OPERACIONES [10]



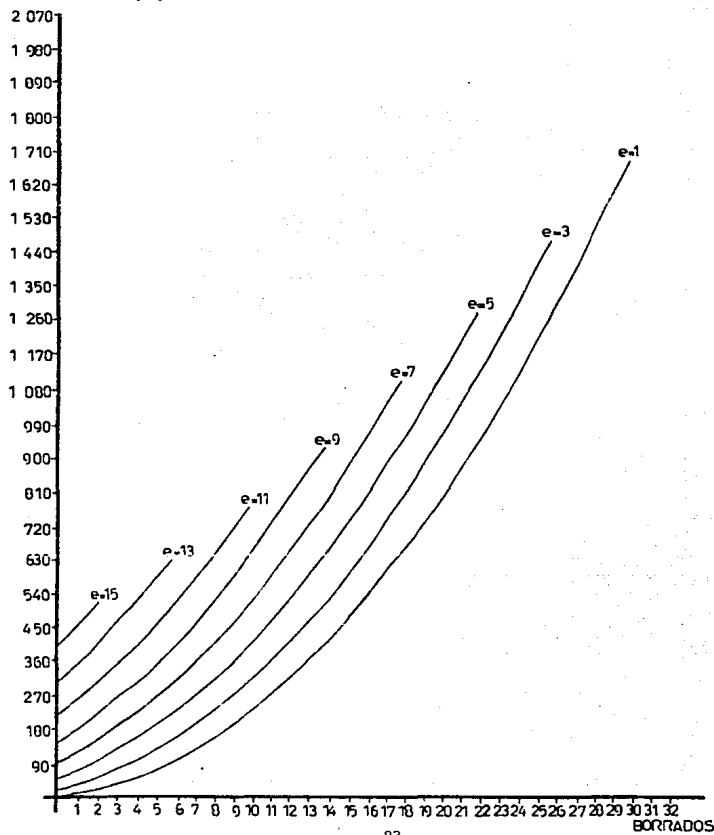
VALOR DE LAS ERRATAS (M)

OPERACIONES [10<sup>3</sup>]

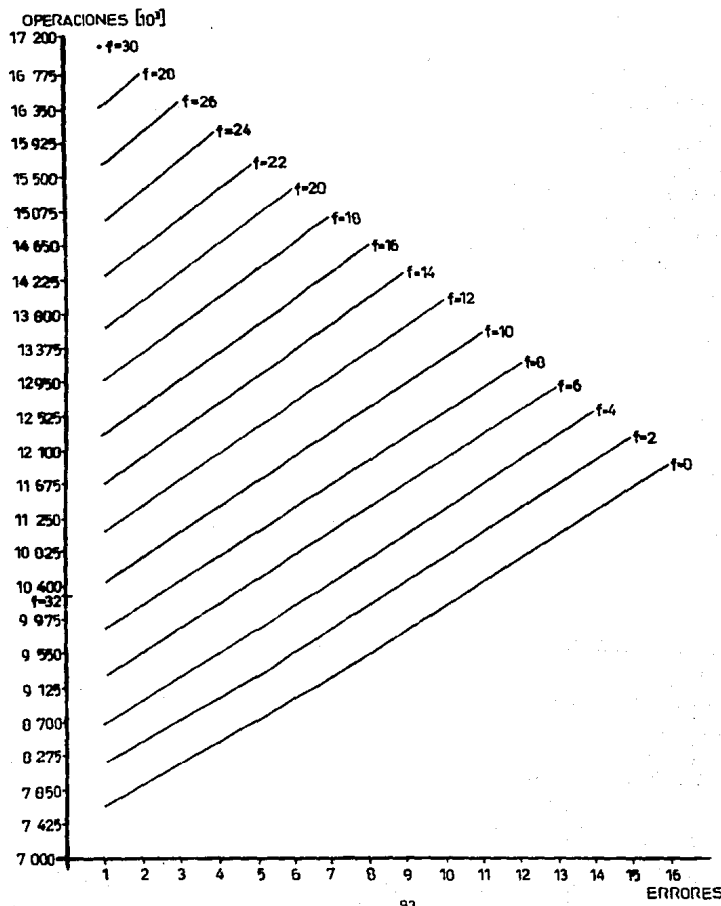


VALOR DE LAS ERRATAS (M)

OPERACIONES ( $10^3$ )

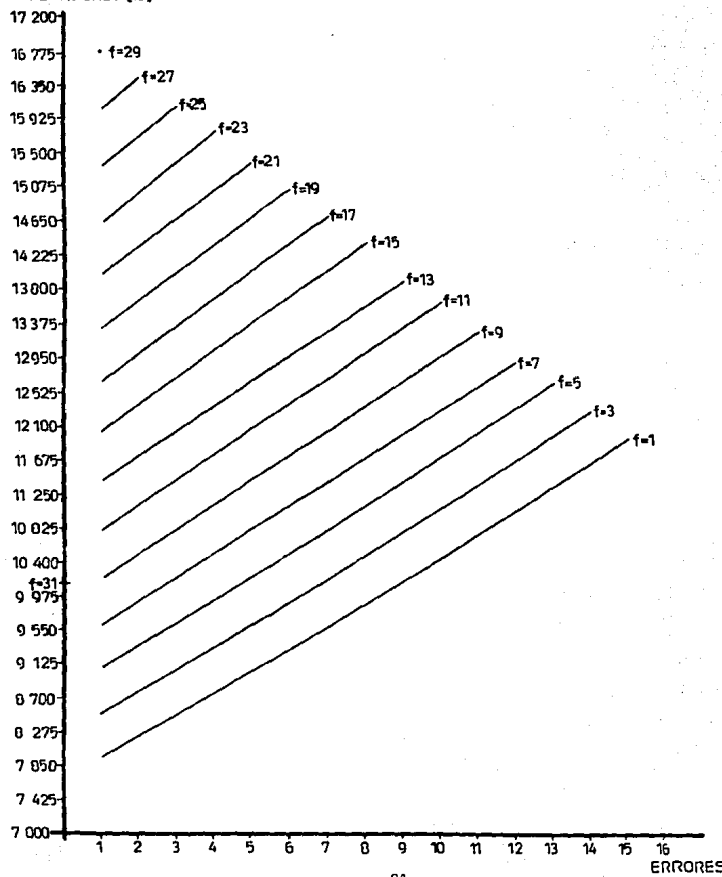


DECODIFICACION TOTAL (M)

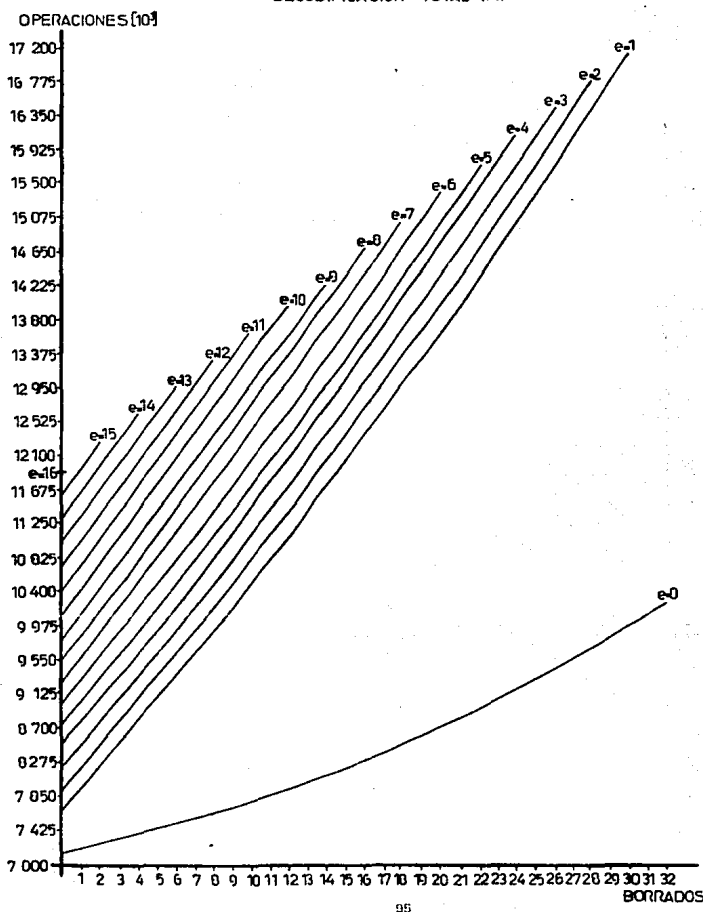


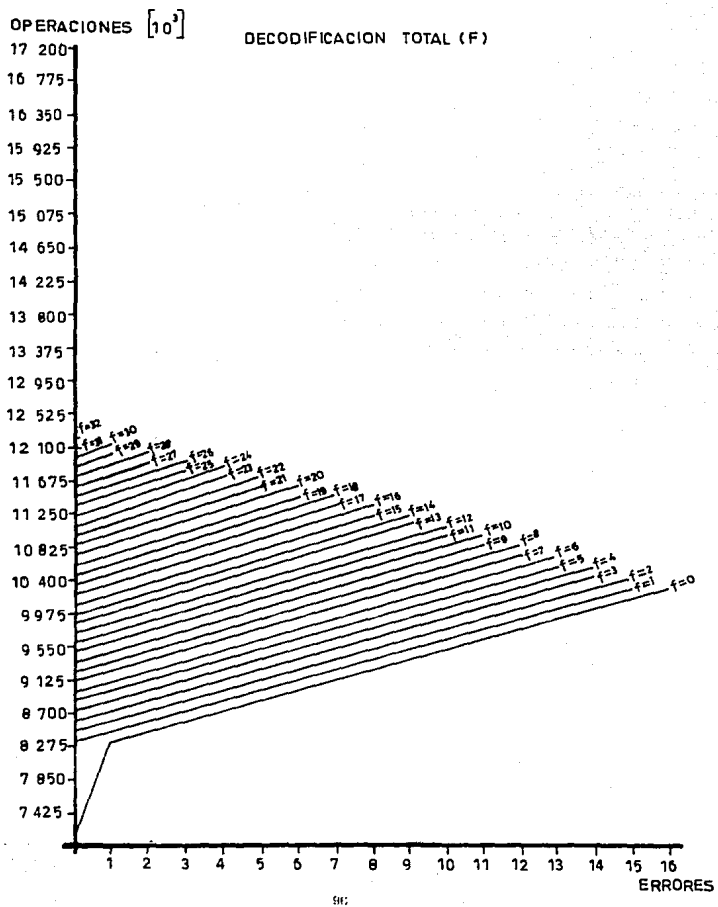
**DECODIFICACION TOTAL (M)**

**OPERACIONES [10<sup>3</sup>]**



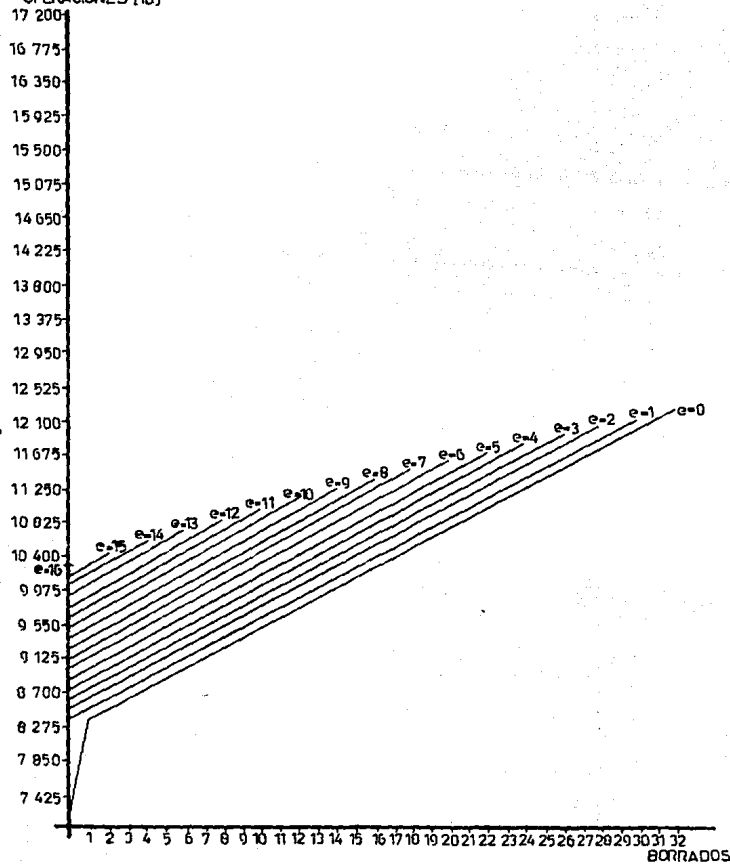
### DECODIFICACION TOTAL (M)



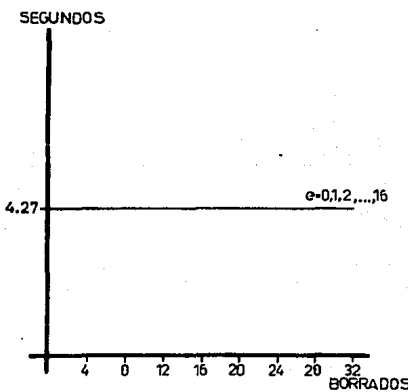
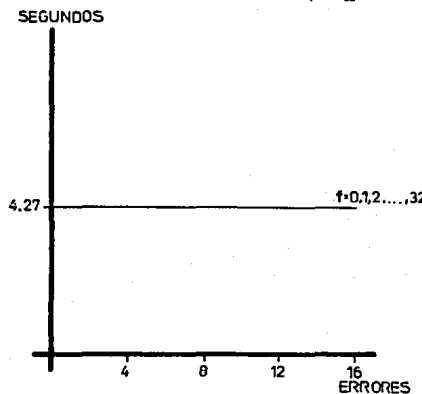


### **DECODIFICACION TOTAL (F)**

OPERACIONES [10]

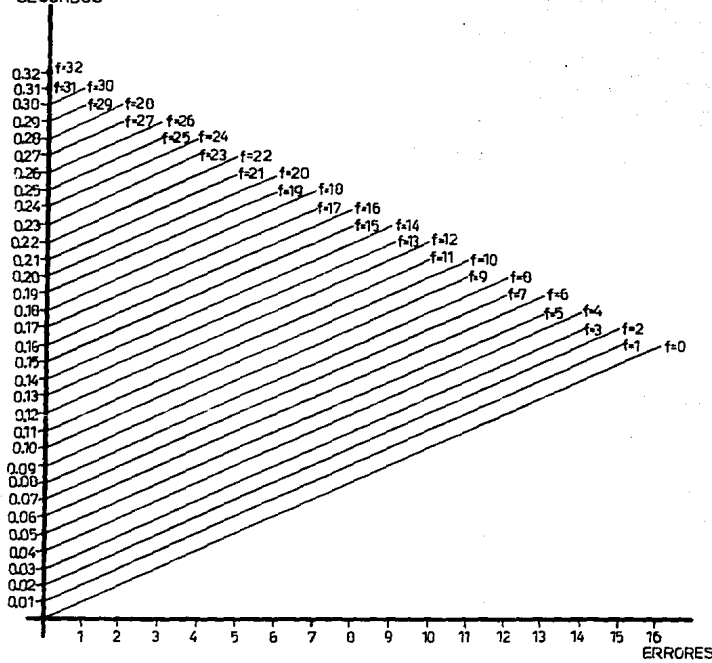


SINDROMES  $s_1, \dots, s_{22}$

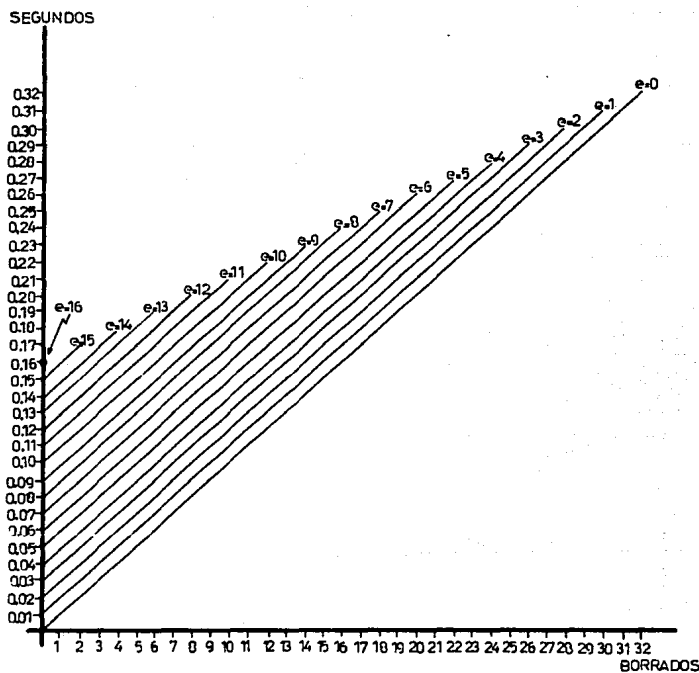


## CALCULO DE P(X)

SEGUNDOS

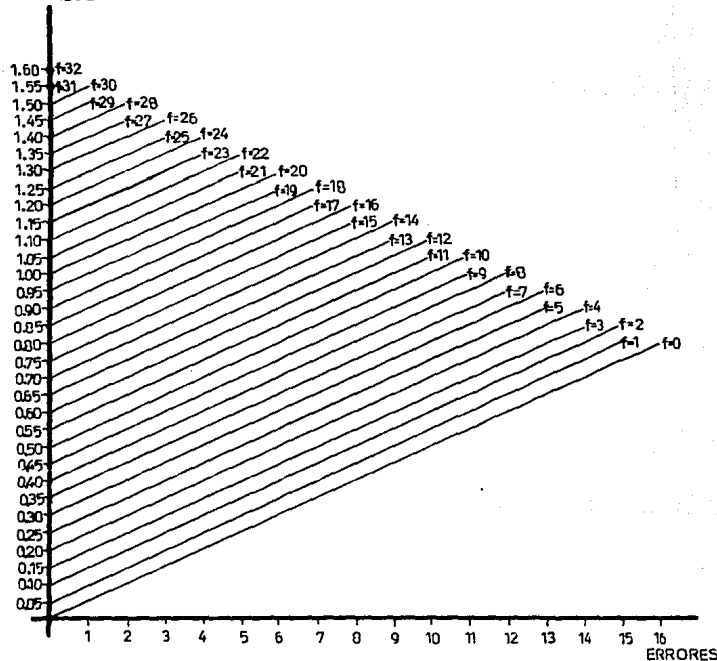


### CALCULO DE P(X)

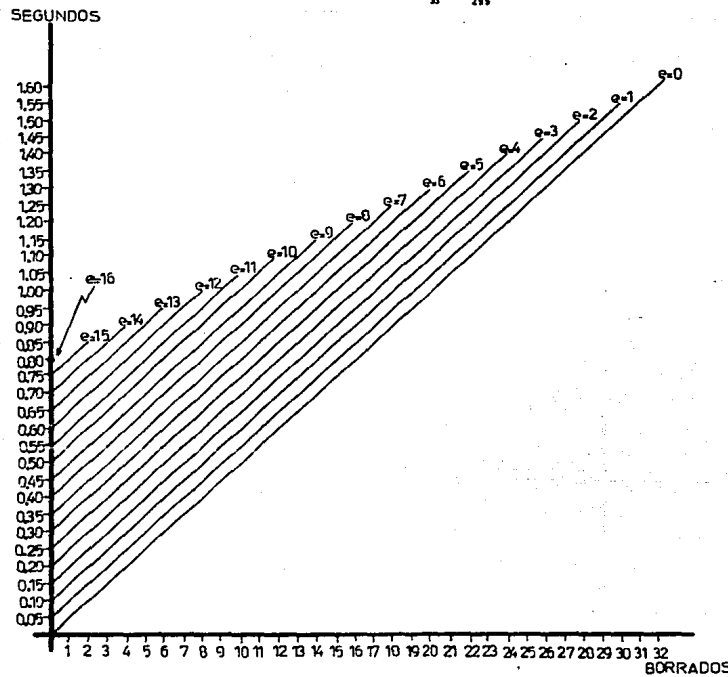


SINDROMES  $S_{32}, \dots, S_{255}$

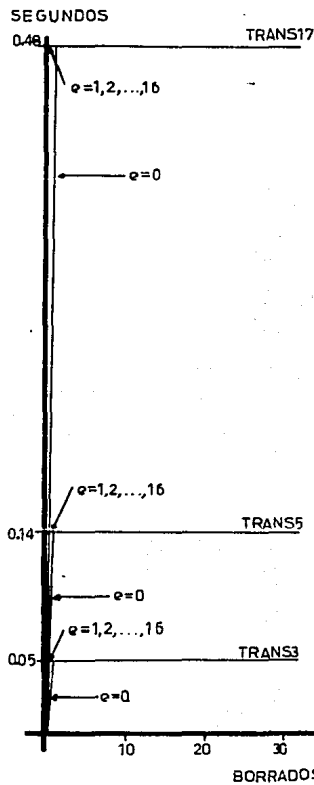
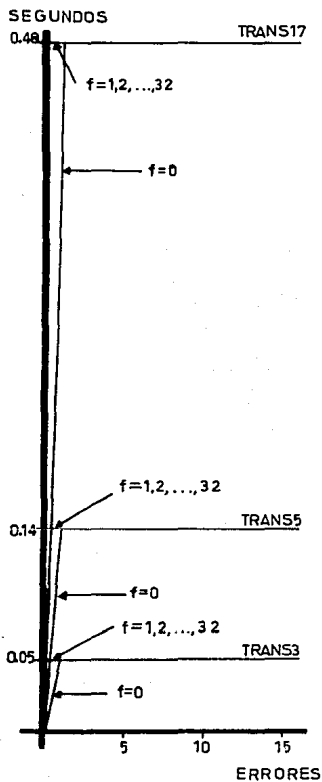
SEGUNDOS



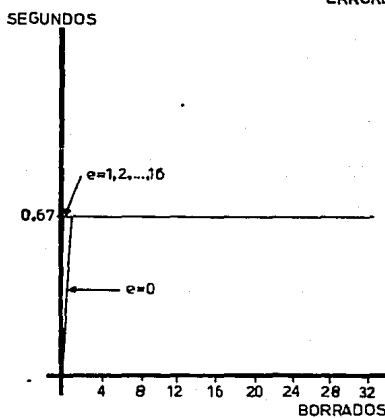
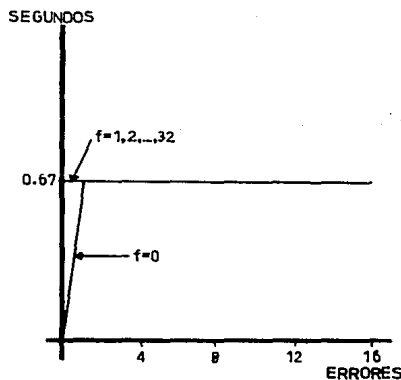
SINDROMES  $S_1 \dots S_{255}$



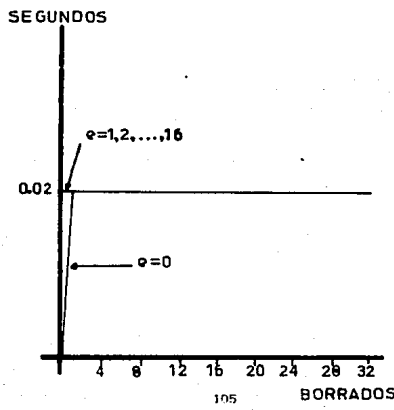
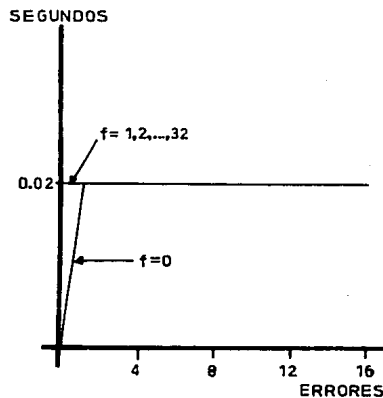
**TRANSFORMADA DE 3.5 Y 17 PUNTOS**

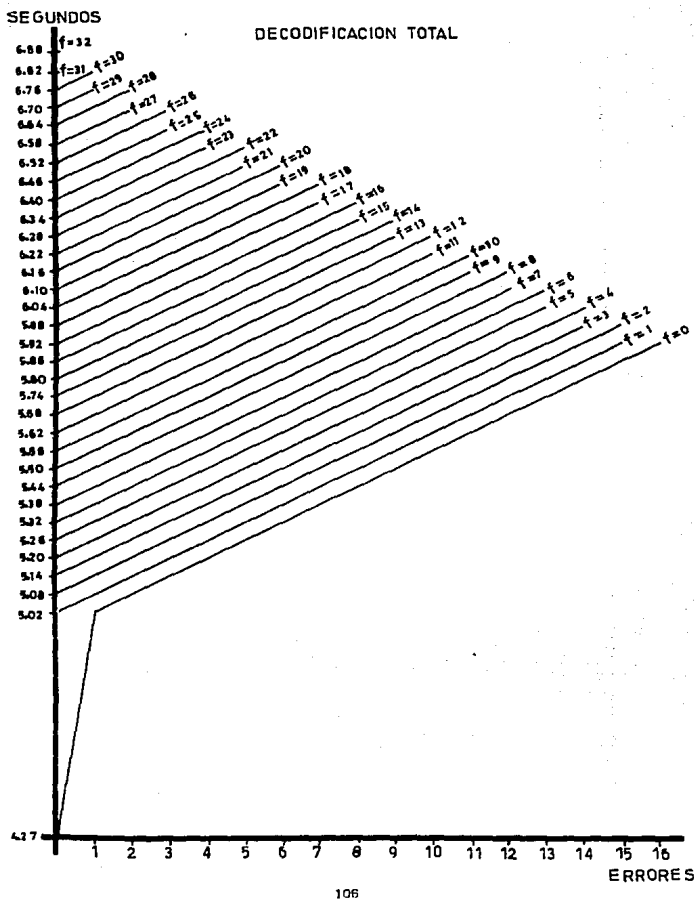


## CALCULO DEL VALOR DE LAS ERRATAS

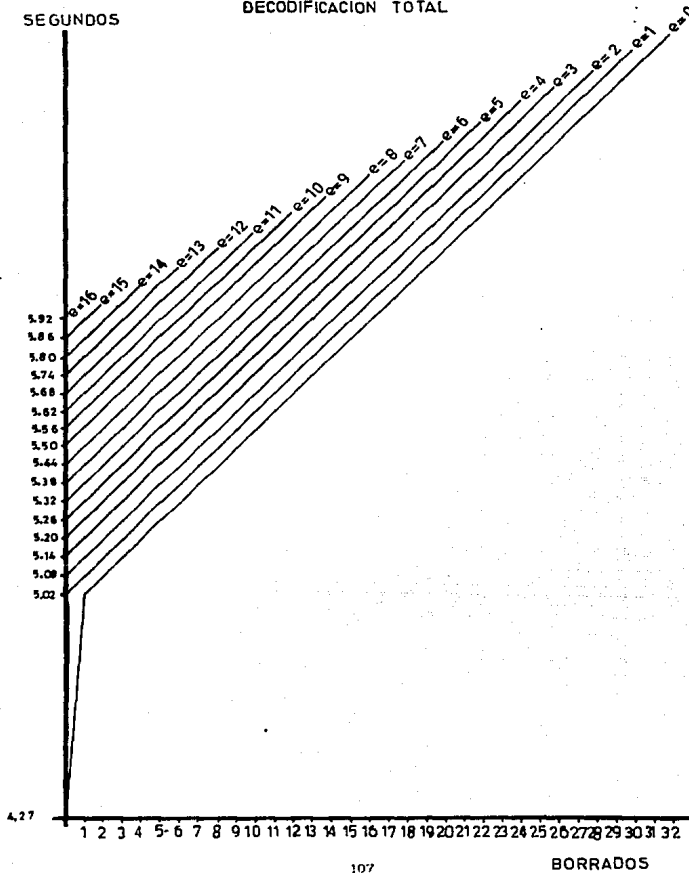


### CORRECCION DE LA PALABRA RECIBIDA





### DECODIFICACION TOTAL



### III.3 CONCLUSIONES DE LA SIMULACION.

Como se puede observar en las tablas y gráficas anteriores, el algoritmo que trabaja en el dominio de la frecuencia tiende a ser el más rápido de los tres conforme aumenta el número de errores y para una distancia d tal que:

$$d_{\min} \geq d \geq 2e + f + 1$$

donde  $d_{\min} = 33$  y para el número de errores y borrados siguientes:

e	f
6	0,1,2
7	0,1,2,3
8	0,1,2,3,4,5
9	0,1,2,3,4,5,6,7
10	0,1,2,3,4,5,6,7,8,9,10,11,12
11	0,1,2,3,4,5,6,7,8,9,10
12	0,1,2,3,4,5,6,7,8
13	0,1,2,3,4,5,6
14	0,1,2,3,4
15	0,1,2
16	0

Para un número de errores menor a 6 los algoritmos clásico y modificado son un poco más rápidos que el algoritmo que trabaja en el dominio de la frecuencia pero la diferencia no es muy significativa. Debido a esto y a que en la realidad se presentan más errores que borrados se seleccionará como el mejor algoritmo de decodificación el que trabaja en el dominio de la frecuencia.

De aquí en adelante nos basaremos en este algoritmo.

CAPITULO IV. DISEÑO DE UN DECODIFICADOR PARA CODIGOS REED-SOLOMON  
CON ARQUITECTURA EN PARALELO.

En este capítulo se presenta el diseño de un decodificador de códigos R.S. con arquitectura en paralelo, para el algoritmo de decodificación que trabaja en el dominio de la frecuencia, ya que resultó ser el más rápido de los tres algoritmos estudiados. Este diseño comprende todas las etapas de la decodificación, no así el diseño del controlador de este proceso, pues no era uno de los objetivos del trabajo.

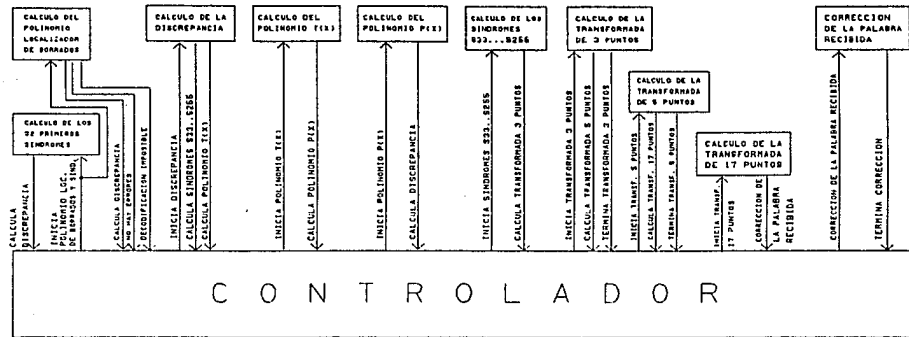
La parallelización del algoritmo se realizó en base al análisis hecho primero a nivel de grandes bloques, o etapas del algoritmo de decodificación y luego a nivel de subtareas dentro de cada una de esas etapas, obteniéndose así la parallelización completa del algoritmo a nivel de subtareas y a nivel de grandes bloques. Esta parallelización se hizo buscando que el decodificador fuera lo más rápido posible.

IV.1 DIAGRAMA DE BLOQUES DEL PROCESO DE DECODIFICACION.

En primer lugar se muestra un diagrama de bloques en el que se ve cómo se va ejecutando el algoritmo de decodificación por etapas y las señales de control de cada una de ellas.

En este diagrama los bloques que se encuentran uno sobre otro indican que estas etapas inician su ejecución paralelamente. Los bloques que se encuentran uno sobre otro, pero con un desfase entre sí, indican que cierto tiempo después de iniciar la ejecución de la etapa del primer bloque

comienza la ejecución de la etapa del siguiente bloque, o sea que, algunas de las etapas del algoritmo pueden comenzar con resultados parciales de una etapa anterior. Los bloques que se encuentran uno después de otro indican que estas etapas se ejecutan en ese orden secuencialmente. El diagrama es el siguiente.



CONTROLADOR

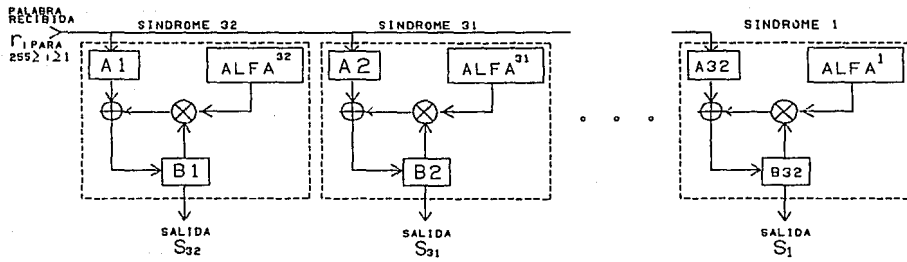
DIAGRAMA DE BLOQUES DEL PROCESO DE DECODIFICACION

#### IV.2 DIAGRAMAS DE FLUJO DE LOS CIRCUITOS DEL DECODIFICADOR DISEÑADO.

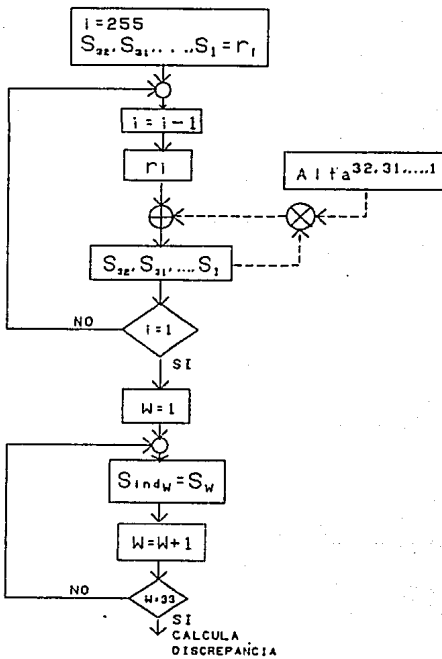
En segundo lugar, como material de refuerzo en la comprensión del funcionamiento de cada circuito, se realizó un diagrama de flujo para cada uno de ellos en donde se muestra qué cálculos realizan y también se puede observar qué se hace en paralelo y qué secuencialmente.

Además, los nombres de las variables usadas en estos diagramas corresponden a los nombres de las variables utilizadas en la simulación de los algoritmos. Los diagramas son los siguientes.

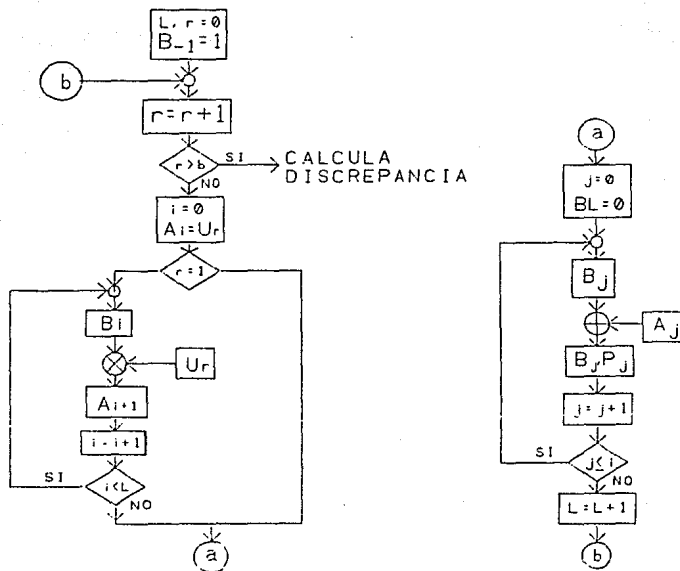
CALCULO DE LOS  
32 PRIMEROS  
SINDROMES



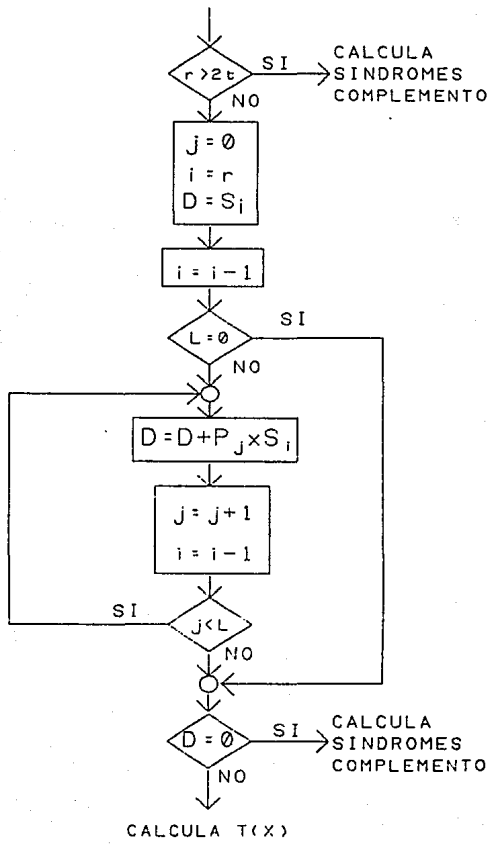
CALCULO DE LOS 32  
PRIMEROS SINDROMES  
Y SU ALMACENAMIENTO  
EN EL VECTOR Sind



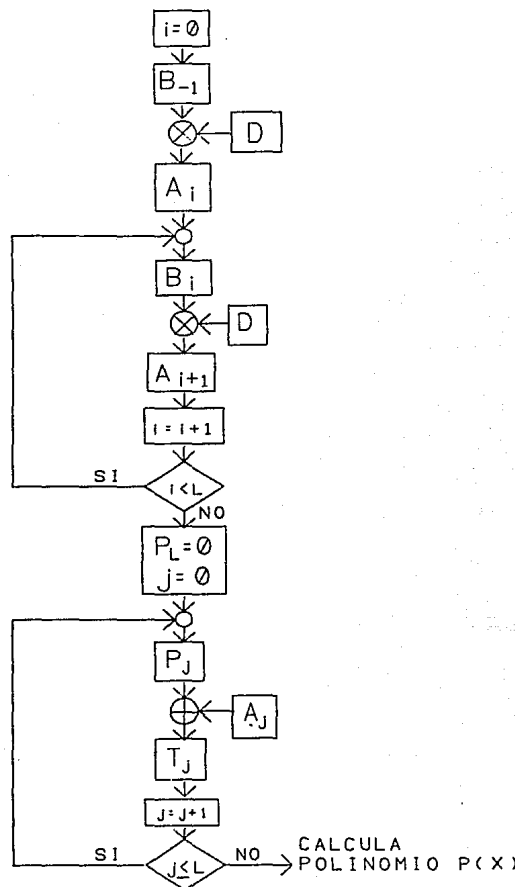
CALCULO DEL POLINOMIO  
LOCALIZADOR DE BORRADOS



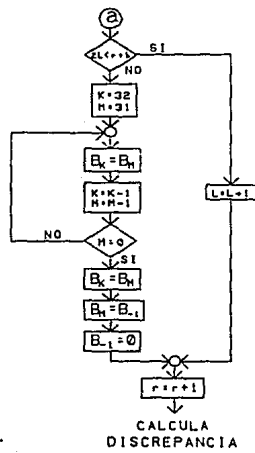
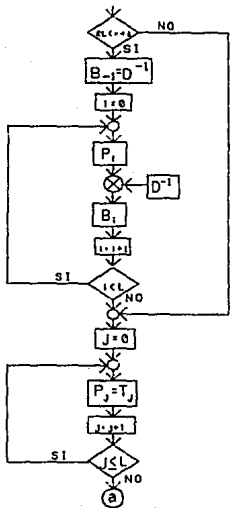
# CALCULO DE LA DISCREPANCIA



# CALCULO DEL POLINOMIO T(X)

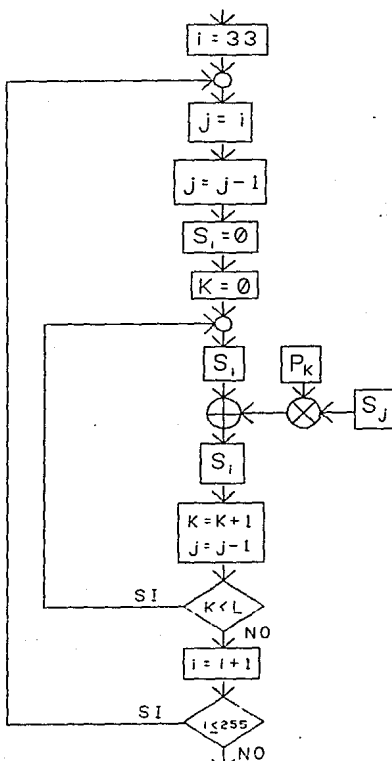


## CALCULO DEL POLINOMIO P(X)



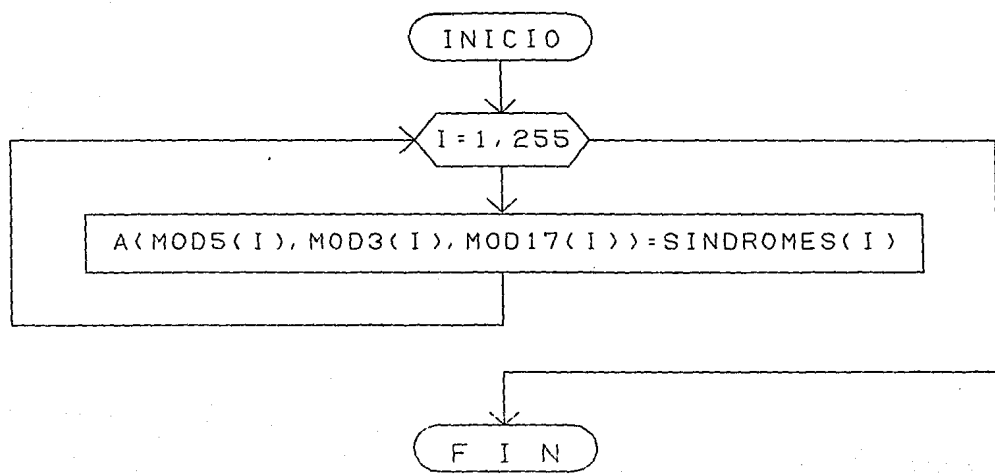
# CALCULO DE LOS SINDROMES

$S_{33} \dots S_{255}$

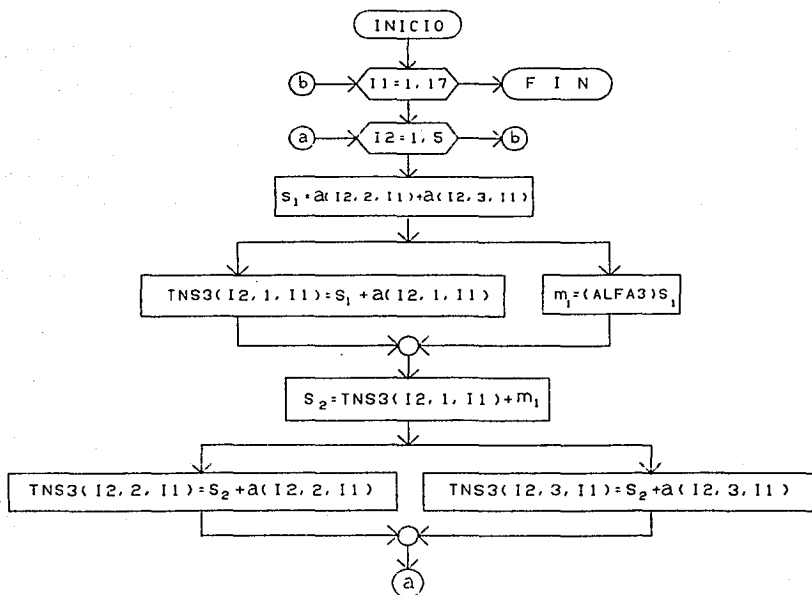


# PASO DEL VECTOR DE SINDROMES A MATRIZ DE TRES DIMENSIONES

120

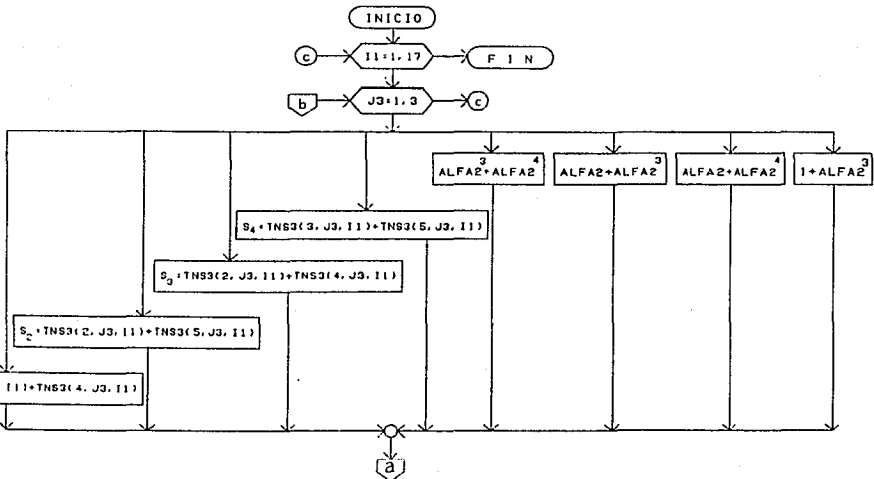


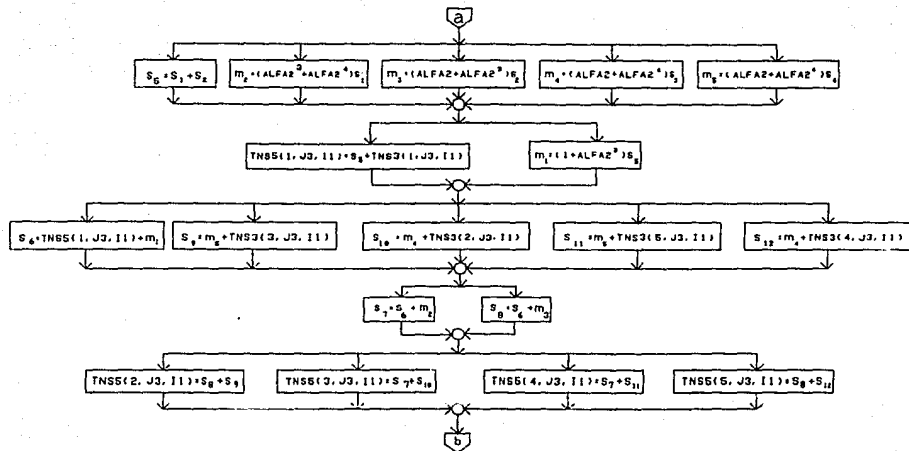
# CALCULO DE LA TRANSFORMADA DE 3 PUNTOS



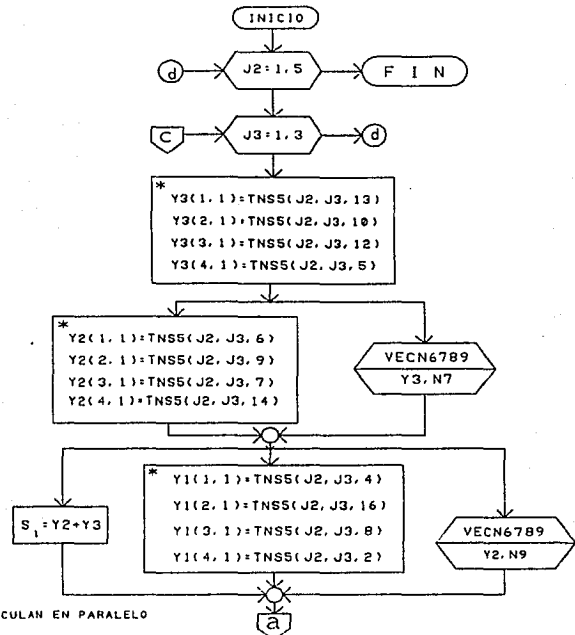
CALCULO DE LA TRANSFORMADA DE 5 PUNTOS

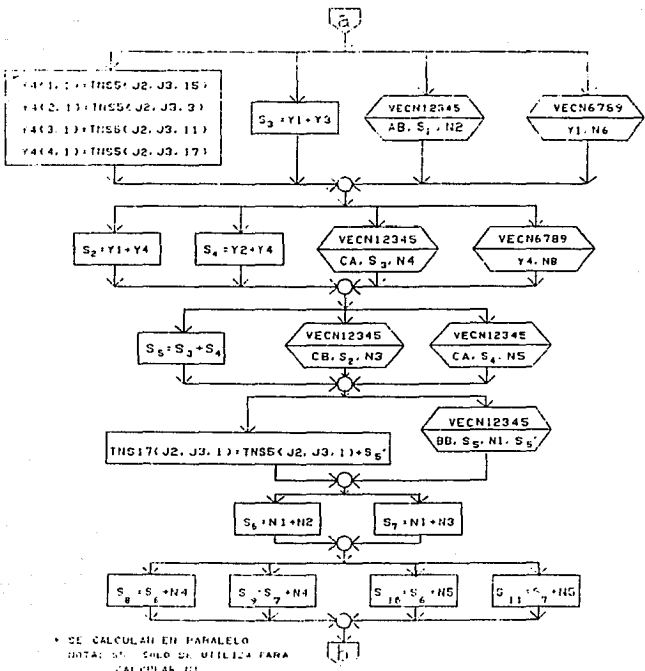
122



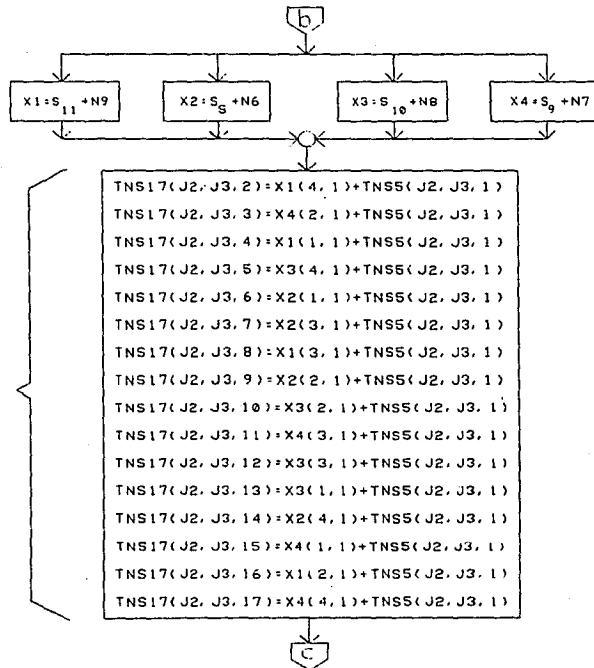


CALCULO DE LA TRANSFORMADA DE 17 PUNTOS

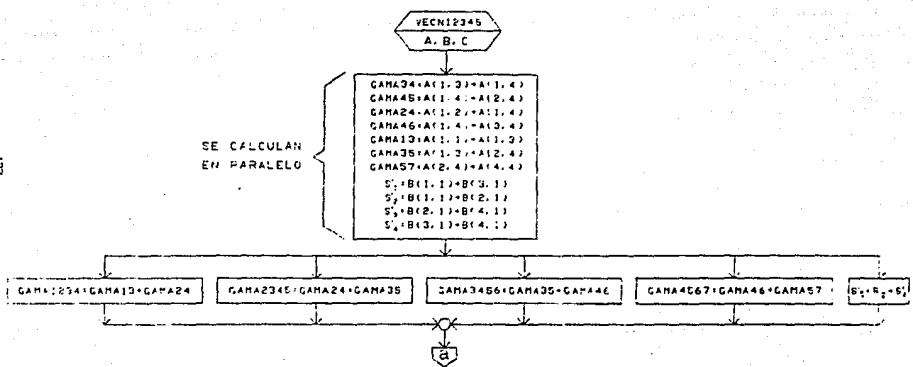




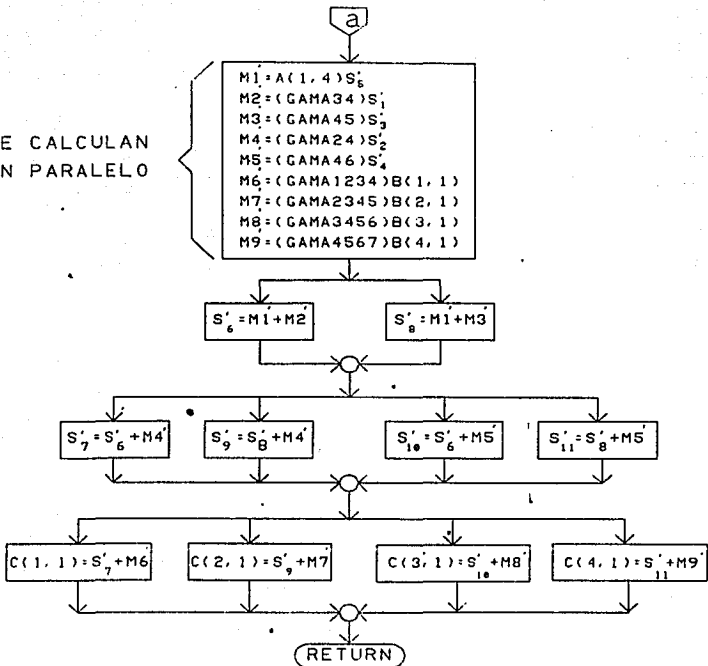
SE CALCULAN  
EN PARALELO



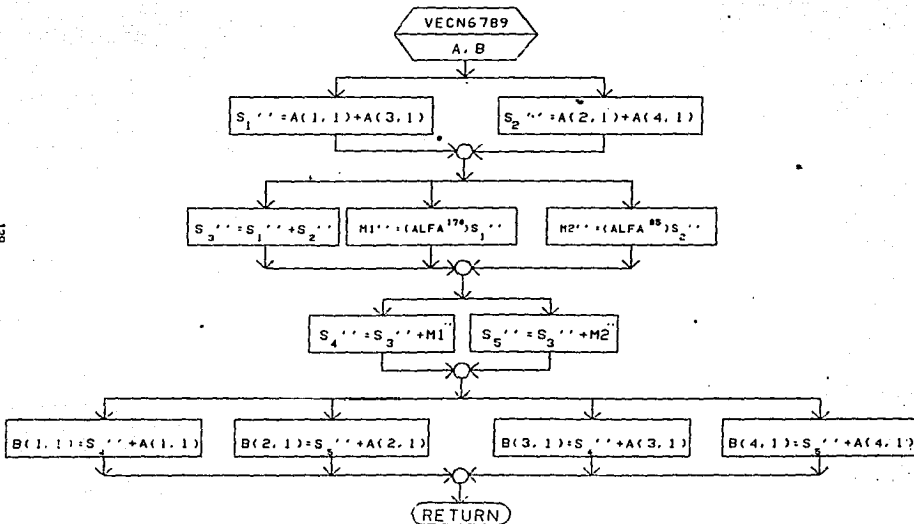
SUBRUTINA VECN12345



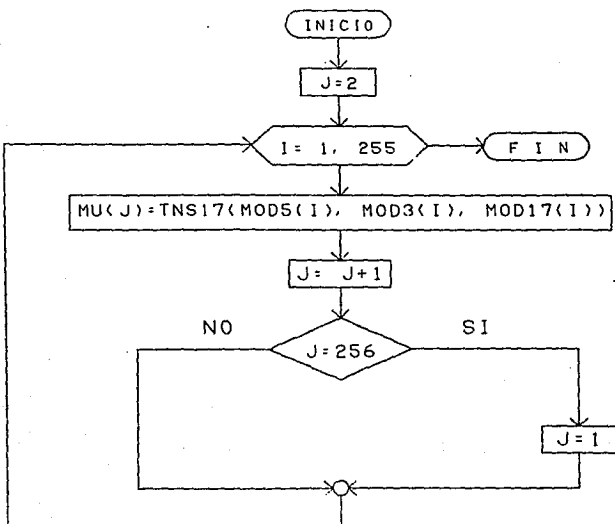
SE CALCULAN  
EN PARALELO



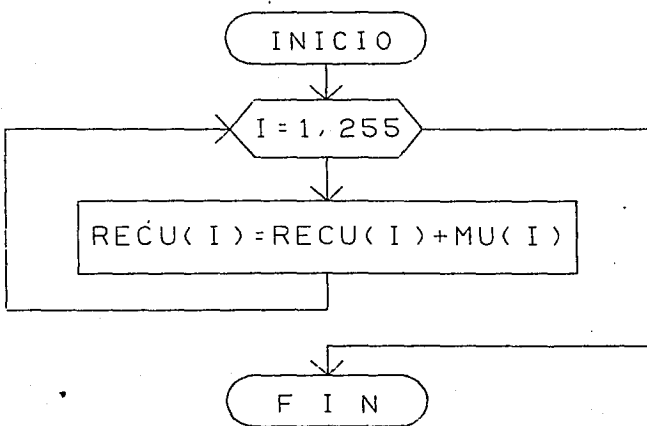
SUBRUTINA VECN6789



PASO DE LA MATRIZ DE TRES DIMENSIONES TNS17  
AL VECTOR DE ERRATAS MU



# CORRECCION DE LA PALABRA RECIBIDA



#### **IV.3 CIRCUITOS DEL DECODIFICADOR DISEÑADO.**

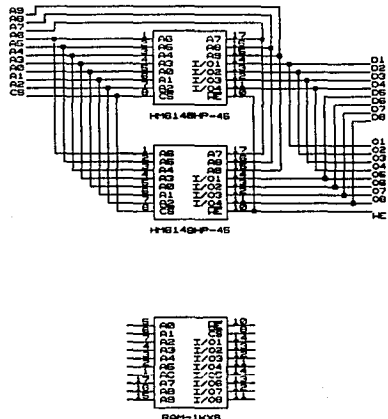
En tercer lugar se muestra el diseño del decodificador en base a elementos discretos. Primero se presenta el alambrado de los elementos que fueron representados como un sólo bloque o "chip" por facilidad en el diseño de las etapas del decodificador y después se muestra el circuito diseñado para cada una de estas etapas.

Nótese que algunos elementos están marcados con un \*, lo que significa que se usaron en alguna etapa anterior y que es el mismo elemento.

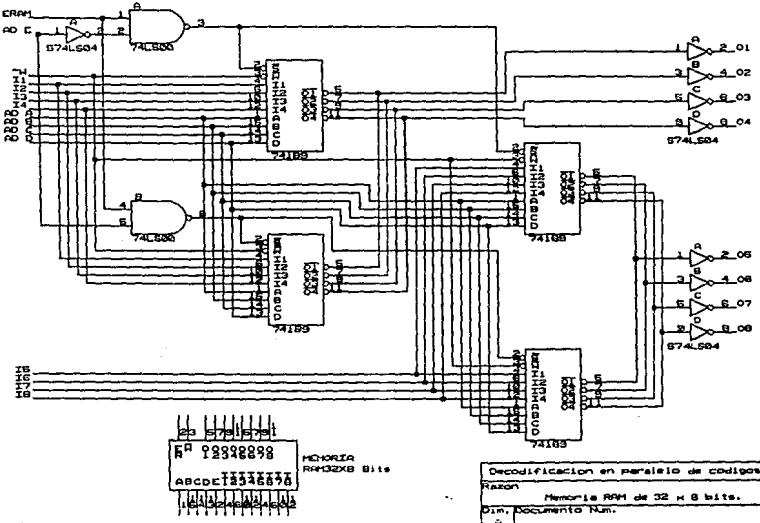
Se considera que las memorias PROM utilizadas en el diseño se encuentran ya grabadas con su respectiva información cada una.

En cada uno de los circuitos aparecen ciertos nombres que corresponden a las señales de control del circuito y que posteriormente aparecen en los diagramas de control, además en algunos elementos se encuentra otro nombre que indica lo que ese elemento calcula, o en el caso de las memorias indica lo que contienen.

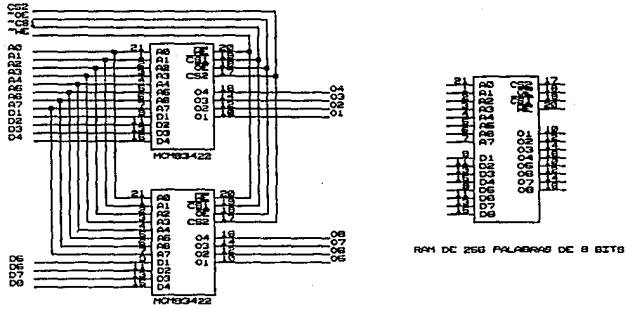
A continuación se muestran los circuitos diseñados para el decodificador.



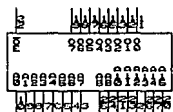
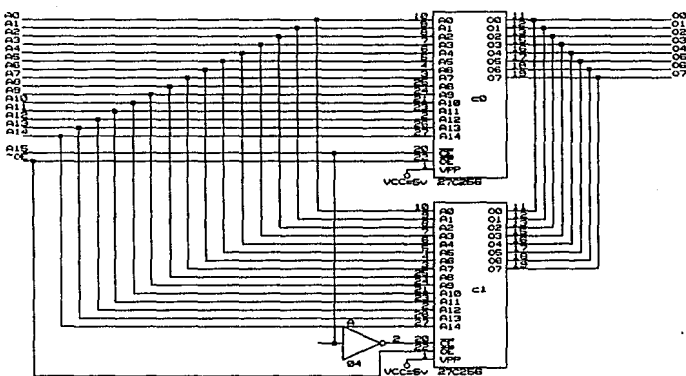
Decodificación en paralelo de códigos R.S.  
 Razón Memoria RAM de 1KxB  
 Dim. Documento Num. REV  
 A  
 Día : March 27, 1983 Hoja 1 de 1



SCI

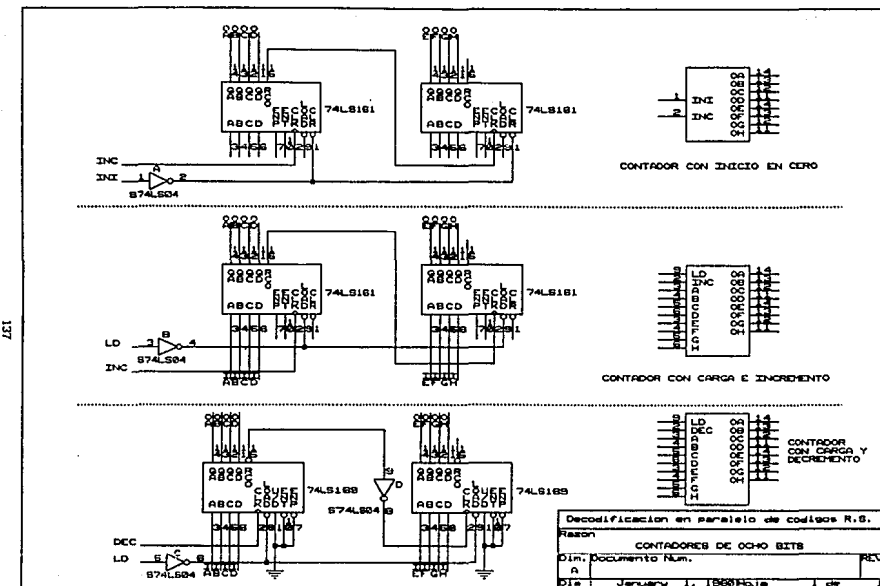


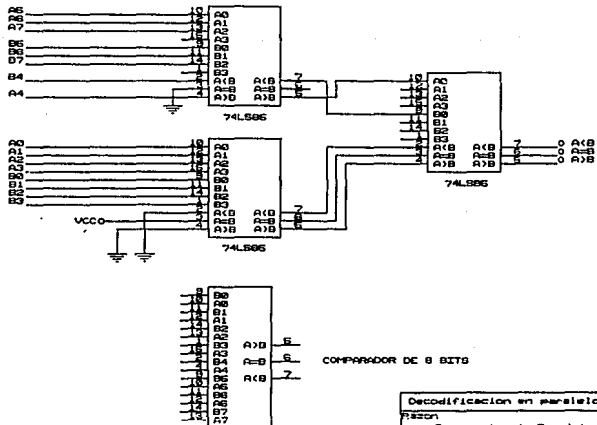
Decodificación en paralelo de códigos R.S.	
Razon	RAM DE 256 PALABRAS DE 8 BITS.
DIM. DOCUMENTO NUM.	REQ
A	
Die:	JANUARY 1, 1980 (SUN 1:04)



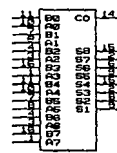
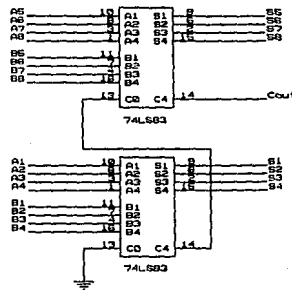
Multiplicador  
256x256  
Matriz de 256x256 bytes

Decodificación en paralelo de codificadores R.C.	
Reson	
Multiplicador en el CC(256).	
Q1m.	Documento Num.
A	
Día : Enero 18, 1988 Nro. 1 de 1	



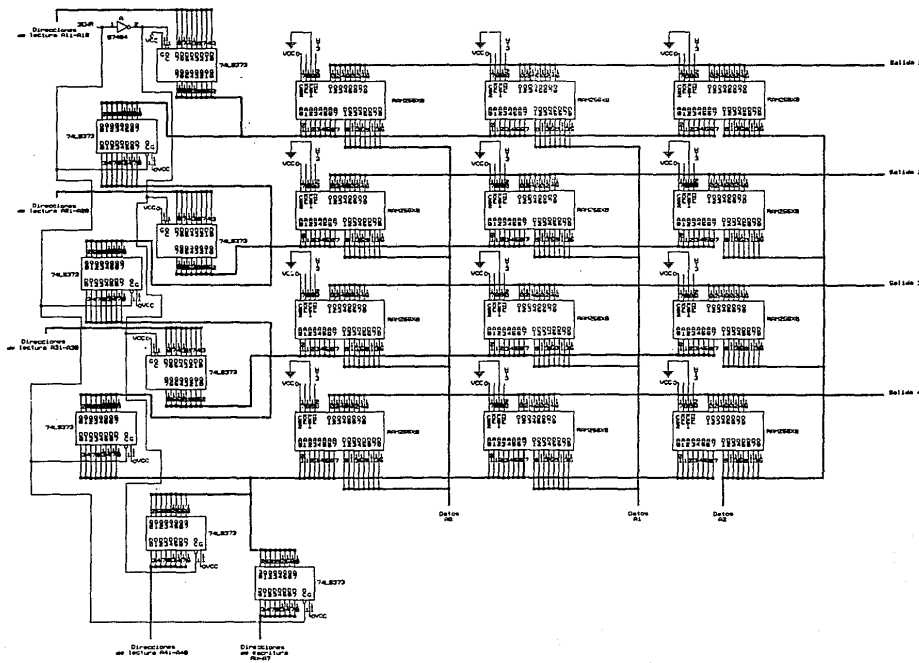


Decodificación en paralelo de códigos R.S.  
 Razón Comparador de 2 palabras de 8 bits.  
 Dim: Documento Num. REV  
 A  
 Día: Jueves 1. 1990 Nro de 1

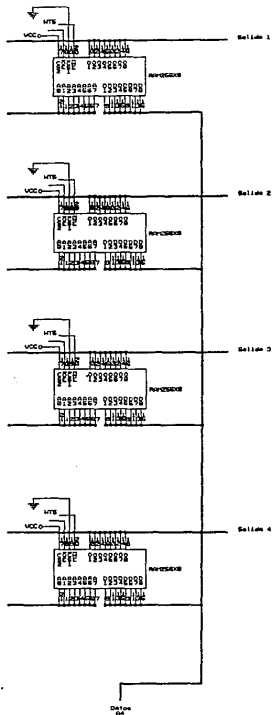
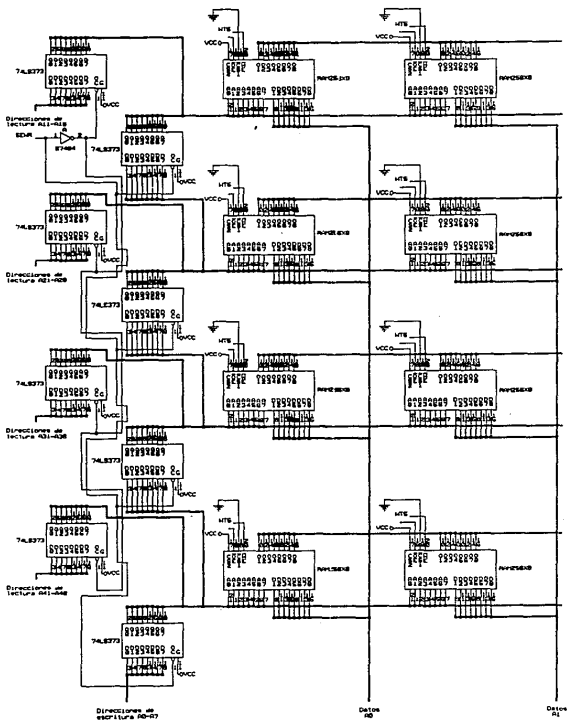


SUMADOR COMPLETO DE OCHO BITS

Decodificación en Paralelo de códigos R.S.
Razón
SUMADOR DE DOS PALABRAS DE OCHO BITS
Dlm. documento Num. _____
A _____
Die : January 1, 1988

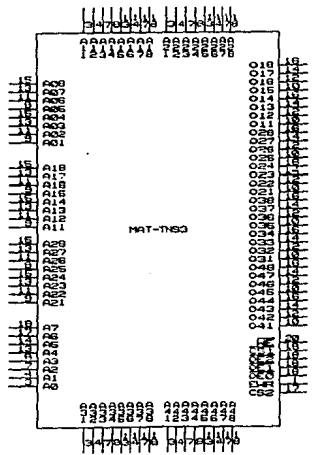
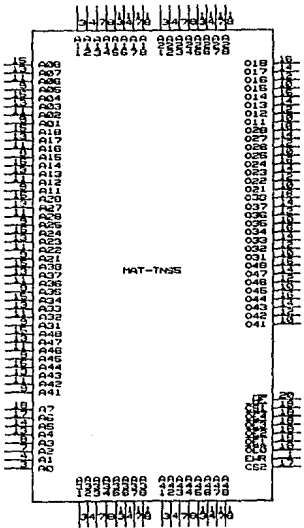


Deshabiliteación en paralelo de código R.S.  
Número Matrícula TH83  
DNI: Documento Hu.:  
C: 202-11-1970-00000000



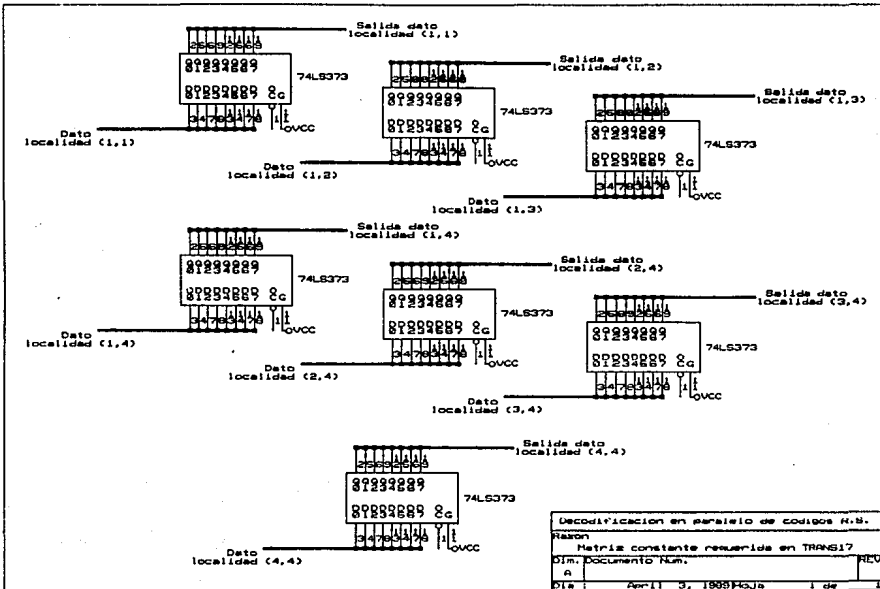
Detallación en anexos en sistema R.S.

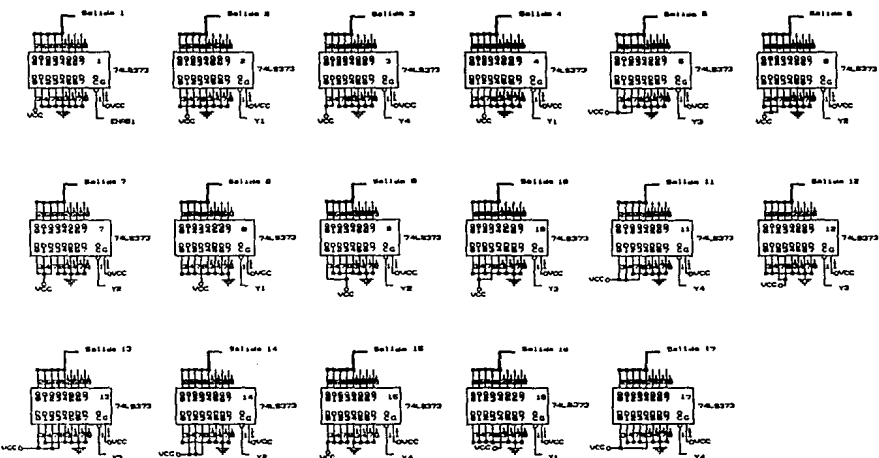
Nº de	Matriz TMS
Documento Nro.	C
FECHA	2011-11-16 10:00:54
REV	00



Decodificación en paralelo de códigos R.S.	
Trazón	
"Chips" de las matrices TNS3 u TNS5	
Ref. documento num.	
A	
Die:	Spanish 3, 1989/1990 1 de

141





Descripción de los parámetros de los circuitos R.G.

Parámetros característicos en T<sub>MIN</sub>=17

Unidad de medida: nm

Datos adicionales: Unidad: mV

V<sub>DD</sub>: 1.65

I<sub>DD</sub>: 1.65

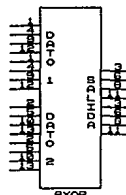
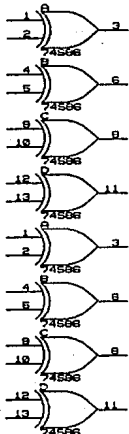
89232889 89232889 89232889 89232889 89232889 89232889  
 89232889 89232889 89232889 89232889 89232889 89232889 89232889  
 89232889 89232889 89232889 89232889 89232889 89232889 89232889 89232889 8c  
 347842146 347842146 347842146 347842146 347842146 347842146 347842146 347842146 4t

MAT-CTE

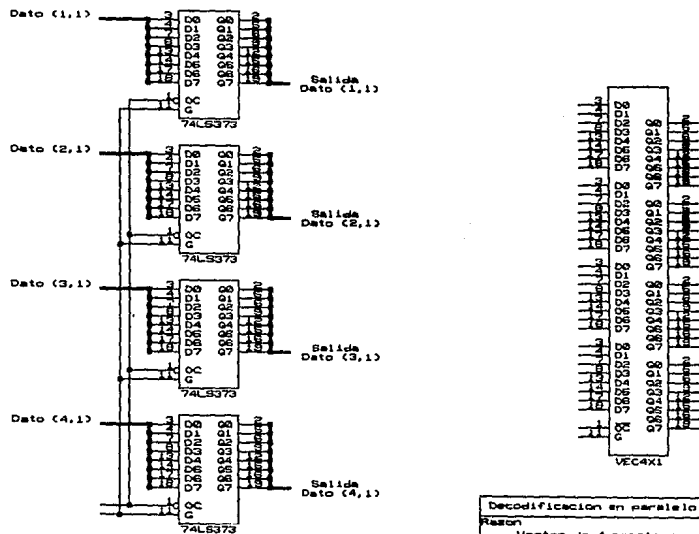
	1
S1	2
S2	3
S3	4
S4	5
S5	6
S6	7
S7	8
S8	9
S9	10
S10	11
S11	12
S12	13
S13	14
S14	15
S15	16
S16	17
S17	

CONSTANTES  
1 AL 17

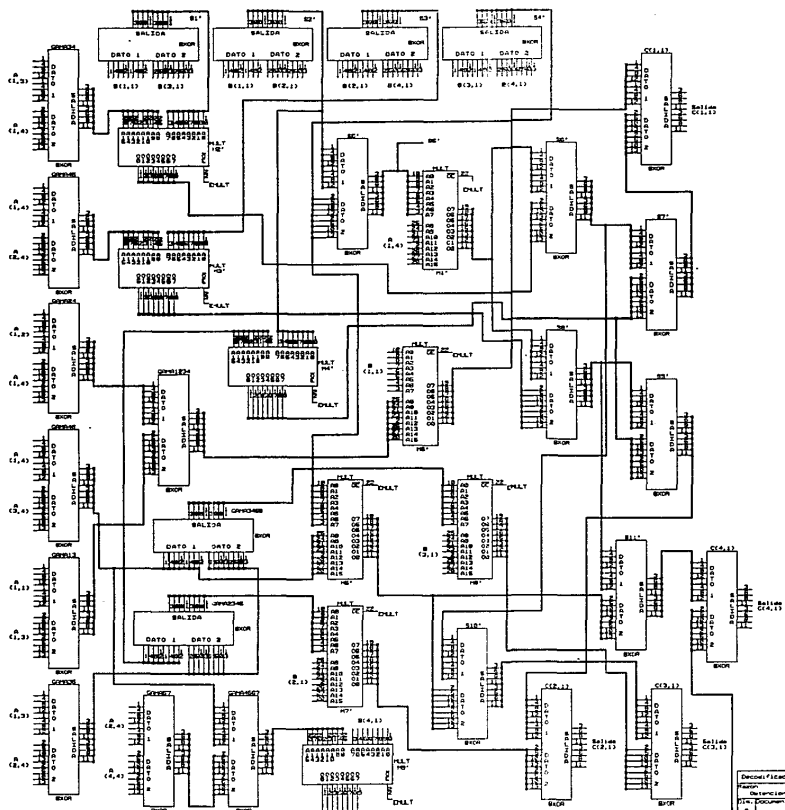
Decodificación en Paralelo de códigos R.B.  
 Razón  
 "Chile" de matriz cte. y ctes. para TRANSL7  
 Dim. Documento Num. REV  
 A  
 Dia : Abril 3, 1985 Hoja 1 de 1



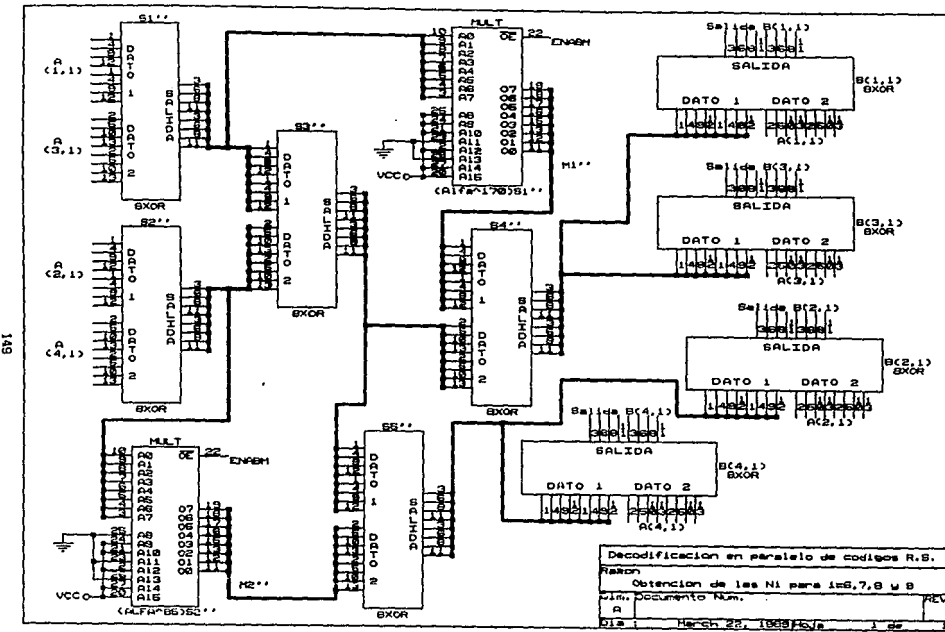
Decodificación en paralelo de códigos R.B.	
Fazón	
Paquete de ocho conversores XOR	
Dim. Documento Núm.	REV.
A	
Sra. February 19, 1988/Holz	1 de

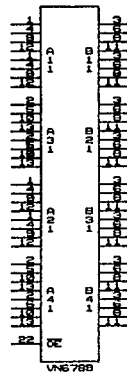
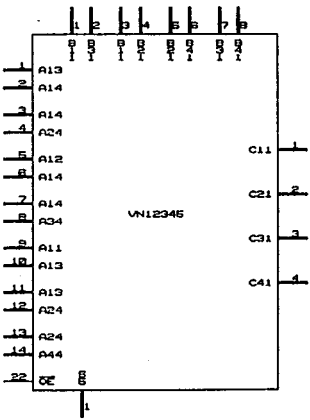


Decodificación en paralelo de códigos R.S.	
Razon:	Vector de 4 renglones por 1 columna
Dim. Documento Num.:	71EV
A:	
Fecha:	Martes 9, 1988 Hora: 1 de 1

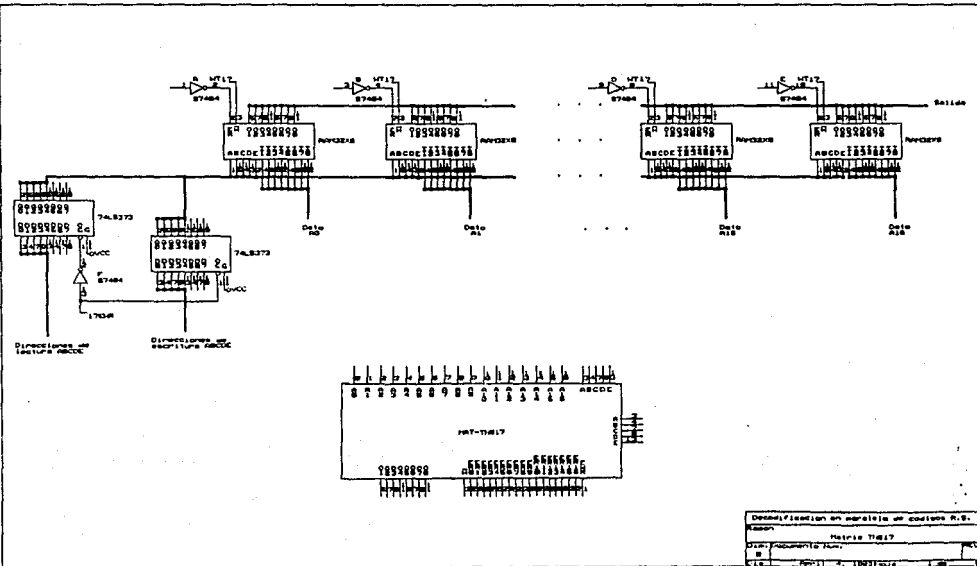


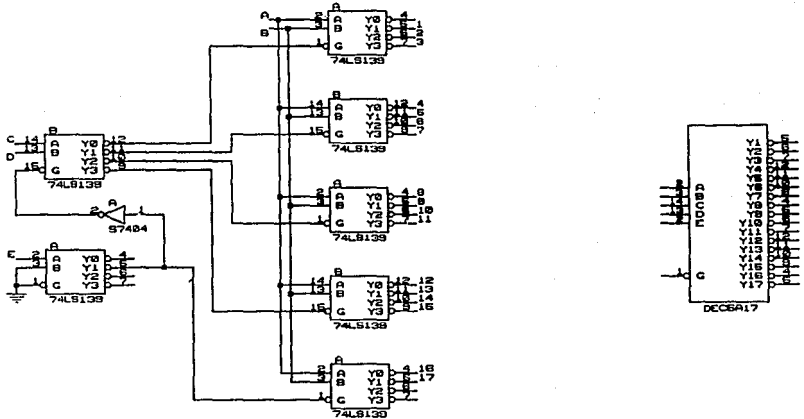
Decodificación en paralelo en codice R.E.  
Fase:  
De función de los MUX para 14122.2.4.0.0  
Este documento pertenece a:  
C  
Eje: March 24, 1995/24  
148



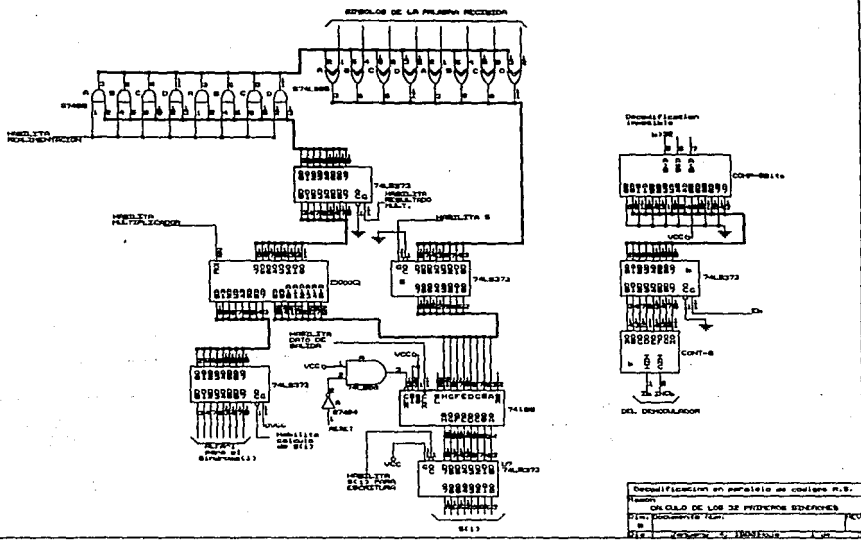


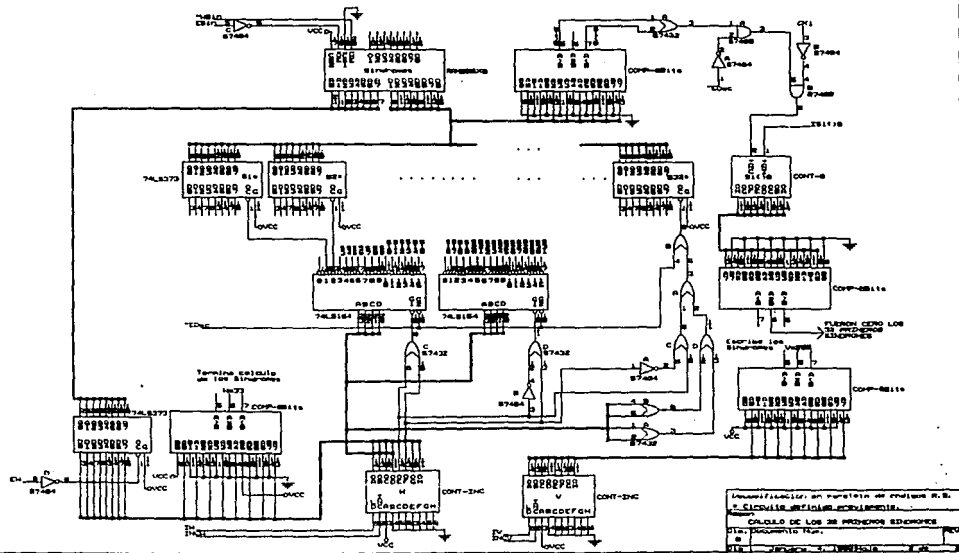
Decodificación en paralelo de códigos R.B.		
Ramon	"Chips" para calcular los vectores N	
Dim. Documento Num.		REV
F:		
Dia	April 3, 1993	de

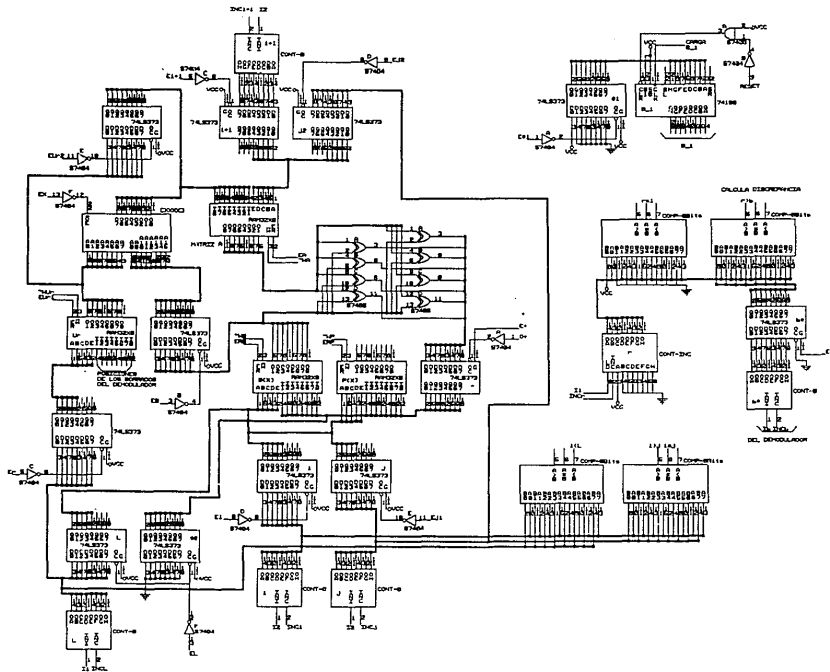




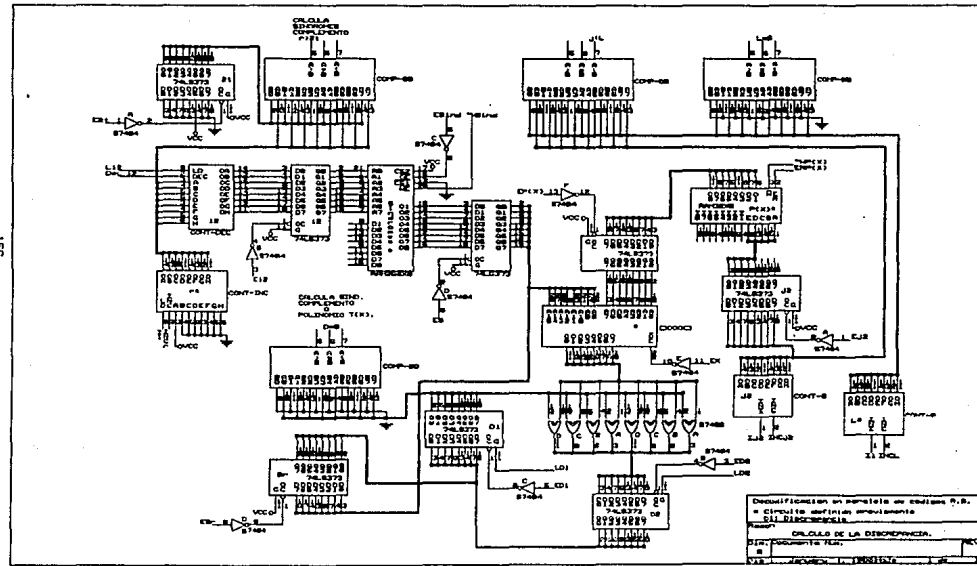
Decodificación en paralelo de códigos R.S.	
Razón	Decodificador 5 a 17
Dim. Documento Num.	REV
A	
Día:	April 6, 1993 HOJA

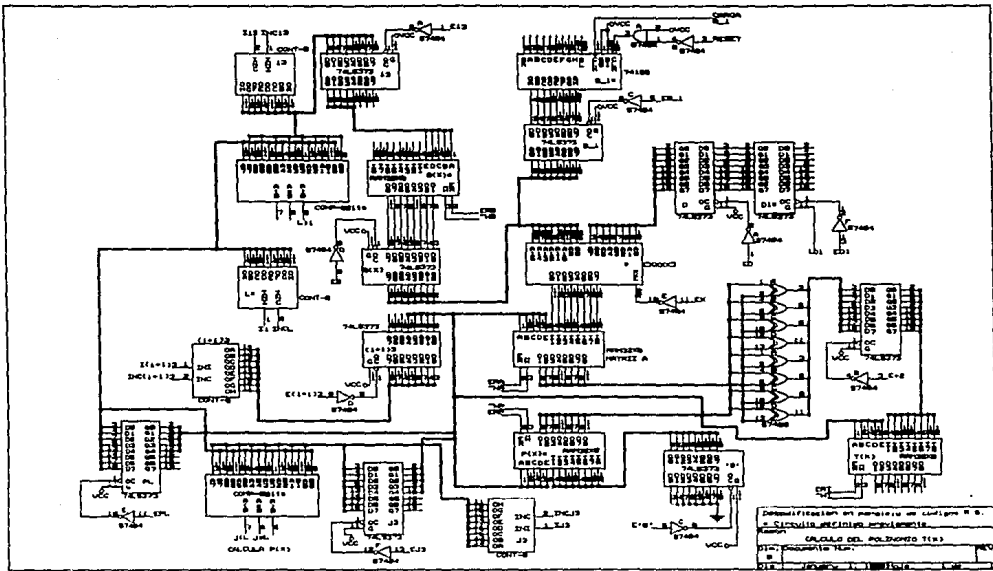


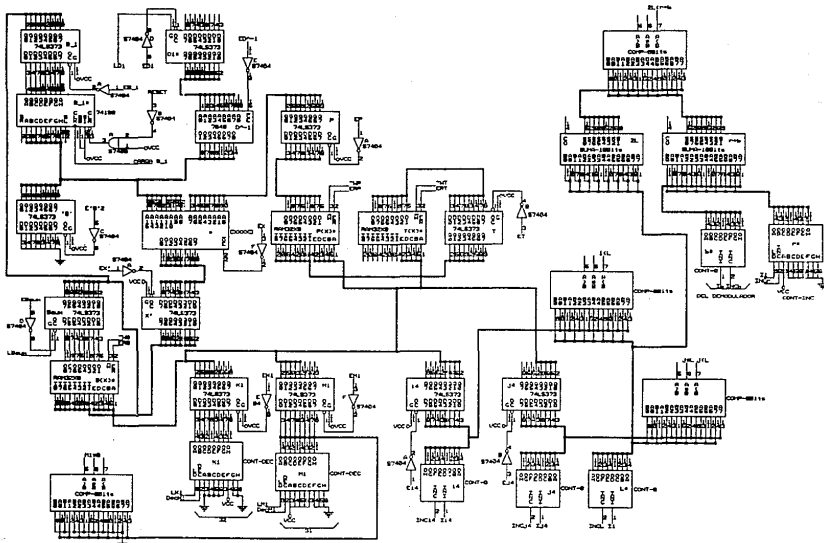




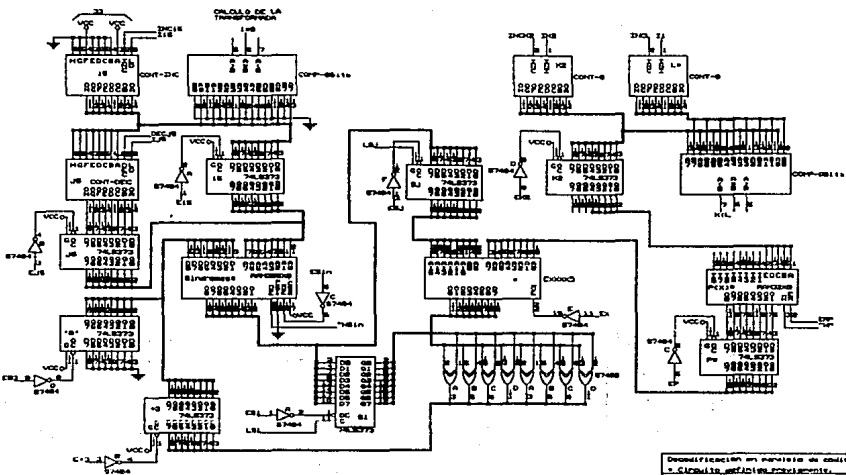
Decodificación en paralelo de codigos R.S.  
 • Circuito definido anteriormente.  
 B12) Polinomio localizador de errores.



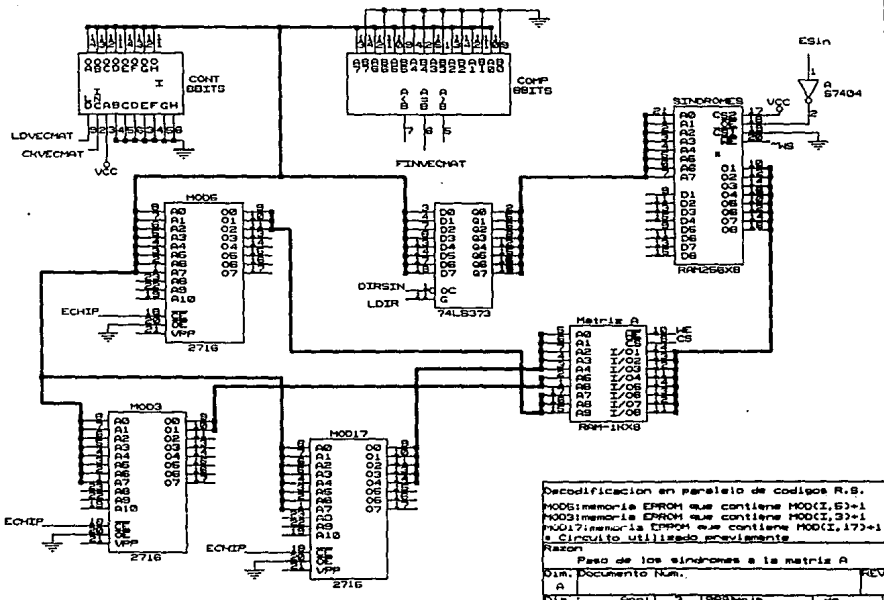


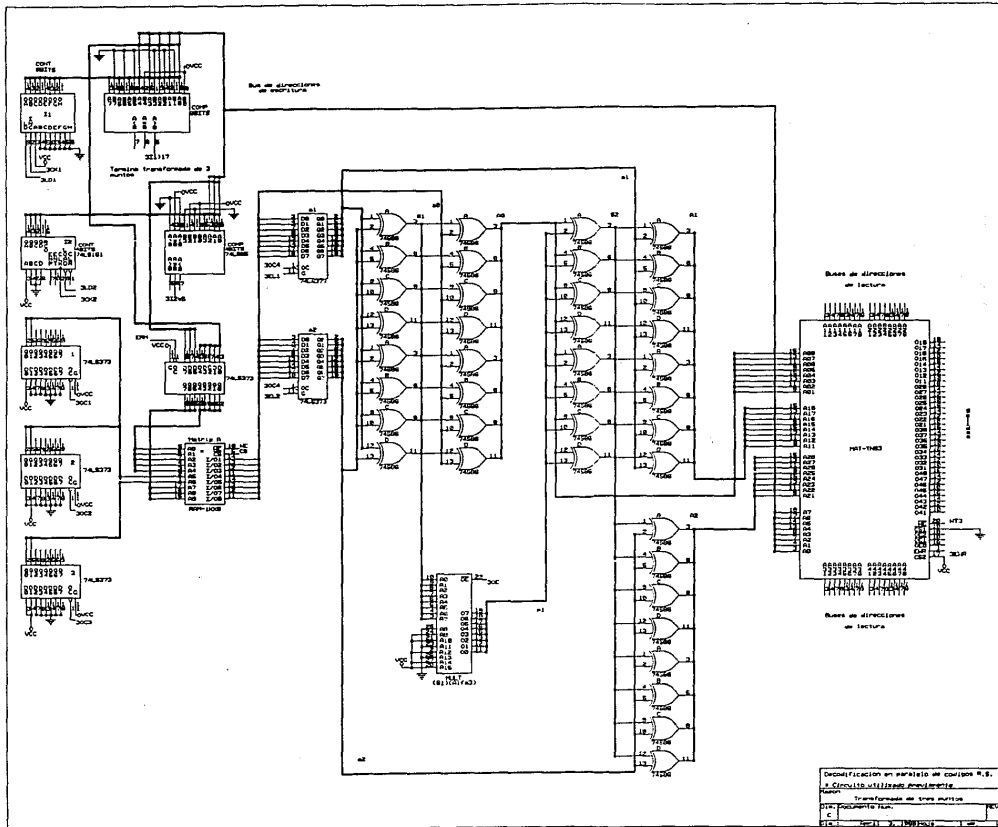


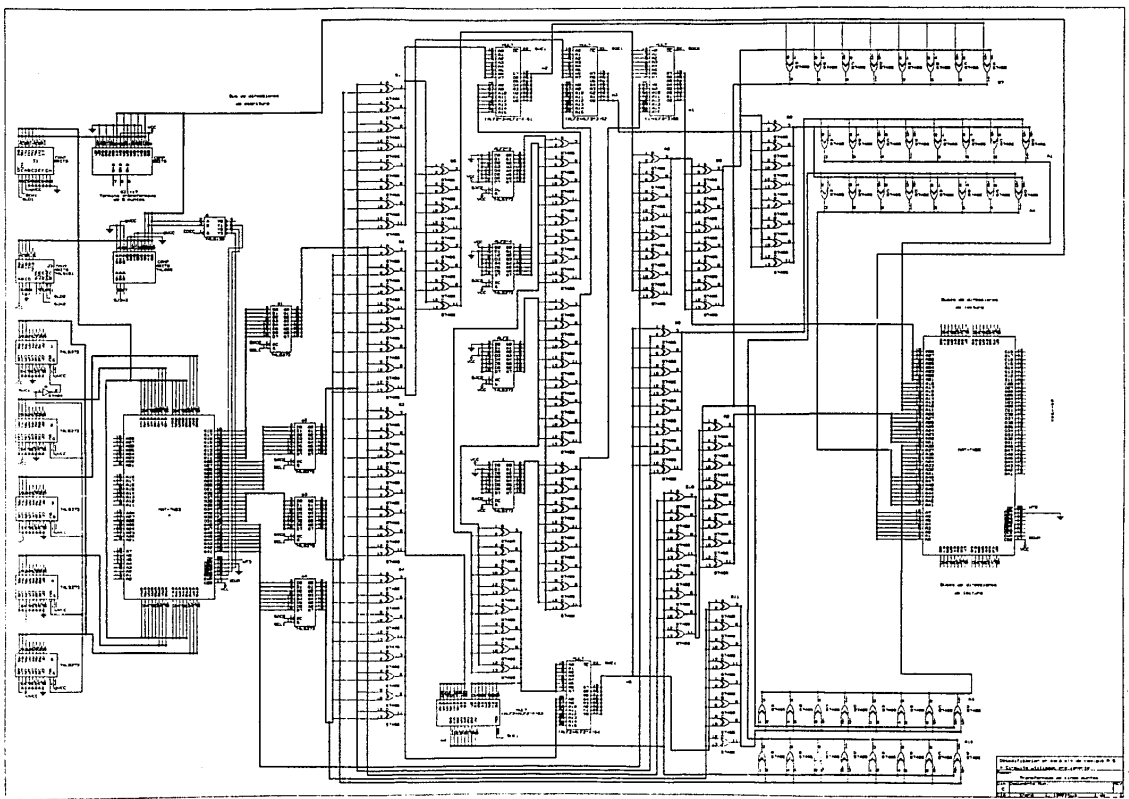
MODIFICACION EN ANALISIS DE CODIGO P.R.C.  
• CIRCUITO DEFINIDO POR COMPONENTES,  
• EXISTE UNA REFERENCIA AL DOCUMENTO  
• NOMBRE:  
• CALIDAD DEL POLISIADO P.R.C.  
• CALIBRACION NÚM.:  
C  
• ID: 10000000000000000000000000000000

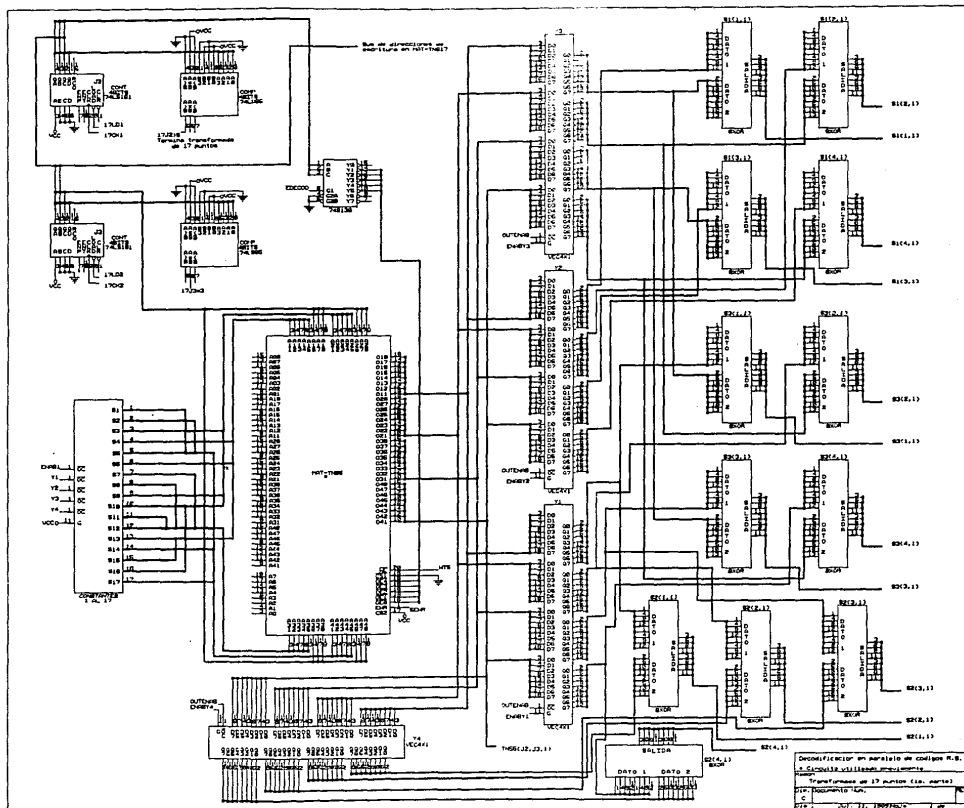


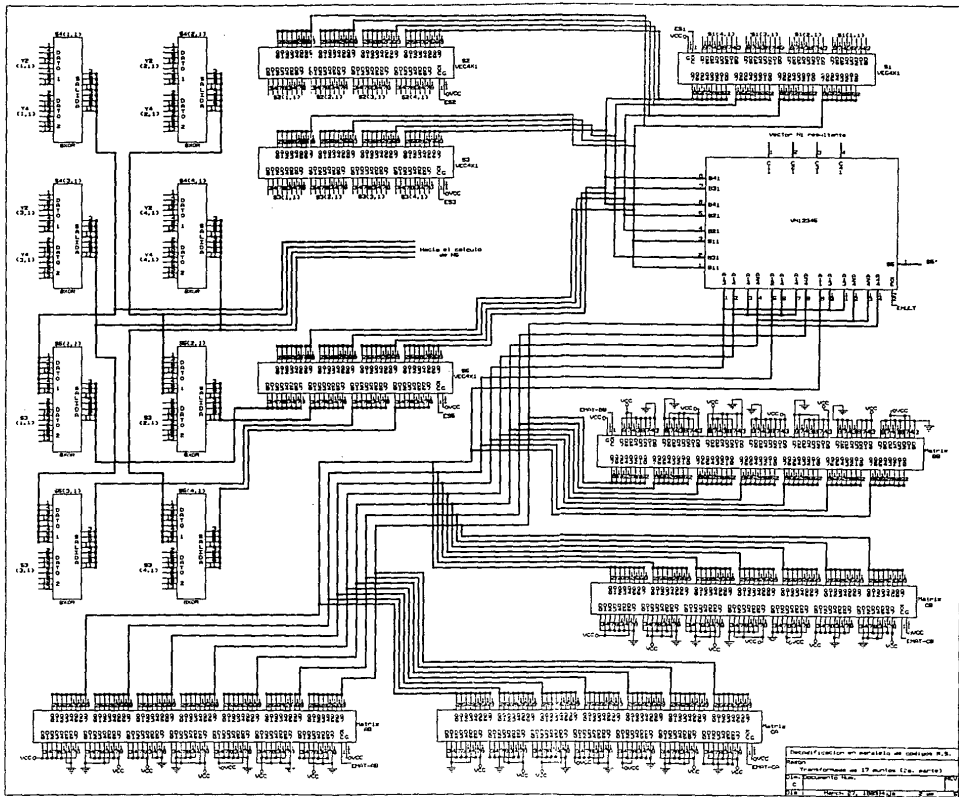
Descentralización en marco de codicilos R.E.  
• CÁLCULO DE LOS SÍNDICOS  
Hasta  
CÁLCULO DE LOS SÍNDICOS S(33)...S(368).  
DNI - DOCUMENTO Nro.  
0  
012-77-1111-2 1999-01-01

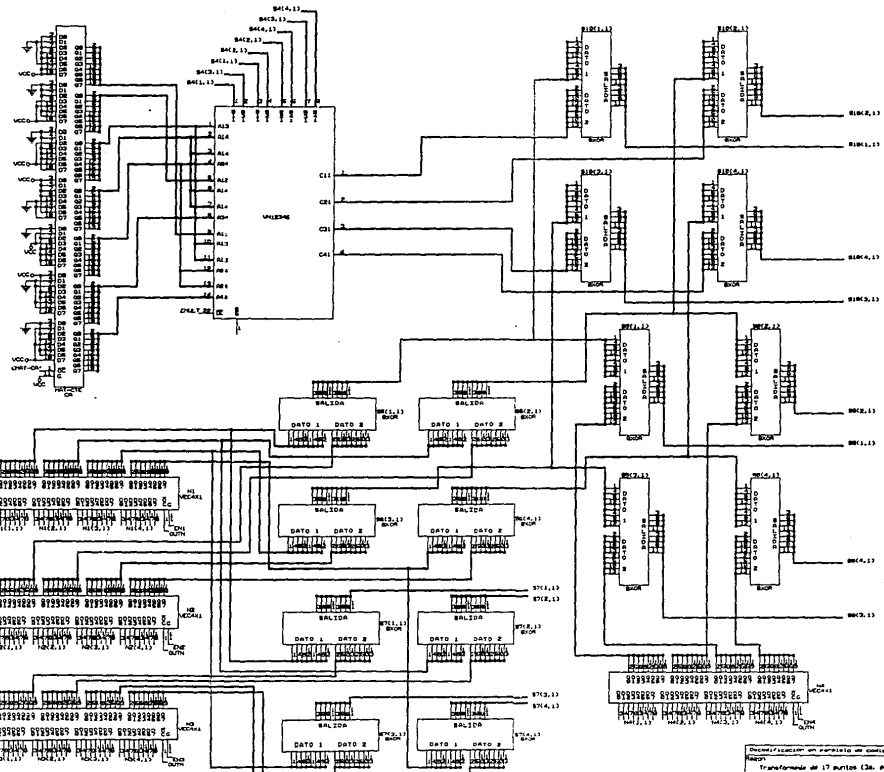


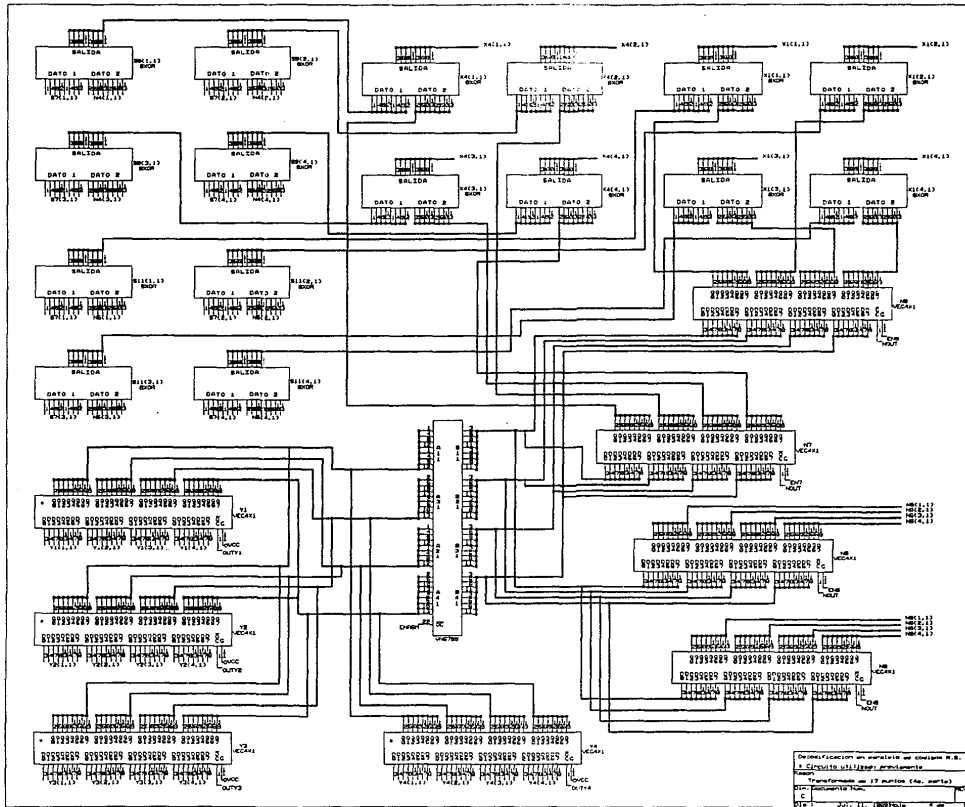




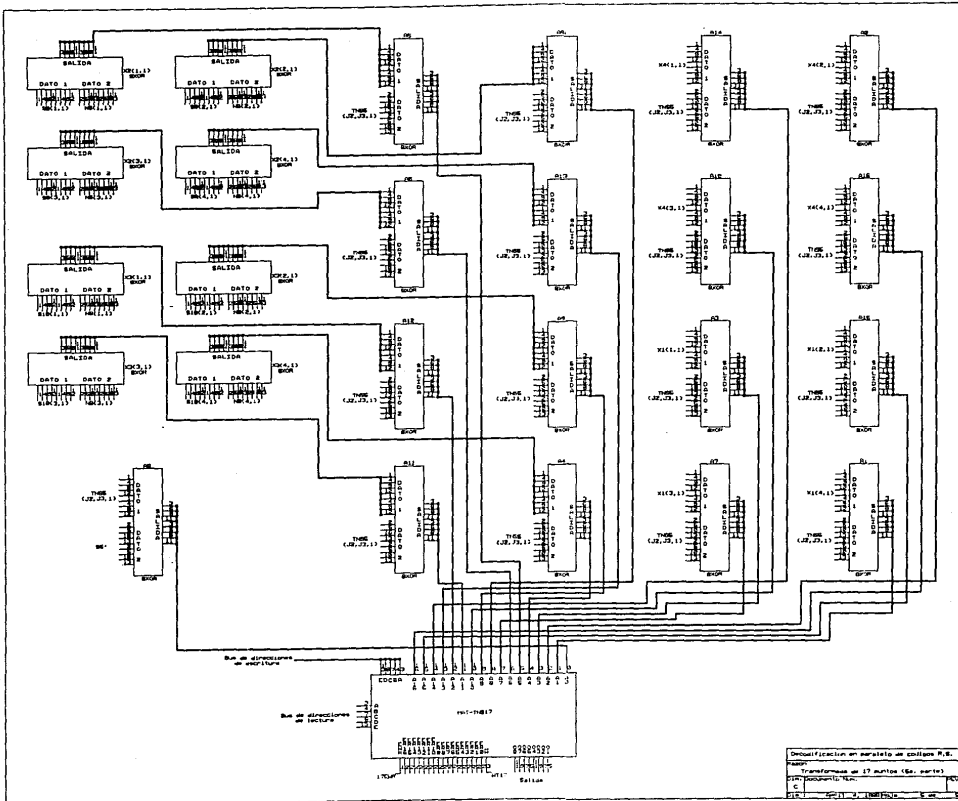


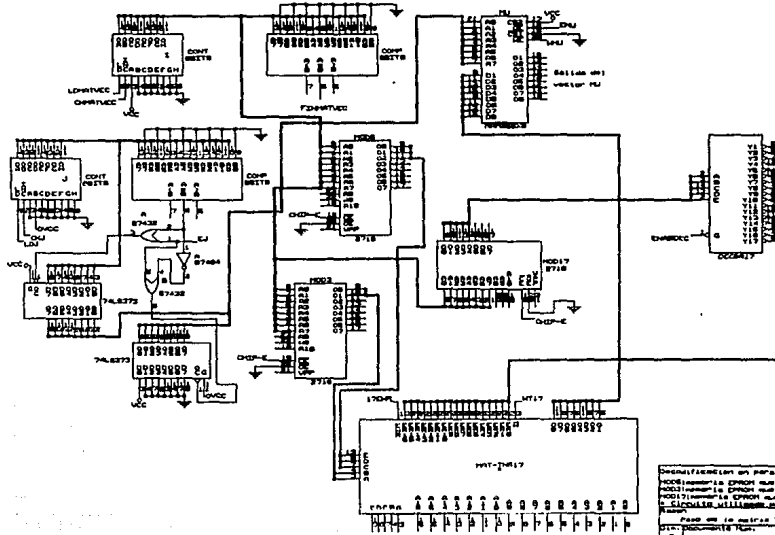




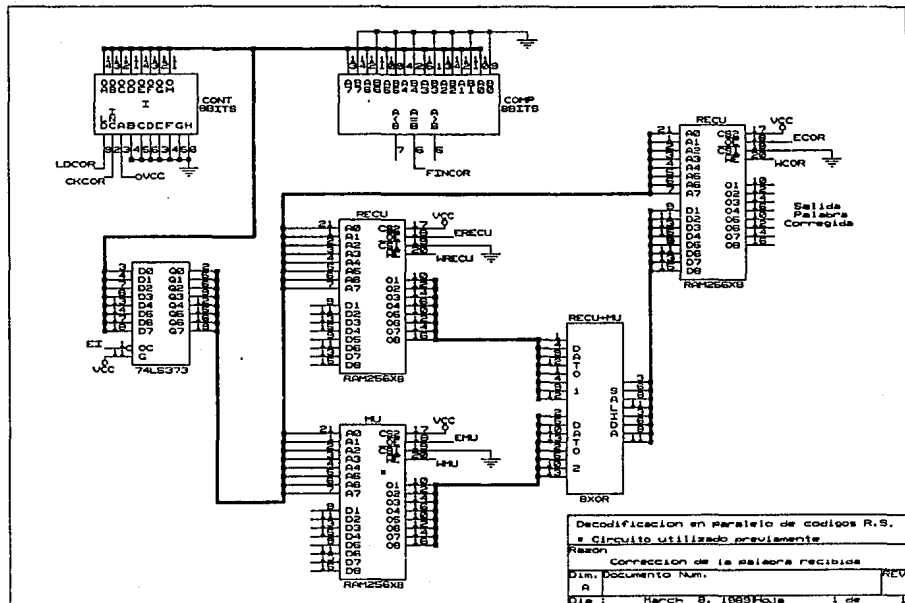


Determinación en paralelo de conjuntos R-S.  
C. Circuito utilizador propuesto.  
Transformación de 17 puntos (No. puerta)  
Número de puertas:  
C  
Máx. 1001 (16) 0.00





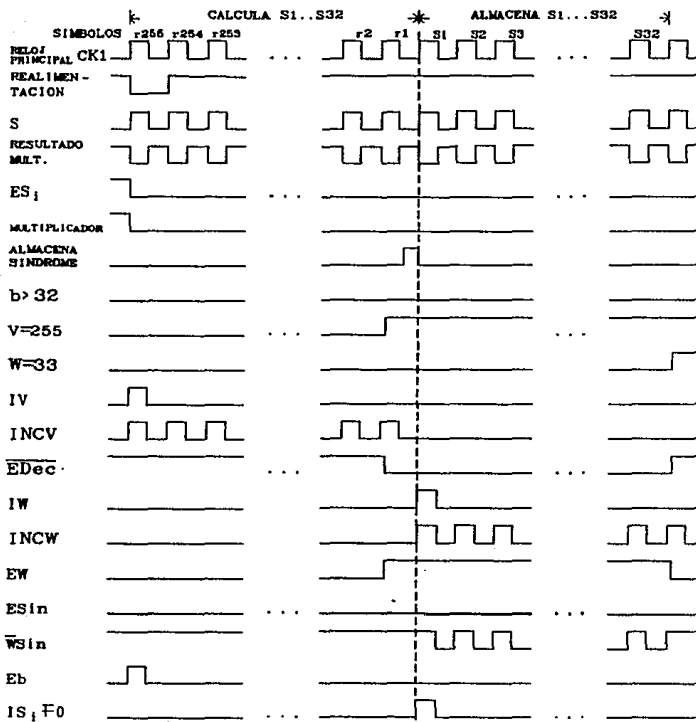
Densitatiscien en paralele en oordene R.O.  
 HOOGtemperatuur DRAM die ontstaan MOD12.8x4  
 MOD12.8x4 DRAM die ontstaan MOD12.8x4  
 MOD12.8x4 DRAM die ontstaan MOD12.8x4  
 MOD12.8x4 DRAM die ontstaan MOD12.8x4  
 RAM die ontstaan T1017 al vaste DRAM  
 DRAM die ontstaan T1017



#### IV.4 DIAGRAMAS DE CONTROL DE LOS CIRCUITOS.

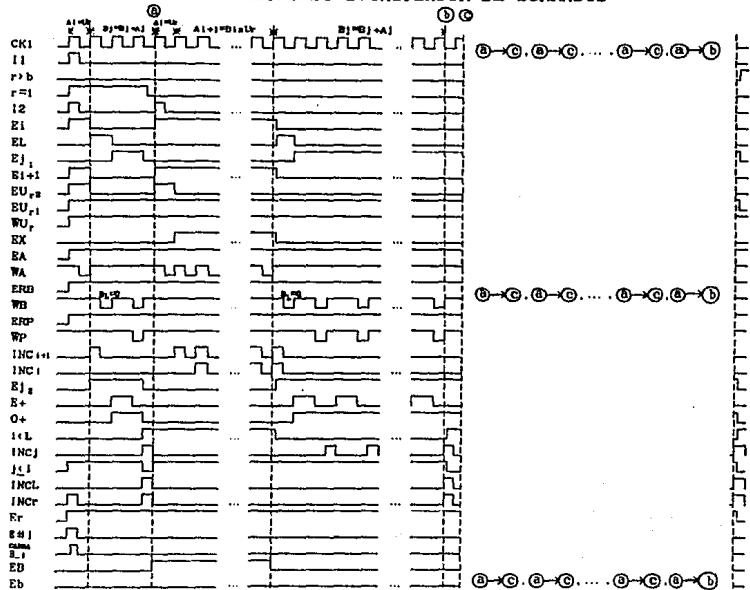
Por último se incluyen los diagramas de control de cada circuito a manera de diagramas de tiempo, donde aparecen cada una de las señales de control del circuito, con el fin de mostrar más a detalle cómo interactúan entre sí los elementos que forman cada etapa del proceso de decodificación.

## CALCULO DE LOS 32 PRIMEROS SINDROMES



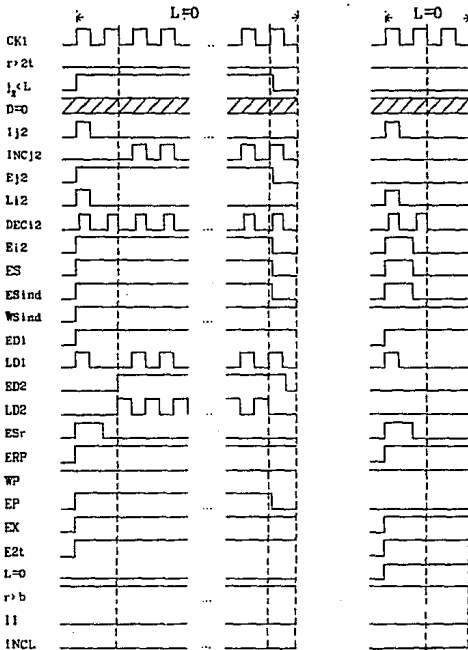
CALCULO DE LA DISCREPANCIA

## POLINOMIO LOCALIZADOR DE BORRADOS



CALCULO DE LA DISCREPANCIA

### CALCULO DE LA DISCREPANCIA

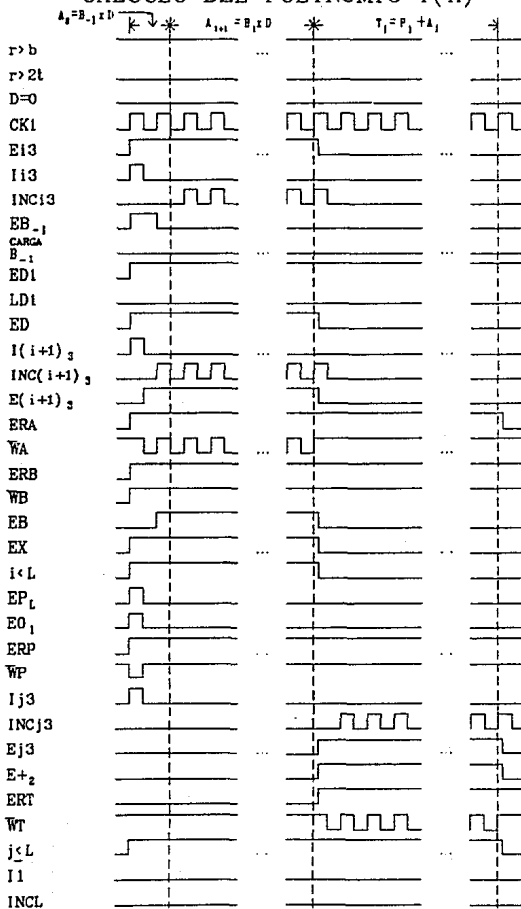


S1 D=0 CALCULO DE LOS SINDROMES S33...S255

S1 D=1 CALCULO DEL POLINOMIO T(x)

S1 r>2t CALCULO DE LOS SINDROMES S33...S255

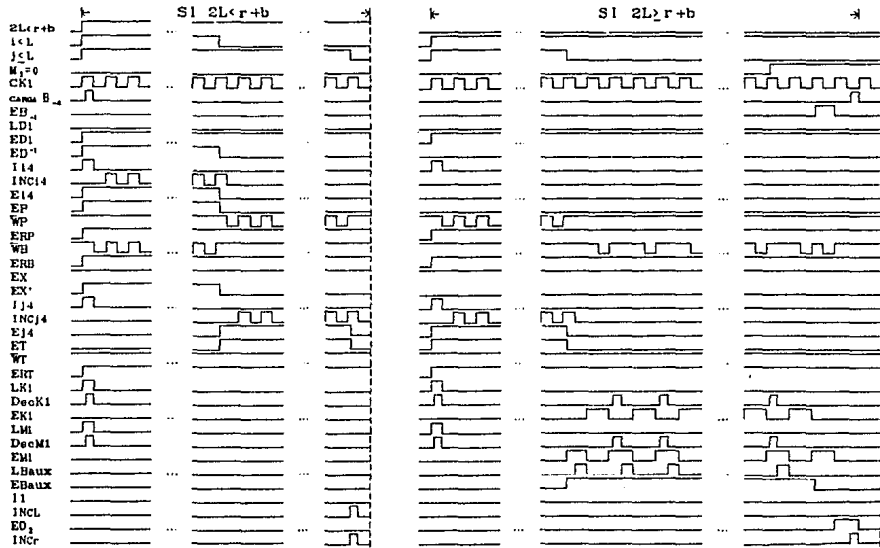
### CALCULO DEL POLINOMIO T(X)



### CALCULO DEL POLINOMIO P(X)

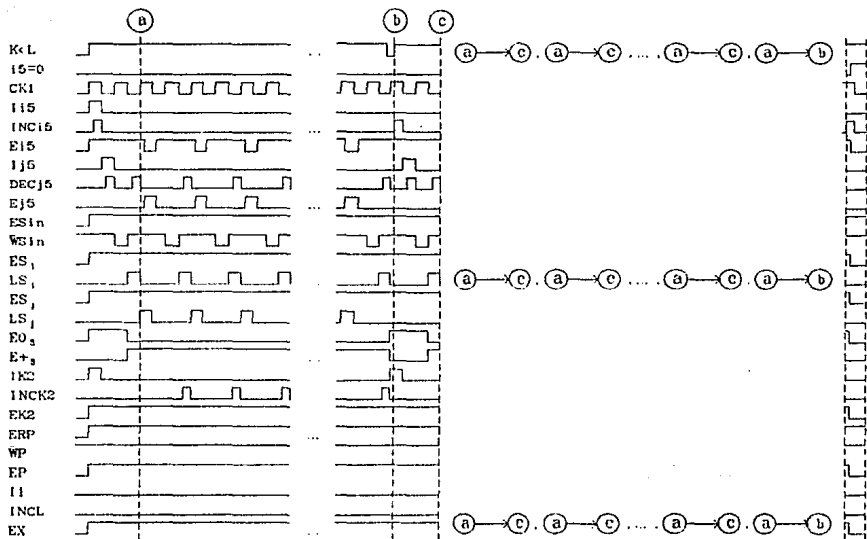
S/L1

### CALCULO DEL POLINOMIO P(X)



CALCULO DE LA DISCREPANCIA

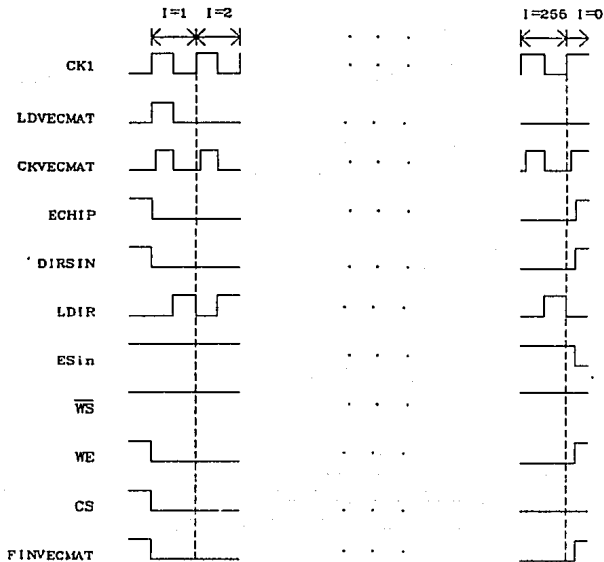
## CALCULO DE LOS SINDROMES S33 . . . S255



CALCULO DE LA TRANSFORMADA

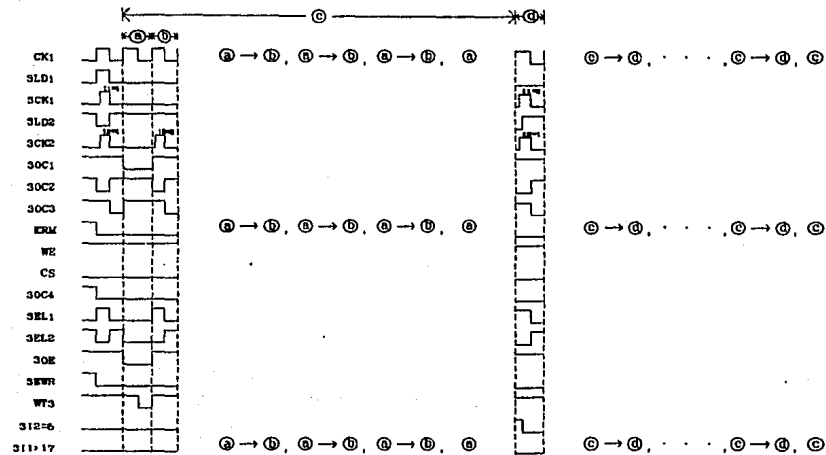
# PASO DEL VECTOR DE SINDROMES A LA MATRIZ A

L11



CALCULO DE LA TRANSFORMADA DE 3 PUNTOS

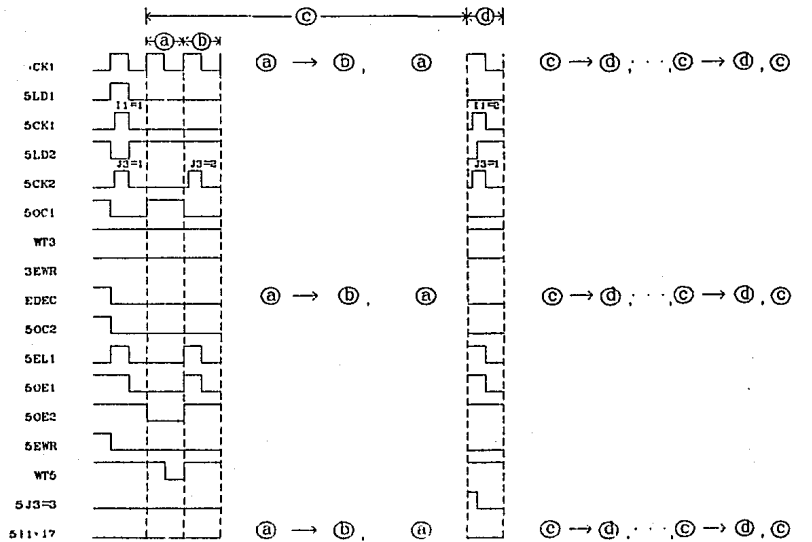
## CALCULO DE LA TRANSFORMADA DE 3 PUNTOS



CALCULO DE LA TRANSFORMADA DE 5 PUNTOS

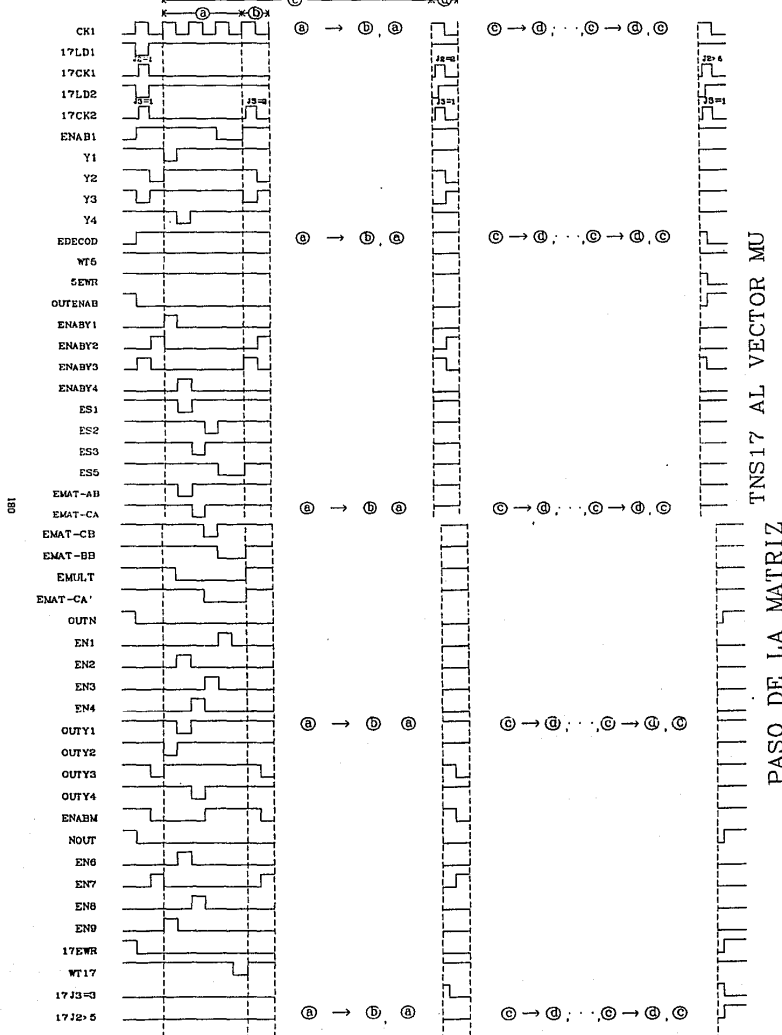
## CALCULO DE LA TRANSFORMADA DE 5 PUNTOS

6.1



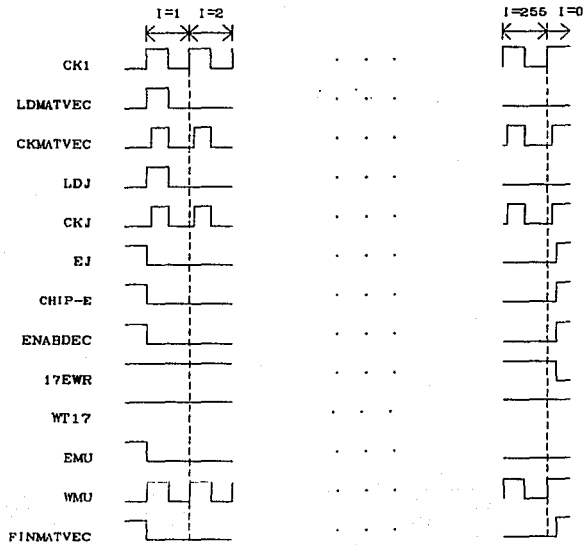
CALCULO DE LA TRANSFORMADA DE 17 PUNTOS

## CALCULO DE LA TRANSFORMADA DE 17 PUNTOS



# PASO DE LA MATRIZ TNS17 AL VECTOR MU

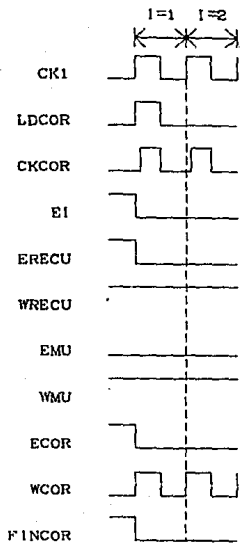
181



CORRECCION DE LA PALABRA RECIBIDA

# CORRECCION DE LA PALABRA RECIBIDA

182



FIN DE LA DECODIFICACION

## CONCLUSIONES

Una de las contribuciones de este trabajo es el desarrollo de varios paquetes que nos permiten hacer la simulación de la codificación y decodificación de códigos de Reed-Solomon.

Mediante la simulación de tres algoritmos para códigos R.S. fue posible seleccionar el más rápido de ellos. Este algoritmo emplea una transformada rápida y además utiliza las partes más rápidas de los otros algoritmos.

Otra contribución, es el diseño realizado del decodificador con elementos discretos, basado en el algoritmo que resultó ser el más rápido. Debido a que este diseño cuenta con arquitectura en paralelo, tiene la gran ventaja de realizar procesos de decodificación en tiempos menores, sobre decodificadores que no cuentan con este tipo de arquitectura. El ahorro de tiempo es la mayor ventaja del diseño realizado, sin embargo se tiene la desventaja de que se requiere mayor circuitería para su implementación lo cual implica un mayor costo. Por otro lado, este diseño puede servir como punto de partida para una futura implementación en tecnología VLSI, lo cual simplificaría considerablemente la misma.

La implementación del decodificador no se llevó a cabo debido a que no se contó con los recursos económicos necesarios para tal efecto.

Como trabajo futuro, para una posible implementación, queda hacer un análisis de velocidad contra costo del decodificador para poder evaluar cuánto conviene parallelizar en función del ahorro de tiempo y el costo que esto tendría.

También queda por hacer el diseño del controlador, que es el encargado de coordinar todo el proceso de decodificación.

## BIBLIOGRAFIA

- [1] C. E. Shannon.  
*A Mathematical Theory of Communication.*  
Bell Syst. Tech. J., vol 27.  
pp. 379 - 423, Julio 1948. (Parte 1)  
pp. 623 - 656, Octubre 1948. (Parte 2)
- [2] Peterson and Weldon.  
*Error Correcting Codes.*  
Editorial MIT Press 1972.
- [3] Richard E. Blahut.  
*Theory and Practice of Error Control Codes.*  
Editorial Addison-Wesley 1983.
- [4] Shu Lin, Daniel J. Costello, Jr.  
*Error Control Coding: Fundamentals and Applications.*  
Editorial Prentice-Hall 1983.
- [5] Francisco J. García Ugalde.  
*Coding and Decoding Algorithms of Reed-Solomon Codes executed on a M68000 Microprocessor.*  
Lecture Notes in Computer Science Proceedings, pp. 183-196,  
Springer-Verlag, Abril 1988.
- [6] Kuang Yung Liu.  
*Architecture for VLSI Design of Reed-Solomon Encoders.*  
IEEE Trans. Computers, vol. c-31, No. 2, pp. 170-175,  
Febrero 1982.
- [7] In-Shek Hsu, Irving S. Reed, T.K. Truong, Ke Wang, Chiunn-Shyong Yeh,  
Leslie J. Deutsch.  
*The VLSI Implementation of a Reed-Solomon Encoder using Berlekamp's Bit-Serial Multiplier Algorithm.*  
IEEE Trans. Computers, vol. c-33, No. 10, pp. 906-911,  
Octubre 1984.
- [8] Elwyn R. Berlekamp.  
*Bit-Serial Reed-Solomon Encoders.*  
IEEE Trans. Inform. Theory, vol. IT-28, No. 6, pp. 869-874,  
Noviembre 1982.

- [9] Hirokazu Okano and Hideki Imai.  
*A Construction Method of High-Speed Decoders using ROM's for*  
*Bose-Chaudhuri-Hocquenghem and Reed-Solomon Codes.*  
IEEE Trans. Computers, vol. c-36, No. 10, pp. 1165-1171,  
Octubre 1987.
- [10] Howard M. Shao, T.K. Truong, Leslie J. Deutsch, Joseph H. Yuen and  
Irving S. Reed.  
*A VLSI Design of a Pipeline Reed-Solomon Decoder.*  
IEEE Trans. Computers, vol. c-34, No. 5, pp. 393-403, Mayo 1985.
- [11] Kuang Yung Liu.  
*Architecture for VLSI Design of Reed-Solomon Decoders.*  
IEEE Trans. Computers, vol. c-33, No. 2, pp. 178-189, Febrero 1984.
- [12] Irving S. Reed, T.K. Truong, R.L. Miller and B. Benjauthrit.  
*Further results on Fast Transforms for Decoding Reed-Solomon Codes over*  
*GF(2<sup>m</sup>). For m = 4,5,6,8.*  
Deep Space Network Progress Report 42-50, Jet Propulsion, Laboratory,  
Pasadena, California, pp. 132-154, Enero 1979.
- [13] R.L. Miller, T.K. Truong, Irving S. Reed.  
*Efficient Program for Decoding the (255,223) Reed-Solomon Code over*  
*GF(2<sup>8</sup>) with both errors and erasures, using Transform Decoding.*  
IEEE PROC. vol.127 Pt. E, No. 4, Julio 1980.
- [14] T.K. Truong, R.L. Miller, Irving S. Reed.  
*Fast Technique for Computing Syndromes of B.C.H. and Reed-Solomon Codes.*  
Electron. Lett., pp. 720-721, Septiembre 1979.
- [15] Elwyn R. Berlekamp.  
*Algebraic Coding Theory.*  
New York: McGraw-Hill, 1968.
- [16] K. Blair Benson.  
*Television Engineering Handbook.*  
McGraw-Hill, pp. 18.7-18.22, 1986.
- [17] S. Harari.  
*Protection contre les erreurs en enregistrement magnétique.*  
Ann. Télécommun., 34, No.7-8, pp. 383-399, Marzo 1979.
- [18] T. Wolff.  
*The (31,21) BCH Code for Meteosat Data-Collection-Platform Address*  
*Transmission and Recognition.*  
ESA Journal, vol.3, pp. 317-324, 1979.

- [19] Brian C. Mortimer, Michael J. Moore, and Mike Sablatash.  
*The Design of a High-Performance Error-Correcting Coding Scheme for the Canadian Broadcast Teildon System Based on Reed-Solomon Codes.*  
IEEE Trans. Communications, vol. com-35, No. 11, pp. 1113-1123,  
Noviembre 1987.
- [20] Jean-Michel Bois, Max Ferreol.  
*A Reed-Solomon (255,223) Decoder Equipment for Space Telemetry Links With Multiprocessors Implementation.*  
Fifth International Conference on Applied Algebra, Algebraic Algorithms and Error-Correction-Codes, Menorca, Espana, Junio 15-19, 1987.
- [21] Kwan Ying Muramoto.  
*Implementation of a Packet Recovery Code Using Reed-Solomon Codes.*  
Technical Report B84-2, Mayo 1984.
- [22] P. Stammnitz.  
*Error Protection of 34 Mbit/s DPCM Encoded TV Signals with Multiple Error Correcting BCH Codes.*  
Heinrich-Hertz-Institut, Berlin, W. Germany.
- [23] Consultative Committee for Space Data Systems (CCSDS).  
*Telemetry Channel Coding.*  
CCSDS 101.0-B-2, Blue Book, Enero 1987.

## APÉNDICE

Este apéndice contiene el algoritmo para calcular las transformadas de 3, 5 y 17 puntos.

Sea  $\alpha$  un elemento del campo finito  $CG(2^6)$ .

La transformada de 3 puntos está dada por:

$$A_k = \sum_{n=0}^{3-1} a_n \alpha_3^{nk} \text{ para } 0 \leq k \leq 2$$

donde  $\alpha_3 = \alpha^{65}$  es una raíz cúbica primitiva.

Algoritmo para calcular la transformada de 3 puntos:

$$\begin{aligned} s_1 &= a_1 + a_2, & A_0 &= s_1 + a_0, & m_1 &= \alpha_3 s_1, \\ s_2 &= A_0 + m_1, & A_1 &= s_2 + a_1, & A_2 &= s_2 + a_2 \end{aligned}$$

la transformada de 3 puntos requiere sólo una multiplicación y cinco sumas.

La transformada de 5 puntos está dada por:

$$A_k = \sum_{n=0}^{5-1} a_n \alpha_2^{nk} \text{ para } 0 \leq k \leq 4$$

donde  $\alpha_2 = \alpha^{61}$  es una raíz quinta primitiva.

Algoritmo para calcular la transformada de 5 puntos:

$$\begin{aligned} s_1 &= a_2 + a_3, & s_2 &= a_1 + a_4, & s_3 &= a_1 + a_3, \\ s_4 &= a_2 + a_4, & s_5 &= s_1 + s_2, & A_0 &= s_5 + a_0, \\ m_1 &= (1 + \alpha_2^3) s_5, & m_2 &= (\alpha_2^3 + \alpha_2^4) s_1, \\ m_3 &= (\alpha_2 + \alpha_2^3) s_2, & m_4 &= (\alpha_2 + \alpha_2^4) s_3, \\ m_5 &= (\alpha_2 + \alpha_2^4) s_4, & s_6 &= A_0 + m_1, & s_7 &= s_6 + m_2, \\ s_8 &= s_5 + m_3, & s_9 &= m_5 + a_2, & s_{10} &= m_4 + a_1, \\ s_{11} &= m_5 + a_4, & s_{12} &= m_4 + a_3, & A_1 &= s_6 + s_9. \end{aligned}$$

$$A_2 = S_7 + S_{10}, \quad A_3 = S_7 + S_{11}, \quad A_4 = S_8 + S_{12}$$

la transformada de 5 puntos requiere sólo cinco multiplicaciones y diecisiete sumas.

La transformada de 17 puntos está dada por:

$$A_k = \sum_{n=0}^{17-1} a_n \alpha_1^{nk} \quad \text{para } 0 \leq k \leq 16$$

donde  $\alpha_1 = \alpha^{120}$  es una raíz decimoséptima primitiva.

Algoritmo para calcular la transformada de 17 puntos:

$$\begin{aligned} S_1 &= Y_2 + Y_3, & S_2 &= Y_1 + Y_4, & S_3 &= Y_2 + Y_5, \\ S_4 &= Y_2 + Y_4, & S_5 &= S_3 + S_4, & N_1 &= BS_5, \\ N_2 &= (A+B)S_1, & N_3 &= (C+B)S_2, & N_4 &= (C+A)S_3, \\ N_5 &= (C+A)S_4, & N_6 &= EY_1, & N_7 &= EY_3, \\ N_8 &= EY_4, & N_9 &= EY_2, & S_6 &= N_1 + N_2, \\ S_7 &= N_1 + N_3, & S_8 &= S_6 + N_4, & S_9 &= S_7 + N_4, \\ S_{10} &= S_6 + N_5, & S_{11} &= S_7 + N_5, & X_1 &= S_{11} + N_0, \\ X_2 &= S_8 + N_6, & X_3 &= S_{10} + N_6, & X_4 &= S_9 + N_7 \end{aligned} \quad \dots (A.1)$$

donde

$$A = \begin{bmatrix} \alpha_1^0 & \alpha_1^8 & \alpha_1^{13} & \alpha_1^{14} \\ \alpha_1^8 & \alpha_1^{13} & \alpha_1^{14} & \alpha_1^2 \\ \alpha_1^{13} & \alpha_1^{14} & \alpha_1^2 & \alpha_1^{10} \\ \alpha_1^{14} & \alpha_1^2 & \alpha_1^{10} & \alpha_1^{10} \end{bmatrix}, \quad B = \begin{bmatrix} \alpha_1^2 & \alpha_1^{10} & \alpha_1^{10} & \alpha_1^{12} \\ \alpha_1^{10} & \alpha_1^{18} & \alpha_1^{12} & \alpha_1^8 \\ \alpha_1^{18} & \alpha_1^{12} & \alpha_1^8 & \alpha_1^{11} \\ \alpha_1^{12} & \alpha_1^8 & \alpha_1^{11} & \alpha_1^4 \end{bmatrix},$$

$$C = \begin{bmatrix} \alpha_1^0 & \alpha_1^{11} & \alpha_1^4 & \alpha_1^3 \\ \alpha_1^{11} & \alpha_1^4 & \alpha_1^3 & \alpha_1^{15} \\ \alpha_1^4 & \alpha_1^3 & \alpha_1^{15} & \alpha_1^7 \\ \alpha_1^3 & \alpha_1^{15} & \alpha_1^7 & \alpha_1^1 \end{bmatrix}, \quad D = \begin{bmatrix} \alpha_1^{15} & \alpha_1^7 & \alpha_1^1 & \alpha_1^5 \\ \alpha_1^7 & \alpha_1^1 & \alpha_1^5 & \alpha_1^0 \\ \alpha_1^1 & \alpha_1^5 & \alpha_1^0 & \alpha_1^8 \\ \alpha_1^5 & \alpha_1^0 & \alpha_1^8 & \alpha_1^{13} \end{bmatrix},$$

$$X_1 = [A'_3, A'_{15}, A'_7, A'_1]^T,$$

$$X_2 = [A'_8, A'_9, A'_{10}, A'_{13}]^T,$$

$$X_3 = [A'_{12}, A'_8, A'_{11}, A'_4]^T,$$

$$X_4 = [A'_{14}, A'_2, A'_{10}, A'_{16}]^T.$$

Los términos  $A_k$  para  $1 \leq k \leq 16$  se obtienen de la siguiente manera:

$$A_k = A'_k + a_0$$

además,  $E = A+B+C+D$  y  $Y_1$  a  $Y_4$  se obtienen a partir de las expresiones para  $X_1$  a  $X_4$  reemplazando cada  $A'_i$  por  $a_i$  para  $1 \leq i \leq 16$ .

De las ecuaciones (A.1),  $N_i$  para  $i = 1, 2, 3, 4$  y  $5$ , pueden obtenerse con el siguiente algoritmo [12]:

Si representamos a una de las  $N_i$  para  $1 \leq i \leq 5$  como:

$$\begin{pmatrix} b_1 \\ b_2 \\ b_3 \\ b_4 \end{pmatrix} = \begin{pmatrix} r^1 & r^2 & r^3 & r^4 \\ r^2 & r^3 & r^4 & r^8 \\ r^3 & r^4 & r^8 & r^6 \\ r^4 & r^8 & r^6 & r^7 \end{pmatrix} \begin{pmatrix} c_1 \\ c_2 \\ c_3 \\ c_4 \end{pmatrix}$$

entonces

$$s_1 = c_1 + c_3, \quad s_2 = c_1 + c_2, \quad s_3 = c_2 + c_4,$$

$$s_4 = c_3 + c_4, \quad s_5 = s_2 + s_4, \quad m_1 = r^4 s_6,$$

$$m_2 = (r^3 + r^4)s_1, \quad m_3 = (r^4 + r^5)s_3, \quad m_4 = (r^2 + r^4)s_2,$$

$$m_5 = (r^4 + r^6)s_4, \quad m_6 = (r^1 + r^3 + r^2 + r^4)c_1, \quad m_7 = (r^2 + r^4 + r^3 + r^5)c_2,$$

$$m_8 = (r^3 + r^5 + r^4 + r^0)c_3, \quad m_9 = (r^4 + r^6 + r^5 + r^7)c_4,$$

$$s_6 = m_1, \quad s_7 = s_6 + m_2, \quad s_8 = s_7 + m_4,$$

$$s_9 = s_8 + m_3, \quad s_{10} = s_9 + m_4, \quad s_{11} = s_7 + m_5,$$

$$s_{12} = s_8 + m_5, \quad b_1 = s_8 + m_6, \quad b_2 = s_{10} + m_7,$$

$$b_3 = s_{11} + m_6, \quad b_4 = s_{12} + m_8$$

de aquí que el número total de multiplicaciones y sumas en el campo de Galois que se necesitan para calcular una de las  $N_i$   $1 \leq i \leq 5$  son nueve y dieciseis, respectivamente. El término  $A_0$  se obtiene cuando se calcula  $N_1$  de la

siguiente manera:

$$A_0 = s_0 + a_0$$

Las  $N_i$  para  $i = 6, 7, 8$  y  $9$ , pueden obtenerse con un procedimiento similar al anterior [12]:

Si representamos a una de las  $N_i$  para  $6 \leq i \leq 9$  como:

$$\begin{pmatrix} b_1 \\ b_2 \\ b_3 \\ b_4 \end{pmatrix} = \begin{pmatrix} \alpha^{170} & \alpha^0 & \alpha^{85} & \alpha^0 \\ \alpha^0 & \alpha^{85} & \alpha^0 & \alpha^{170} \\ \alpha^{85} & \alpha^0 & \alpha^{170} & \alpha^0 \\ \alpha^0 & \alpha^{170} & \alpha^0 & \alpha^{85} \end{pmatrix} \begin{pmatrix} c_1 \\ c_2 \\ c_3 \\ c_4 \end{pmatrix}$$

entonces

$$s_1 = c_1 + c_3, \quad s_2 = c_2 + c_4, \quad s_3 = s_1 + s_2,$$

$$m_1 = s_3, \quad m_2 = \alpha^{170}s_1, \quad m_3 = \alpha^{85}s_2,$$

$$s_4 = m_1 + m_2, \quad s_5 = m_1 + m_3, \quad b_1 = s_4 + c_1,$$

$$b_2 = s_5 + c_2, \quad b_3 = s_4 + c_3, \quad b_4 = s_5 + c_4$$

el número total de multiplicaciones y sumas que se necesitan para calcular alguna de las  $N_i$  para  $i = 6, 7, 8$  y  $9$ , es dos y nueve respectivamente. Combinando los resultados obtenidos, el número total de multiplicaciones y sumas que se necesitan para calcular la transformada de 17 puntos en el CG( $2^6$ ) son 53 y 176, respectivamente.